



สัญญาเลขที่ R2561B078

วันที่ออกหนังสือ

รายงานวิจัยฉบับสมบูรณ์

โครงการวิจัย

ผลของหงส์เตนต่อโครงสร้างจุลภาค ความแข็ง และพฤติกรรมการกัดกร่อน ของเหล็กหล่อโครงเมียมสูงในสภาพหล่อ

คณะกรรมการวิจัย

หัวหน้าโครงการ ผศ.ดร.อัมพร เวียงมูล
ภาควิชาฟิสิกส์ คณะวิทยาศาสตร์ มหาวิทยาลัยนเรศวร
ผู้ร่วมวิจัย ผศ.ดร.นภัลล์ ราีลาก
สาขาวิชาเทคโนโลยีวัสดุ คณะพลังงานสิ่งแวดล้อมและวัสดุ
มหาวิทยาลัยเทคโนโลยีพระจอมเกล้าธนบุรี

ชื่อผู้เขียนหนังสือ มหาวิทยาลัยนเรศวร	วันที่ออกหนังสือ ๑๕ ก.ค. ๒๕๖๔
ดูแลโดย	ผู้รับผิดชอบ ๑ QD
จำนวนหน้า	๑๓๑
วันที่ออกหนังสือ	๐๕๖๕๙
๙๙๖๑	

สนับสนุนโดย
งบประมาณแผ่นดิน ประจำปีงบประมาณ พ.ศ. ๒๕๖๑

กิตติกรรมประกาศ

โครงการวิจัย เรื่อง ผลของหั้งสเทนต์ต่อโครงสร้างจุลภาค ความแข็ง และพฤติกรรมการกัดกร่อนของเหล็กหล่อโครงเมียมสูง ได้รับทุนสนับสนุนจากบประมาณแผ่นดิน มหาวิทยาลัยนเรศวร ประจำปีงบประมาณ 2561 ตามสัญญาเลขที่ R2561B078 ซึ่งคณะผู้วิจัยขอขอบพระคุณมา ณ ที่นี่

ผู้วิจัยขอขอบคุณ ภาควิชาพิสิกส์ และศูนย์ปฏิบัติการเครื่องมือวิทยาศาสตร์ คณะวิทยาศาสตร์ มหาวิทยาลัยนเรศวร ที่ให้ความอนุเคราะห์สถานที่ กล้องจุลทรรศน์แสง-กล้องจุลทรรศน์ อิเล็กตรอนแบบส่องกระดาษและเครื่องวัดความแข็ง ขอขอบคุณสายวิชาเทคโนโลยีวัสดุ คณะผลิตงาน สิ่งแวดล้อมและวัสดุ มหาวิทยาลัยเทคโนโลยีพระจอมเกล้าธนบุรี ที่ให้ความอนุเคราะห์เครื่องมือทดสอบ การกัดกร่อน

สุดท้ายนี้ ผู้วิจัยขอขอบพระคุณ ศ.ดร.ธรัณิทธิ์ ไชยเรืองศรี และ ดร.จอนน รอมัส เอ็นรี เพียสซ์ สำหรับคำแนะนำและข้อวิจารณ์ที่เป็นประโยชน์ต่องานวิจัย

คณะผู้วิจัย



Executive Summary

เหล็กหล่อโครงเมียมสูงมีบทบาทสำคัญมากในอุตสาหกรรมเหมืองแร่และอุตสาหกรรมชีเมนต์ เนื่องจากในโครงสร้างประกอบด้วยโครงเมียมคาร์บิดที่มีความแข็งสูง ทำให้พนังการเสียดสีหรือการสีกหรอสูง การพัฒนาเหล็กหล่อคุณภาพนี้เพื่อให้มีอายุการใช้งานยาวนานขึ้น สามารถทำได้โดยกระบวนการทางความร้อนเพื่อให้ได้เมทริกซ์เป็นมาเทนไชต์ และการเติมโลหะเจืออื่นๆ เช่น โมลิบดินัม ทั้งสแตน-วานเดียม เพื่อเพิ่มปริมาณคาร์บิดในโครงสร้างให้มากขึ้น สำหรับโครงสร้างวิจัยนี้ มีจุดประสงค์เพื่อศึกษาผลของการเติมทั้งสแตนและกระบวนการทางความร้อนต่อโครงสร้างจุลภาค ความแข็ง และความต้านทานการกัดกร่อนของเหล็กหล่อโครงเมียมสูง โดยนำเหล็กหล่อ 28wt%Cr-2.6wt%С ที่เติมทั้งสแตน 1, 4 และ 10wt% ที่เตรียมโดยการหล่อในแบบหล่อรายการไปทำดีสเตบีไลเซชันที่อุณหภูมิ 1050°C เป็นเวลา 4 ชั่วโมง และให้เย็นตัวในอากาศ จากนั้นเพเมเปอริงที่อุณหภูมิ 450°C เป็นเวลา 2-4 และ 6 ชั่วโมง และให้เย็นตัวในอากาศ ศึกษานิพัทธ์ด้วยเทคนิคการเลี้ยงเบนของรังสีเอกซ์ ศึกษาโครงสร้างจุลภาคด้วยกล้องจุลทรรศน์แสงและกล้องจุลทรรศน์อิเล็กตรอนแบบส่อง粒粒 ทดสอบความแข็งและความต้านทานการกัดกร่อนด้วยเทคนิคโพเทนซิโอดานามิก จากผลการทดลองพบว่าโครงสร้างจุลภาคในสภาพหล่อของเหล็กหล่อที่ไม่เติมทั้งสแตนเป็นแบบไฮเปอร์ยูเทกติก ประกอบด้วยเดนไตรท์ของออกอสเทนในต์ปฐมภูมิ ยูเทกติกออกอสเทนในต์และคาร์ไบด์ยูเทกติก M_7C_3 มีความแข็งประมาณ 506 HV30 ส่วนเหล็กหล่อที่เติมทั้งสแตนโครงสร้างจุลภาคเปลี่ยนเป็นแบบไฮเปอร์ยูเทกติกที่ประกอบด้วยคาร์ไบด์ปฐมภูมิ M_7C_3 ยูเทกติกออกอสเทนในต์ และคาร์ไบด์ยูเทกติก M_7C_3 , M_6C และ M_{23}C_6 มีความแข็งเพิ่มขึ้นเป็น 664 HV30 เมื่อเติมทั้งสแตน 10wt% หลังการทำดีสเตบีไลเซชันพบการรีบเดนไตรท์ทุติยภูมิตกตอกอนในมาร์เกนไชต์ ทำให้ความแข็งมีค่าเพิ่มมากขึ้นเป็น 885 HV30 ในเหล็กหล่อที่เติมทั้งสแตน 10wt% ส่วนการอบเตาเพอร์ฟังหลังทำดีสเตบีไลเซชันทำให้การรีบเดนไตรท์ทุติยภูมิปริมาณเพิ่มขึ้น แต่มีความแข็งเพิ่มขึ้นเพียงเล็กน้อย นอกจากนี้ยังพบว่าหลังกระบวนการทางความร้อนในเหล็กหล่อที่เติมทั้งสแตนพบการเปลี่ยนเฟสของคาร์ไบด์ปฐมภูมิและคาร์ไบด์ยูเทกติก M_7C_3 จากการทดสอบความต้านทานการกัดกร่อนพบว่าเหล็กหล่อที่มีการเติมทั้งสแตนจะมีความต้านทานการกัดกร่อนลดลง ส่วนกระบวนการทางความร้อนจะทำให้ความรุนแรงในการกัดกร่อนเพิ่มขึ้น

บทคัดย่อ

งานวิจัยนี้ได้ศึกษาผลของทั้งสแตนและกระบวนการทางความร้อนต่อโครงสร้างจุลภาค ความแข็งและความต้านทานการกัดกร่อนของเหล็กหล่อโครงเมียมสูง 28wt%Cr-2.6wt%C ที่เติมทั้งสแตนในปริมาณ 1, 4 และ 10wt% โดยนำเหล็กที่เตรียมโดยการหล่อในแบบหล่อทรายไปทำดีสเทบีไลเซชันที่อุณหภูมิ 1050 °C เป็นเวลา 4 ชั่วโมง และให้เย็นตัวในอากาศ จากนั้นนำมาแทนเปลือรี่งที่อุณหภูมิ 450 °C เป็นเวลา 2, 4 และ 6 ชั่วโมง และให้เย็นตัวในอากาศ ศึกษาชนิดเฟสด้วยเทคนิคการเดี่ยวเบนของรังสีเอกซ์ ศึกษาโครงสร้างจุลภาคด้วยกล้องจุลทรรศน์แสงและกล้องจุลทรรศน์อิเล็กตรอนแบบส่องร้าด วิเคราะห์การกระจายพลังงานของรังสีเอกซ์ ทดสอบความแข็งมากและจุลภาคบริเวณเมทริกซ์แบบวิกาเกอร์ และทดสอบความต้านทานการกัดกร่อนด้วยเทคนิคไฟฟ้าในนิวเคลียริก จากการทดลองพบว่าโครงสร้างจุลภาคในสภาพหล่อของเหล็กหล่อที่ไม่เติมทั้งสแตนเป็นแบบไออกไซด์ที่ประกอบด้วยเดนไครท์ของออกสแตนในตปฐมภูมิ-ยูเทกติกօอสแตนในต์และคาร์บีไบด์ยูเทกติก M_7C_3 ส่วนเหล็กหล่อที่เติมทั้งสแตนโครงสร้างจุลภาคเปลี่ยนเป็นแบบไออกไซด์ที่ประกอบด้วยคาร์บีไบด์ปฐมภูมิ M_7C_3 ยูเทกติกօอสแตนในต์ และคาร์บีไบด์ยูเทกติก M_7C_3 , M_6C และ $M_{23}C_6$ หลังการทำดีสเทบีไลเซชันโครงสร้างจุลภาคประกอบด้วยคาร์บีไบด์ทุติยภูมิที่ตกตะกอนในเดนไครท์ของมาร์เทนไซต์และมีออกสแตนในต์ตกค้างบางส่วน ส่วนโครงสร้างจุลภาคหลังทำดีสเทบีไลเซชันและเพิ่มเติมทั้งสแตนพบว่าคาร์บีไบด์ทุติยภูมิมีปริมาณเพิ่มขึ้นและออกสแตนในต์ตกค้างมีปริมาณลดลง ปริมาณของคาร์บีไบด์ปฐมภูมิเพิ่มขึ้นตามปริมาณทั้งสแตน นอกจากนี้ในเหล็กหล่อที่เติมทั้งสแตนยังพบการเปลี่ยนเฟสของคาร์บีไบด์ปฐมภูมิและคาร์บีไบด์ยูเทกติก M_7C_3 จากการทดสอบความแข็งมากพบในสภาพหล่อพบว่าเหล็กหล่อที่ไม่ได้เติมทั้งสแตนมีความแข็ง 506 และมีค่าเพิ่มขึ้นเป็น 664 HV30 เมื่อเติมทั้งสแตน 10wt% เนื่องจากมีโครงสร้างประกอบด้วยคาร์บีไบด์ปฐมภูมิและคาร์บีไบด์ยูเทกติก M_6C ส่วนหลังการทำดีสเทบีไลเซชันความแข็งมีค่าเพิ่มขึ้นเป็น 885 HV30 ในเหล็กหล่อที่เติมทั้งสแตน 10wt% เนื่องจากการตกตะกอนของคาร์บีไบด์ทุติยภูมิในเดนไครท์ของมาร์เทนไซต์และการลดลงของออกสแตนในต์ตกค้าง การทำเหมือนเปลือรี่งทำให้ความแข็งเพิ่มขึ้นเพียงเล็กน้อย อย่างไรก็ตามการเติมทั้งสแตนทำให้ความต้านทานการกัดกร่อนลดลง เหล็กหล่อที่ผ่านกระบวนการทางความร้อนจะมีความรุนแรงในการกัดกร่อนเพิ่มขึ้น

คำสำคัญ: เหล็กหล่อโครงเมียมสูง โมลิบดินัม โครงสร้างจุลภาค ความแข็ง การกัดกร่อน

Abstract

In this research, the effect of tungsten and heat treatment on microstructure, hardness and corrosion resistance of the 28wt%Cr-2.6wt%C high chromium cast irons with (1, 4, 10)wt%W has been investigated. The experimental iron was cast into sand mold and destabilized at 1050°C for 4 h and then air cooled. Tempering after destabilization was done at 450°C for 2, 4 and 6 h. Microstructural investigation was performed by X-Ray diffractometer, optical microscopy and scanning electron microscope equipped with energy-dispersive X-ray spectrometry. Vickers macrohardness and microhardness within the matrix were tested. A potentiodynamic technique was used to determine aqueous corrosion resistance. It was found that the as-cast microstructure of the reference iron (without W addition) was hypoeutectic structure consisted of primary austenite dendrite with eutectic M₇C₃ carbide and eutectic austenite partially transformed to martensite. The iron with W addition, the microstructure changed to hypereutectic that contained primary M₇C₃ carbide, eutectic austenite and eutectic carbides including M₇C₃, M₆C and M₂₃C₆. After destabilization, precipitation of secondary carbide within martensite matrix with some of retained austenite was occurred. Destabilised-plus-tempering increased the amount of secondary carbide and retained austenite decreased. The secondary carbide increased with increasing tungsten content. Phase transformation of primary and eutectic M₇C₃ was also found in the irons with W addition. The ac-cast macrohardness increased from 506 to 664 HV30 in the iron with 10wt%W addition. This is due to the formation of primary M₇C₃ and eutectic carbides of M₇C₃, M₆C and M₂₃C₆ carbides. Destabilization increased the macrohardness up to 885 HV30 in the iron with 10wt%W addition, due to the precipitation of secondary carbides within the martensite matrix and decreasing of retained austenite. Tempering slightly increased the hardness. However, the irons with W addition had lower corrosion resistant. In heat treated iron, more severe localised attack was found.

Keywords: High chromium cast iron, molybdenum, microstructure, hardness, corrosion

สารบัญ

	หน้า
กิตติกรรมประกาศ	ก
Executive Summary	ข
บทคัดย่อภาษาไทย	ค
บทคัดย่อภาษาอังกฤษ	ง
สารบัญ	จ
สารบัญตาราง	ช
สารบัญรูป	ซ
บทที่ 1 บทนำ	
1.1 ความสำคัญและที่มาของงานวิจัย	1
1.2. วัตถุประสงค์ของโครงการวิจัย	2
1.3. ขอบเขตของโครงการวิจัย	2
1.4. ทฤษฎี สมมุติฐานและกรอบแนวคิดของโครงการวิจัย	2
1.5. ประโยชน์ที่คาดว่าจะได้รับ	2
บทที่ 2 ทฤษฎีและงานวิจัยที่เกี่ยวข้อง	
2.1 ส่วนผสมทางเคมีของเหล็กหล่อโครงเมียมสูง	3
2.2 เฟลไดอะแกรมของระบบเหล็ก-โครงเมียม-คาร์บอน	6
2.3 เหล็กหล่อโครงเมียมสูงอสเทเนนิติก	8
2.4 เหล็กหล่อโครงเมียมสูงมาร์เทนซิติก	9
2.5 เหล็กหล่อโครงเมียมสูงเฟอร์เรติก	10
2.6 การนำไปดีไซน์เหล็กหล่อโครงเมียมสูง	11
2.7 ความต้านทานการกัดกร่อน	13
2.8. งานวิจัยที่เกี่ยวข้อง	15
บทที่ 3 วิธีการทดลอง	
3.1 การหล่อและส่วนผสมทางเคมี	18
3.2 การปรับสภาพด้วยความร้อน	19
3.3 การศึกษาโครงสร้างจุลภาค	20
3.4 การศึกษาชนิดเฟสด้วยเทคนิคการเลี้ยวเบนของรังสีเอกซ์	20
3.5 การทดสอบความแข็ง	21
3.6 การทดสอบความต้านทานการกัดกร่อน	22
บทที่ 4 ผลการทดลองและอภิปรายผล	
4.1 การศึกษาชนิดเฟสด้วยเทคนิคการเลี้ยวเบนของรังสีเอกซ์	23
4.2 โครงสร้างจุลภาค	28
4.2.1 โครงสร้างจุลภาคในสภาพหล่อ	28
4.2.2 โครงสร้างจุลภาคหลังกระบวนการทางความร้อน	42

สารบัญ (ต่อ)

	หน้า
4.3 ความแข็ง	53
4.4 ความต้านทานการกัดกร่อน	55
บทที่ 5 สรุปผลการทดลอง	60
 เอกสารอ้างอิง	61
ภาคผนวก	63



สารบัญตาราง

ตาราง	หน้า
2.1 ส่วนผสมทางเคมีและความแข็งของเหล็กหล่อโครงเมียมสูง (BS 4844)	4
2.2 ส่วนผสมทางเคมีของเหล็กหล่อโครงเมียมสูง (ASTM A-532-87)	4
2.3 ชนิดและความแข็งของคาร์ไบด์ที่พบในโลหะผสมเหล็ก-โครงเมียม-คาร์บอน	12
3.1 ส่วนผสมทางเคมีของเหล็กหล่อโครงเมียมสูงที่ใช้ในการทดลอง	18
3.2 กระบวนการทางความร้อนและสัญลักษณ์ของชิ้นงาน	20
4.1 ความหนาแน่นกระถางไฟฟ้าในช่วงที่เกิดเพลิงพากษา	56



สารบัญรูป

รูป	หน้า
1.1 ใบพัด (impeller) ที่ผลิตจากเหล็กหล่อโครงเมียมสูง 25wt%Cr-3wt%C (ก) ก่อนการใช้งาน (ข) หลังการใช้งานประมาณ 6 วัน ในโรงกลุ่นแรสังกะสี จังหวัดตาก	1
2.1 ตัวถังปั๊มแบบหอยโข่งสำหรับการขุดถ่านหิน ที่ทำจากเหล็กหล่อโครงเมียม 26wt%Cr=3.3wt%C	5
2.2 เครื่องบดและแท่งสำหรับกระแทก (impact crusher) ผลิตจากเหล็กหล่อโครงเมียมสูง (12-33)wt%Cr-(2.4-3.2)wt%C-(0.1-3)%Mo	6
2.3 แผนภาพของระบบเหล็ก-โครงเมียม-คาร์บอน ของ Thorpe และ Chicco แสดงส่วนผสมของเหล็กหล่อโครงเมียมสูงที่ใช้งานโดยทั่วไปซึ่งมีโครงสร้างเป็นเฟสออกไซด์	7
2.4 แผนภาพแสดงภาพถ่ายของพื้นผิวตัวตัว (liquidus-surface) ของระบบเหล็ก-โครงเมียม-คาร์บอน กล่องสีเหลืองแสดงส่วนผสมของเหล็กหล่อโครงเมียมสูงแบบไฮเปอร์เทกติกที่ใช้งานโดยทั่วไป	8
2.5 โครงสร้างจุลภาคในสภาพหล่อของเหล็กหล่อโครงเมียมสูง 30wt%Cr-2.4wt%C ที่ประกอบด้วยเดนไดร์ตของออกไซด์ในตปฐมภูมิ ยูเกกติการ์บิด์ M_7C_3 และยูเกกติกออกไซด์ในต์ที่เปลี่ยนเป็นมาร์เทนไซท์	9
2.6 โครงสร้างจุลภาคของเหล็กหล่อโครงเมียมสูง 2wt%C-20wt%Cr-1.75wt%Mo หลังจากปรับสภาพด้วยความร้อนในลักษณะต่างๆ	10
2.7 โครงสร้าง Deep etched แสดงลักษณะของยูเกกติการ์บิด์ (ก) คาร์บิดชนิต M_3C ในเหล็กหล่อ 3.6wt%Cr-5wt%Cr มีลักษณะที่ต่อเนื่อง (ข) คาร์บิดชนิต M_7C_3 ในเหล็กหล่อ 2.4wt%Cr-30wt%Cr ที่มีขนาดเล็กและต่อเนื่องน้อยกว่า	11
2.8 (ก) คาร์บิดทุติยภูมิ $M_{23}C_6$ ในเหล็กหล่อ 29.3wt%Cr-2.5wt%C (ข) คาร์บิดทุติยภูมิ M_7C_3 ในเหล็กหล่อ 17.7wt%Cr-3.1wt%C (ค) คาร์บิดทุติยภูมิ M_3C ในเหล็กหล่อ 8.8wt%Cr-3.0wt%C	12
2.9 เปรียบเทียบความต้านทานการกัดกร่อนและการสึกหรอแบบกัดเชาะ	13
2.10 เส้นโค้งอาโนติกโพลาไลเซชันของเหล็กหล่อในสารละลายซัลฟูริก (ก) เหล็กหล่อ 10wt%, 15wt% และ 20wt% ในสภาพหล่อ (ข) เหล็กหล่อ 25wt% ในสภาพหล่อ (ค) เหล็กหล่อ 30wt%Cr ในสภาพหล่อและหลังการปรับสภาพด้วยความร้อน	14
2.11 กราฟแสดงความสัมพันธ์ระหว่างกระแสไฟฟ้ากับศักย์ไฟฟ้า	15
3.1 ตัวอย่างเหล็กหล่อที่ได้จากการหล่อในแบบหล่อทราย	18
3.2 ชิ้นงานสำหรับการปรับสภาพด้วยความร้อนภายใต้แรงดันภายในเตาไฟฟ้า รุ่น Controller C290 ของบริษัท Nabbertherm	19
3.3 กระบวนการปรับสภาพด้วยความร้อนของเหล็กหล่อโครงเมียมสูง	19
3.4 (ก) เครื่องทดสอบความแข็งโดยรวมแบบวิกเกอร์ รุ่น Egotest comp 25 Rs บริษัท Galileo (ข) การวัดเส้นทางแยกมุม	21

สารบัญรูป (ต่อ)

รูป	หน้า
3.5 (ก) เครื่องทดสอบความแข็งแบบจุลภาค รุ่น HV-1000 บริษัท Jinan Testing Equipment IE Corporation (ข) รอยกดบริเวณเด่นไดร์ฟ	21
3.6 อุปกรณ์ที่ใช้ในการทดสอบความต้านทานการกัดกร่อน	22
4.1 รูปแบบการเลี้ยวเบนของรังสีเอกซ์ของเหล็กหล่อ 28wt%Cr ที่ไม่เติมหัสดาเนน (R) (ก) ในสภาพหล่อ (AC) (ข) หลังการอบดีสเตบีไลเซชัน (D) และ (ค-จ) หลังการอบดีสเตบีไลเซชันและเหม贲เปอร์ริง (D+T) เป็นเวลา 2, 4 และ 6 ชั่วโมง	24
4.2 รูปแบบการเลี้ยวเบนของรังสีเอกซ์ของเหล็กหล่อ 28wt%Cr ที่เติมหัสดาเนน 1wt% (W1) (ก) ในสภาพหล่อ (AC) (ข) หลังการอบดีสเตบีไลเซชัน (D) และ (ค-จ) หลังการอบดีสเตบีไลเซชันและเหม贲เปอร์ริง (D+T) เป็นเวลา 2, 4 และ 6 ชั่วโมง	25
4.3 รูปแบบการเลี้ยวเบนของรังสีเอกซ์ของเหล็กหล่อ 28wt%Cr ที่เติมหัสดาเนน 4wt% (W4) (ก) ในสภาพหล่อ (AC) (ข) หลังการอบดีสเตบีไลเซชัน (D) และ (ค-จ) หลังการอบดีสเตบีไลเซชันและเหม贲เปอร์ริง (D+T) เป็นเวลา 2, 4 และ 6 ชั่วโมง	26
4.4 รูปแบบการเลี้ยวเบนของรังสีเอกซ์ของเหล็กหล่อ 28wt%Cr ที่เติมหัสดาเนน 10wt% (W10) (ก) ในสภาพหล่อ (AC) (ข) หลังการอบดีสเตบีไลเซชัน (D) และ (ค-จ) หลังการอบดีสเตบีไลเซชันและเหม贲เปอร์ริง (D+T) เป็นเวลา 2, 4 และ 6 ชั่วโมง	27
4.5 โครงสร้างจุลภาคในสภาพหล่อของเหล็กหล่อ 28wt%Cr ที่ไม่เติมหัสดาเนน (R) (ก) ภาพถ่ายจากกล้อง OM (ข) ภาพถ่ายจากกล้อง SEM-BEI (กรด Na ₂ S ₂ O ₅ 10g + HCl 50 ml ในน้ำกลั่น 100 ml)	29
4.6 โครงสร้างจุลภาคในสภาพหล่อของเหล็กหล่อ 28wt%Cr ที่เติมหัสดาเนน 1wt% (W1) (ก) ภาพถ่ายจากกล้อง OM (ข) ภาพถ่ายจากกล้อง SEM-BEI (กรด Na ₂ S ₂ O ₅ 10g + HCl 50 ml ในน้ำกลั่น 100 ml)	30
4.7 โครงสร้างจุลภาคในสภาพหล่อของเหล็กหล่อ 28wt%Cr ที่เติมหัสดาเนน 4wt% (W4) (ก) ภาพถ่ายจากกล้อง OM (ข) ภาพถ่ายจากกล้อง SEM-BEI (กรด Na ₂ S ₂ O ₅ 10g + HCl 50 ml ในน้ำกลั่น 100 ml)	31
4.8 โครงสร้างจุลภาคในสภาพหล่อของเหล็กหล่อ 28wt%Cr ที่เติมหัสดาเนน 10wt% (W10) (ก) ภาพถ่ายจากกล้อง OM (ข) ภาพถ่ายจากกล้อง SEM-BEI (กรด Na ₂ S ₂ O ₅ 10g + HCl 50 ml ในน้ำกลั่น 100 ml)	32
4.9 การวิเคราะห์ปริมาณธาตุด้วยอีดีเอกซ์ของเหล็กหล่อ 28wt%Cr ที่ไม่เติมหัสดาเนน (R) ในสภาพหล่อ (ก) ภาพถ่าย BEI (ข-ค) สเปกตรัมของธาตุ (จ) ผลการวิเคราะห์	34
4.10 การวิเคราะห์ปริมาณธาตุด้วยอีดีเอกซ์ของเหล็กหล่อ 28wt%Cr ที่เติมหัสดาเนน 1wt% (W1) ในสภาพหล่อ (ก) ภาพถ่าย BEI (ข-ง) สเปกตรัมของธาตุ (จ) ผลการวิเคราะห์	35
4.11 การวิเคราะห์ปริมาณธาตุด้วยอีดีเอกซ์ของเหล็กหล่อ 28wt%Cr ที่เติมหัสดาเนน 4wt% (W4) ในสภาพหล่อ (ก) ภาพถ่าย BEI (ข-ง) สเปกตรัมของธาตุ (จ) ผลการวิเคราะห์	36

สารบัญรูป (ต่อ)

รูป	หน้า
4.12 การวิเคราะห์ปริมาณธาตุด้วยอีดีเอชของเหล็กหล่อ 28wt%Cr ที่เติมทั้งสแตน 10wt% (W10) ในสภาพหล่อ (ก) ภาพถ่าย BEI (ข-ง) สเปกตรัมของธาตุ (จ) ผลการวิเคราะห์	37
4.13 ลักษณะของการใบด้วยเทกติกในสภาพหล่อของเหล็กหล่อ 28wt%Cr ที่ไม่เติมทั้งสแตน (R) หลังการกัดกรดแบบลึก (Deep etch) (ก) ภาพถ่ายจากกล้อง OM (ข) ภาพถ่ายจากกล้อง SEM-BEI	38
4.14 ลักษณะของการใบด้ปฐมภูมิและการใบด้วยเทกติกในสภาพหล่อของเหล็กหล่อ 28wt%Cr ที่เติมทั้งสแตน 1wt% (W1) หลังการกัดกรดแบบลึก (Deep etch) (ก) ภาพถ่ายจากกล้อง OM (ข) ภาพถ่ายจากกล้อง SEM-BEI	39
4.15 ลักษณะของการใบด้ปฐมภูมิและการใบด้วยเทกติกในสภาพหล่อของเหล็กหล่อ 28wt%Cr ที่เติมทั้งสแตน 4wt% (W4) หลังการกัดกรดแบบลึก (Deep etch) (ก) ภาพถ่ายจากกล้อง OM (ข) ภาพถ่ายจากกล้อง SEM-BEI	40
4.16 ลักษณะของการใบด้ปฐมภูมิและการใบด้วยเทกติกในสภาพหล่อของเหล็กหล่อ 28wt%Cr ที่เติมทั้งสแตน 10wt% (W10) หลังการกัดกรดแบบลึก (Deep etch) (ก) ภาพถ่ายจากกล้อง OM (ข) ภาพถ่ายจากกล้อง SEM-BEI	41
4.17 ภาพถ่ายจากกล้อง OM และ SEM แสดงการตกตะกอนของการใบด้ทุติยภูมิ (SC) ในมาร์เทนไซต์ (α') หลังการอบดีสเตบีไลเซชันของเหล็กหล่อ 28wt%Cr ที่ไม่เติม พั้งสแตน (R) และเติมทั้งสแตน 1wt% (W1), 4wt% (W4) และ 10wt% (W10)	43
4.18 ภาพถ่ายจากกล้อง SEM-BEI แสดงโครงสร้างจุลภาคหลังการอบดีสเตบีไลเซชัน แสดง ลักษณะของการใบด้ทุติยภูมิ หลังการกัดกรดแบบลึก (Deep etch) (ก) เหล็กหล่อ R (ข) W1 (ค) W4 (ง) W10	44
4.19 ภาพถ่ายจากกล้อง SEM-BEI แสดงการตกตะกอนของการใบด้ทุติยภูมิ(SC) ในมาร์เทนไซต์ หลังการอบดีสเตบีไลเซชัน (D) และหลังการอบดีสเตบีไลเซชัน+เพมเปอร์ริงเป็นเวลา 2, 4, 6 ชั่วโมง (D+T2, D+T4, D+T6) ของเหล็กหล่อ R และ W1	47
4.20 ภาพถ่ายจากกล้อง SEM-BEI แสดงการตกตะกอนของการใบด้ทุติยภูมิ (SC) ในมาร์เทนไซต์ หลังการอบดีสเตบีไลเซชัน (D) และหลังการอบดีสเตบีไลเซชัน+เพมเปอร์ริงเป็นเวลา 2, 4, 6 ชั่วโมง (D+T2, D+T4, D+T6) ของเหล็กหล่อ W4 และ W10	48
4.21 ภาพถ่ายจากกล้อง SEM-BEI แสดงการเปลี่ยนเฟสของและการใบด้วยเทกติกของเหล็กหล่อ R และ W1 หลังการอบดีสเตบีไลเซชัน (D) และดีสเตบีไลเซชัน+เพมเปอร์ริง 2, 4, 6 ชั่วโมง (D+T2, D+T4, D+T6)	49
4.22 ภาพถ่ายจากกล้อง SEM-BEI แสดงการเปลี่ยนเฟสของและการใบด้วยเทกติกของเหล็กหล่อ W4 และ W10 หลังการอบดีสเตบีไลเซชัน (D) และดีสเตบีไลเซชัน+เพมเปอร์ริง 2, 4, 6 ชั่วโมง (D+T2, D+T4, D+T6)	50

สารบัญรูป (ต่อ)

รูป

หน้า

4.23 การวิเคราะห์ปริมาณธาตุด้วยอัตเติสของคาร์บอนเดียวเทกติกที่มีการเปลี่ยนเฟสในเหล็กหล่อ W1 หลังการอบดีสเตบีไลเซชัน (ก) ภาพถ่าย BEI (ช-ง) สเปกตรัมของธาตุ (จ) ผลการวิเคราะห์	51
4.24 การวิเคราะห์ปริมาณธาตุด้วยอัตเติสของคาร์บอนเดียวเทกติกที่มีการเปลี่ยนเฟสในเหล็กหล่อ W4 หลังการอบดีสเตบีไลเซชัน (ก) ภาพถ่าย BEI (ช-ง) สเปกตรัมของธาตุ (จ) ผลการวิเคราะห์	52
4.25 ผลของหั่นเศษและกระบวนการทางความร้อนต่อความแข็งของเหล็กหล่อโครงเมียมสูง 28wt%Cr ที่ไม่เติมหั่นเศษ R และเหล็กหล่อ W1, W4 และ W10 (ก) ความแข็งมหภาค (ช) ความแข็งจุลภาคบริเวณเนทริกซ์	54
4.26 เส้นโค้งโลภาระชั้นของเหล็กหล่อ R, W1, W4 และ W10 ในสภาพหล่อ (AC), หลังการอบดีสเตบีไลเซชัน (D) และหลังการอบเทมเปอร์ริง (D+T4)	57
4.27 ภาพถ่าย SEM-BEI แสดงโครงสร้างหลังการกัดกร่อนในสภาพหล่อ (ก) เหล็กหล่อ R (ช) W1 (ค) W4 (ง) W10	58
4.28 ภาพถ่าย SEM-BEI แสดงโครงสร้างหลังการกัดกร่อนหลังการอบดีสเตบีไลเซชัน (ก) เหล็กหล่อ R (ช) W1 (ค) W4 (ง) W10	59
4.29 ภาพถ่าย SEM-BEI แสดงโครงสร้างหลังการกัดกร่อนหลังการอบดีสเตบีไลเซชันและเทมเปอร์ริง (ก) W1 (ช) W4	59

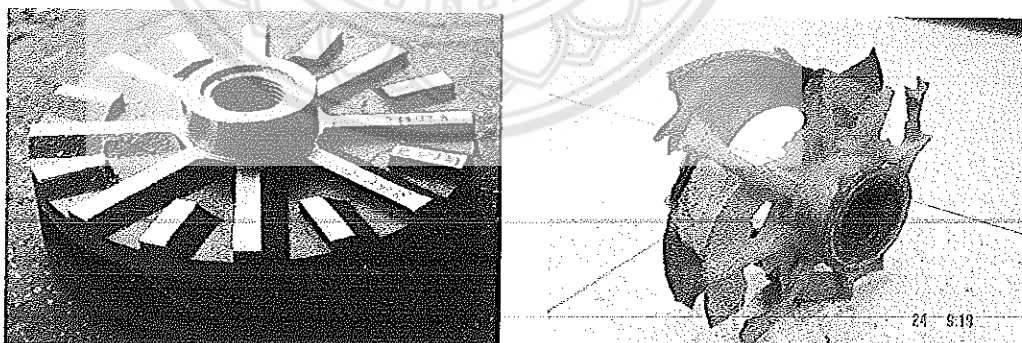
บทที่ 1

บทนำ

1.1 ความสำคัญและที่มาของงานวิจัย

เหล็กหล่อโครงเมียมสูงมีบทบาทสำคัญมากในอุตสาหกรรมเหมืองแร่และอุตสาหกรรมซีเมนต์เนื่องจากในโครงสร้างประกอบด้วยโครงเมียมคาร์บิดที่มีความแข็งสูง ทนการเสียดสีหรือการสึกหรอสูง (high abrasion resistance) ทำให้มีอายุการใช้งานยาวนาน อายุการใช้งานในโรงกลึงสังกะสีได้มีการใช้ปืน oxy-fuel ที่ผลิตจากเหล็กหล่อโครงเมียมสูง 25wt%Cr-3wt%C เพื่อขย้ำถ่ายสินแร่ภายในให้สกาวะที่มีการเสียดสีจากเม็ดแร่และการกัดกร่อนจากสารละลายกรดซัลฟิวริก (pH 1) ที่ใช้ในกระบวนการแยกแร่สังกะสี เป็นผลให้ปืนมีอายุการใช้งานสั้นมากเพียงประมาณ 160 ชั่วโมง ดังรูปที่ 1.1 ดังนั้นการพัฒนาเหล็กหล่อคลุ่มนี้เพื่อให้มีอายุการใช้งานยาวนานขึ้นจึงเป็นสิ่งสำคัญยิ่ง วิธีการปรับปรุงสมบัติของเหล็กหล่อคลุ่มนี้สามารถทำได้โดยการปรับสภาพด้วยความร้อนเพื่อเปลี่ยนแปลงเมทริกซ์จากอสเทนในตัวเป็นมาเกนไซต์ และการเติมโลหะเจืออื่นๆ เช่น โมลิบดีนัม ทั้งสเทน วานเดียม เพื่อเพิ่มปริมาณการรีบดีในโครงสร้างให้มากขึ้น

ดังนั้นในงานวิจัยนี้จึงมีแนวคิดที่จะปรับปรุงสมบัติของเหล็กหล่อโครงเมียมสูง โดยการเติมธาตุทั้งสเทน โดยมุ่งเน้นไปที่เหล็กหล่อ 28wt%Cr-2.6wt%C ซึ่งมีปริมาณโครงเมียมสูงขึ้น ร่วมกับการปรับสภาพด้วยความร้อน เพื่อศึกษาความสัมพันธ์ระหว่างส่วนผสมทางเคมี โครงสร้างจุลภาค ความแข็งและความต้านทานการกัดกร่อน ซึ่งข้อมูลที่ได้จากการวิจัยในครั้งนี้จะเป็นประโยชน์ต่ออุตสาหกรรมเหล็กหล่อโครงเมียมสูง และคาดหวังว่าจะสามารถนำไปใช้เป็นข้อมูลที่นฐานในการเลือกเหล็กหล่อชนิดนี้



รูปที่ 1.1 ใบพัด (impeller) ที่ผลิตจากเหล็กหล่อโครงเมียมสูง 25wt%Cr-3wt%C ในโรงกลึงแร่สังกะสี จังหวัดตาก (ก) ก่อนการใช้งาน (ข) หลังการใช้งานประมาณ 6 วัน

1.2. วัตถุประสงค์ของโครงการวิจัย

1. เพื่อศึกษาผลของทั้งสแตนและการปรับสภาพด้วยความร้อนต่อโครงสร้างจุลภาค ความแข็ง และความต้านทานการกัดกร่อนของเหล็กหล่อโครเมียมสูง
2. เพื่อศึกษาความสัมพันธ์ระหว่างส่วนผสมทางเคมี โครงสร้างจุลภาค ความแข็ง และความต้านทานการกัดกร่อนของเหล็กหล่อโครเมียมสูง

1.3. ขอบเขตของโครงการวิจัย

1. ศึกษาเหล็กหล่อโครเมียมสูง 28wt%Cr-2.6wt%C ที่ไม่เติมและเติมทั้งสแตนในปริมาณ 1, 4 และ 10wt%
2. ปรับสภาพด้วยความร้อนด้วยการทำดีสเทบีไลเซชันและเหมเปอริง
3. ทดสอบการกัดกร่อนโดยวิธีการทางไฟฟ้า-เคมี โดยใช้เทคนิคโพแทนทิโอดีนาไมก์ส
4. ทดสอบความแข็งแบบวิกเกอร์
5. ศึกษาโครงสร้างด้วยเทคนิคการถ่ายภาพของรังสีเอกซ์ กล้องจุลทรรศน์แสง และกล้องจุลทรรศน์อิเล็กทรอนแบบส่องการดู

1.4 ทฤษฎี สมมุติฐาน และกรอบแนวคิดของโครงการวิจัย

จากการศึกษางานวิจัยที่ผ่านมา พบว่าการทำดีสเทบีไลเซชันในเหล็กหล่อโครเมียมสูงจะทำให้เกิดการเปลี่ยนลายขีดและมีเศษส่วนโดยที่นี่ที่เพิ่มขึ้น ซึ่งส่งผลให้ความแข็งและความต้านทานการสึกหรอเพิ่มขึ้น นอกจากนี้การทำดีสเทบีไลเซชันจะทำให้เมทริกซ์เปลี่ยนจากอสเทนไนต์เป็นมาเทนไซต์ที่มีความต้านทานการสึกหรอที่ดีขึ้น ส่วนการเหมเปอริงหลังดีสเทบีไลเซชันจะทำให้ปริมาณอสเทนไนต์ที่ตกค้างมีปริมาณลดลง นอกจากนี้ยังมีรายงานว่าการทำดีสเทบีไลเซชันยังช่วยเพิ่มความต้านทานการกัดกร่อนของเหล็กหล่อโครเมียมสูงอีกด้วย ดังนั้นเหล็กหล่อโครเมียมสูงที่เติมทั้งสแตนและผ่านการทำดีสเทบีไลเซชันและเหมเปอริง จะมีความแข็งและความต้านทานการกัดกร่อนของเหล็กหล่อได้ดีขึ้น

1.5 ประโยชน์ที่คาดว่าจะได้รับ

ทราบผลของทั้งสแตนและการปรับสภาพด้วยความร้อนต่อโครงสร้างจุลภาค ความแข็ง และความต้านทานการกัดกร่อนของเหล็กหล่อโครเมียมสูง และสามารถนำไปใช้เป็นข้อมูลพื้นฐานสำหรับอุตสาหกรรมที่มีการใช้งานเหล็กหล่อชนิดนี้

บทที่ 2

ทฤษฎีและงานวิจัยที่เกี่ยวข้อง

2.1 ส่วนผสมทางเคมีของเหล็กหล่อโครงเมียมสูง [1-8]

เหล็กหล่อโครงเมียมสูงเริ่มมีบทบาทสำคัญขึ้นมากในอุตสาหกรรมเหมืองแร่ และอุตสาหกรรมซีเมนต์ เนื่องจากในโครงสร้างประกอบด้วยโครงเมียมcarbideที่มีความแข็งสูง ทนการเสียดสีหรือการสึกหรอสูง (high abrasion resistance) ทำให้มีอายุการใช้งานยาวนาน การผลิตเหล็กหล่อโครงเมียมสูงได้ทำกันมาเป็นระยะเวลากว่า 100 ปีโดยหลอมด้วยเตาคิวโพลาที่ควบคุมปริมาณคาร์บอนได้มาก ทำให้เหล็กหล่อโครงเมียมมีปริมาณคาร์บอนสูงและเหล็กจะประแทรกหักง่าย แต่ปัจจุบันนี้หมัดไปเมื่อบริษัท Niagara work ได้ทำการทดลองหลอมเหล็กหล่อโครงเมียมสูงด้วยเตาหลอมไฟฟ้า และสามารถผลิตเหล็กหล่อที่มีคาร์บอนต่ำ โดยสามารถเพิ่มปริมาณของโครงเมียมได้สูงถึง 30% ทำให้การใช้เหล็กหล่อโครงเมียมสูงเพิ่มมากขึ้นจนกลายเป็นคู่แข่งของเหล็กกล้าแมงกานีสสูงโดยเฉพาะที่ใช้ทำลูกบดวัสดุแข็ง เช่น ซีเมนต์และแร่ต่างๆ เหล็กหล่อโครงเมียมสูงมีการใช้งานอย่างกว้างขวางในงานที่ต้องการความหนาแน่นต่อการสึกหรอแบบขัดถู (abrasive wear) เช่น ในกระบวนการการบดสินแร่ การบดต้านทานเป็นผง และการผลิตปูนซีเมนต์ ในปัจจุบันมีโรงหล่อผลิตเหล็กหล่อโครงเมียมสูงอยู่หลายเกรด แต่ที่นิยมผลิตมากที่สุดได้แก่ เหล็กหล่อชนิด 2828 คือเหล็กหล่อที่มีคาร์บอน 2.8% และมีโครงเมียมผสม 28%

เหล็กหล่อโครงเมียมสูงที่ได้รับการใช้งานส่วนใหญ่เป็นแบบไอโปylegiktic ที่มีส่วนผสมอยู่ในช่วงของอสเทนในต่ำสุดที่มีปริมาณโครงเมียม 10-30wt% และคาร์บอน 2-3.5wt% เหล็กหล่อที่มีปริมาณโครงเมียม 12wt% จะมีราคาถูกที่สุด แต่ที่นิยมใช้งานโดยทั่วไปจะมีส่วนผสมในช่วง 18-22wt%Cr สำหรับเหล็กหล่อที่มีปริมาณโครงเมียม 27-30wt% และคาร์บอน 2.0-2.7wt% มักจะนำไปใช้ในงานที่ต้องการหั้งความหนาแน่นต่อการสึกหรอ (wear resistance) และการกัดกร่อน (corrosion) เช่น การปั๊มน้ำด้วยหัวฉีด (slurry pumping) เป็นต้น ส่วนเหล็กหล่อ 30-35wt%Cr จะใช้ในงานที่ต้องการความต้านทานการเกิดออกซิเดชันและการกัดกร่อนที่อุณหภูมิสูง เช่น ชิ้นส่วนของเตาเผา โดยโครงสร้างจะประกอบด้วยเหล็กหล่อคลุมที่มีประสิทธิภาพมากที่สุด

มาตรฐานเหล็กหล่อโครงเมียมสูงไอลายเกกติกที่มักจะถูกอ้างอิงมี 2 มาตรฐาน คือ British standard (BS484) และ ASTM standard A-532สำหรับ JIS ยังไม่ปรากฏว่ามีมาตรฐานเหล็กหล่อโครงเมียมสูง มาตรฐานเหล็กหล่อโครงเมียมสูงของอังกฤษแบ่งออกเป็น 5 เกรด ตั้งแต่แรงที่ 2.1 ส่วนมาตรฐานเหล็กหล่อโครงเมียมสูงของอเมริกา A.S.T.M. แบ่งออกเป็น 6 เกรด ตั้งแต่แรงที่ 2.2

ตารางที่ 2.1 ส่วนผสมทางเคมีและความแข็งของเหล็กหล่อโครงเมียมสูง (BS 4844)

Grade	Chemical Composition%								As-casthardness H _B min
	C	Si _{max}	Mn	Cr	Mo	Ni	Cu	P _{max}	
3A	2.4-3.0	1.0	0.5-1.5	14-17	0-2.5	0-1.0	0-1.2	0.1	450
3B	3.0-3.6	1.0	0.5-1.5	14-17	1-3.0	0-1.0	0-1.2	0.1	500
3C	2.2-3.0	1.0	0.5-1.5	17-22	0-3.0	0-1.5	0-1.2	0.1	450
3D	2.4-2.8	1.0	0.5-1.5	22-18	0-1.5	0-1.0	0-1.2	0.1	400
3E	2.8-3.2	1.0	0.5-1.5	22-28	0-1.5	0-1.0	0-1.2	0.1	400

ตารางที่ 2.2 ส่วนผสมทางเคมีของเหล็กหล่อโครงเมียมสูง (ASTM A-532-87)

Class	Type	Designation	Element (%wt)								
			C	Mn	Si	Ni	Cr	Mo	P	S	Cu
I	A	Ni-Cr-HC	2.8-3.6	2.0	0.8	3.3-5.0	1.4-4.0	1.0	0.3	0.15	-
	B	Ni-Cr-LC	2.4-3.0	2.0	0.8	3.3-5.0	1.4-4.0	1.0	0.3	0.15	-
	C	Ni-Cr-GB	2.5-3.7	2.0	0.8	4.0	1.0-1.5	1.0	0.3	0.15	-
	D	Ni-HiCr	2.5-3.6	2.0	2.0	4.5-7.0	7.0-11.0	1.5	0.1	0.15	-
II	A	12%Cr	2.0-3.3	2.0	1.5	2.5	11.0-14.0	3.0	0.1	0.6	1.2
	B	15%Cr-Mo	2.0-3.3	2.0	1.5	2.5	14.0-18.0	3.0	0.1	0.6	1.2
	D	20%Cr-Mo	2.0-3.3	2.0	1-2.2	2.5	18.0-23.0	3.0	0.1	0.6	1.2
III	A	25Cr	2.3-3.3	2.0	1.5	2.5	23.0-30.0	3.0	0.1	0.6	1.2

การเติมธาตุ เช่น โมลิบดินัม นิกเกิล และทังสเตน ในเหล็กหล่อโครงเมียมสูงจะทำให้ความแข็ง และความทานทานต่อการสึกหรอเพิ่มขึ้น โดยธาตุที่เพิ่มจะรวมตัวกับการบอนกลาวยเป็นคาร์ไบด์ที่มี ความแข็งสูงและส่งผลให้บริมาณของยูเทกติกคราบในเดิมเพิ่มขึ้น การผสมโมลิบดินัมในเหล็กหล่อโครงเมียมสูงจะส่งผลด้านเพิ่มความทานทานการสึกหรอของเหล็กได้ โดยโมลิบดินัมจะรวมตัวกับ การบอนไดคาร์ไบด์จะมีความแข็งสูงประมาณ 1000 HV50 นอกจากนี้ยังเพิ่มความสามารถในการ ชุบแข็งให้กับเหล็กหล่ออีกด้วย โดยมีบทบาทในการป้องกันไม่ให้อ๊อกซิเดนต์เปลี่ยนไปเป็นเพิร์ลิต ในขณะเหล็กเย็นตัวในแบบหล่อหรือในขณะที่ทำการปรับสภาพด้วยความร้อน การผสมโมลิบดินัม นอกจากจะเพิ่มความทานทานต่อการสึกหรอแล้ว ยังมีผลทำให้ความหนืดของเหล็กดีขึ้น โดยเฉพาะ กับงานหล่อที่มีความหนานมาก ๆ ในใช้ในอุตสาหกรรมเหมืองแร่ ซึ่งเป็นอุปกรณ์สำหรับดูดแร่ที่ต้องมี ความทานทานต่อการกระแทกสูงจึงนิยมใช้เหล็กหล่อผสมหัวโครงเมียมและโมลิบดินัม ถึงแม้ว่าเหล็กจะ มีราคาแพงกว่าเหล็กผสมโครงเมียมเพียงอย่างเดียวที่ตาม ดังที่ปรากฏในมาตรฐานเหล็กผสมโครงเมียม ASTM A532 ชั้นคุณภาพ 15Cr-Mo จะผสมโมลิบดินัม ในปริมาณ 1-3wt% โดยลดปริมาณโครงเมียม ลงเหลือ 14-18wt% และในชั้นคุณภาพโครงเมียมปริมาณ 25wt% จะผสมปริมาณโมลิบดินัม

ประมาณไม่เกิน 1.5wt% นอกจานี้เหล็กหล่อโครงเมียมโนลิบดินมีบางชนิดที่ใช้กับงานหล่อที่มีความหนามาก ๆ จะผสมนิกเกิลและทองแดงประมาณไม่เกิน 1wt% ลงไปเพื่อความมุ่งหมายในการเพิ่มความสามารถในการขูบแข็ง เช่น เหล็กหล่อผสมโครงเมียมและโนลิบดินมีที่มาตรฐาน BS 4844 เหล็กหล่อผสมโครงเมียมและโนลิบดินมีความสามารถนำไปใช้งานได้ในสภาพหล่อ เพราะโครงสร้างที่ได้จะเป็นอสเตรนในตัว แต่เนื่องจากชิ้นงานภายหลังการเย็นตัวในแบบทรายจะมีความเครียดเหลือค้างอยู่ จึงควรนำไปอบคลายความเครียดที่อุณหภูมิ 200-250°C เพื่อปรับปรุงความเหนียวโดยไม่ทำให้ความแข็งลดลง

ตัวอย่างการใช้งานเหล็กหล่อโครงเมียมสูง [1]

ตัวถังปั๊มแบบหอยโข่ง

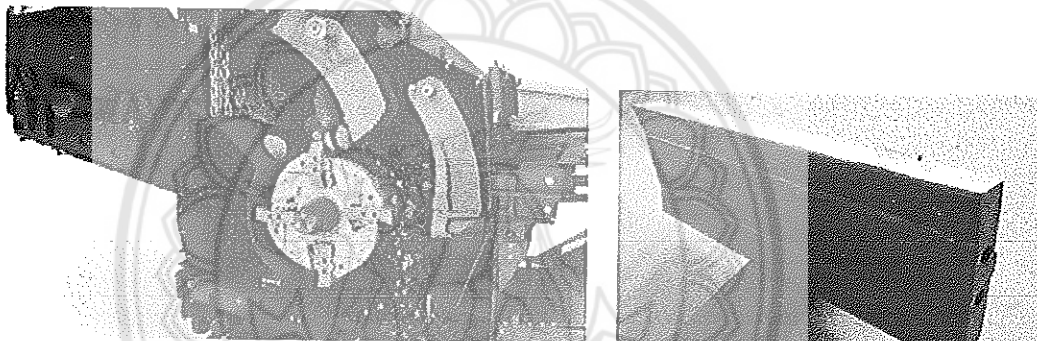
ชิ้นส่วนนี้มักได้รับการระบุให้ผลิตโดยใช้เหล็กหล่อที่มีปริมาณโครงเมียม 22wt% และคาร์บอน 2.8wt% ตามมาตรฐาน BS 4844:1986 เกรด 3E ถ้าหากมีการระบุให้ใช้ในสภาพอั้นงานหล่อจำเป็นต้องให้ความสำคัญกับปริมาณธาตุสมที่เหมาะสม เพื่อหลีกเลี่ยงการเกิดเฟิร์ลไลต์ในเมทริกซ์แบบอสเตรนในตัวในทุกริเวณของชิ้นงาน ทางเดี๋ยวก็ทางที่นี่คือการใช้ชิ้นงานที่มีเมทริกซ์แบบนาร์เทนซิติกที่มีความแข็งสูงกว่าและเหมาะสมกับงานที่ต้องทนทานต่อการสึกหรอแบบกัดเซาะ (erosion) แม้ว่าตัวถังปั๊มแบบหอยโข่งจะมีลักษณะรูปร่างที่ค่อนข้างซับซ้อนก็ตาม ดังรูป 2.1 แต่ความหนาของบริเวณต่าง ๆ มีค่าใกล้เคียงกันประมาณ 50 มิลลิเมตร ทำให้การปรับสภาพด้วยความร้อนทำได้ไม่ยากนักเนื่องจากชิ้นงานหนาไม่นักอีกทั้งลักษณะรูปร่างของชิ้นงานยังทำให้อากาศไหลเวียนได้อย่างสะดวกในระหว่างการปรับสภาพด้วยความร้อนโดยใช้พัดลมเป่า (forced air quench) ปัญหาในระหว่างการปรับสภาพด้วยความร้อนอาจเกิดเฉพาะในกรณีที่ชิ้นงานมีน้ำหนักเกิน 200 กิโลกรัม และความหนาของบางบริเวณเปลี่ยนแปลงเกิน 100% เท่านั้น โดยเฉพาะอย่างยิ่งในระหว่างการเย็นตัวต่ำกว่าอุณหภูมิ M_s หลังจากการอบชุบในอากาศ (air quench) ในกรณีเช่นนี้อาจจำเป็นต้องระบุส่วนที่บางและป้องกันไม่ให้ส่วนนี้เย็นจนเร็วเกินไปเพื่อหลีกเลี่ยงการแตกร้าวอันเนื่องจากการเปลี่ยนเฟส



รูปที่ 2.1 ตัวถังปั๊มแบบหอยโข่งสำหรับการขันถ่ายนำดินที่ผลิตจากเหล็กหล่อโครงเมียม 26wt%Cr-3.3wt%C

แท่งสำหรับกระแทก

แท่งประภานี้มักจะมีขนาดความยาว 1 เมตร กว้าง 0.5 เมตร หนา 0.1 เมตร และชิ้นงานอาจจะมีช่องร่าง (slot) ตามแนวยาว (longitudinal) หรือตามขวาง (transverse) ในตำแหน่งต่าง ๆ ดังรูปที่ 2.2 ชิ้นงานนี้ทำหน้าที่เป็นชิ้นส่วนที่ต้องทนทานต่อการสึกหรอในอุปกรณ์บดกระแทกแบบหมุน (rotary impact crushers) และทำจากเหล็กหล่อตามมาตรฐาน BS4844 เกรด 3E แม้ว่าชิ้นส่วนนี้จะมีรูปร่างง่าย ๆ ไม่ซับซ้อนมากนัก แต่ก็จำเป็นต้องได้รับการควบคุมคุณภาพของการปรับสภาพด้วยความร้อนอย่างระมัดระวัง แม้ว่าอัตราการเพิ่มอุณหภูมิหรือระยะเวลาที่ใช้ชิ้นงานดูเหมือนไม่มีปัญหามากนัก แต่ก็จำเป็นต้องสนใจเกี่ยวกับการจัดวางชิ้นงานในเทาอบและการลดอุณหภูมิด้วยอากาศ เช่น ห้ามวางแท่งสำหรับกระแทกนี้ช้อน ๆ กันเนื่องเรื่องอิฐ แต่ต้องจัดเรียงกันโดยทั่วไปไว้พอดีกับช่องทางเดินของอากาศ อย่างไรก็ตาม ชิ้นงานนี้จะต้องมีความต้านทานต่อการสึกหรอสูงและต้องมีความคงทนต่อการเปลี่ยนแปลงของอุณหภูมิที่สูง



รูปที่ 2.2 เครื่องบดและแท่งสำหรับกระแทก (impact crusher) ผลิตจากเหล็กหล่อโครงเมียมสูง (12-33)wt%Cr-(2.4-3.2)wt%C-(0.1-3)%Mo (สืบคันจาก www.jyscrusherparts.com/project/hazemaq-apk50-blow-bars/)

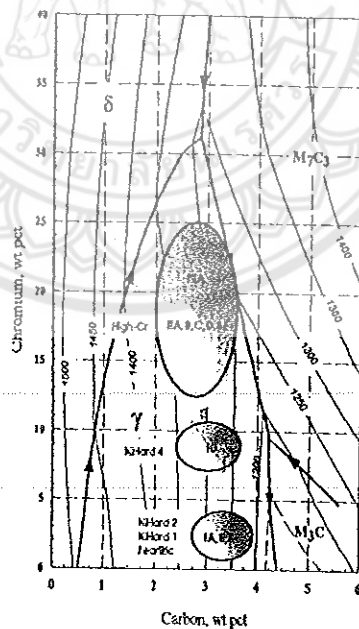
2.2 เฟลส์ไดอะแกรมของระบบเหล็ก-โครงเมียม-คาร์บอน [7, 9-14]

รูปที่ 2.3 แสดงส่วนผสมทางเคมีของเหล็กหล่อโครงเมียมสูงตามมาตรฐาน ASTM A532 ในเฟลส์ไดอะแกรมของ Thorpe and Chicco สำหรับเหล็กหล่อโครงเมียมสูง IA, B and C ที่อยู่ส่วนล่างของรูปที่ 2.3 จะเกิดโครงสร้างยูเทกติกของอสเทนในตัวและคาร์บิด M_3C ในขณะที่เหล็กหล่อเกรด ID, II, B, C, D, E และ IIIA จะเกิดโครงสร้างยูเทกติกของอสเทนในตัวและคาร์บิด M_7C_3 ส่วนเหล็กหล่อเกรด ID ที่มีปริมาณโครงเมียมสูงกว่าเกรด IA-C จะเกิดยูเทกติกของคาร์บิด M_7C_3 ซึ่งบางส่วนจะเปลี่ยนเป็นคาร์บิด M_3C ในระหว่างการเย็นตัว ทำให้เกิดโครงสร้างของคาร์บิดคูเพล็กซ์ซึ่งจะมีขนาดเล็กกว่าคาร์บิด M_3C ในเกรด IA-C ทำให้เหล็กหล่อเกรด ID มีความเหนียวสูงกว่า เมื่อปริมาณโครงเมียมสูงขึ้นเส้น solidus จะเลื่อนไปทางซ้ายมือ และปริมาณคาร์บอนในเดนไดร์ตของอสเทนในตัวจะลดลงในขณะที่อุณหภูมิของปฏิกิริยา yuthak ใจเพิ่มขึ้น

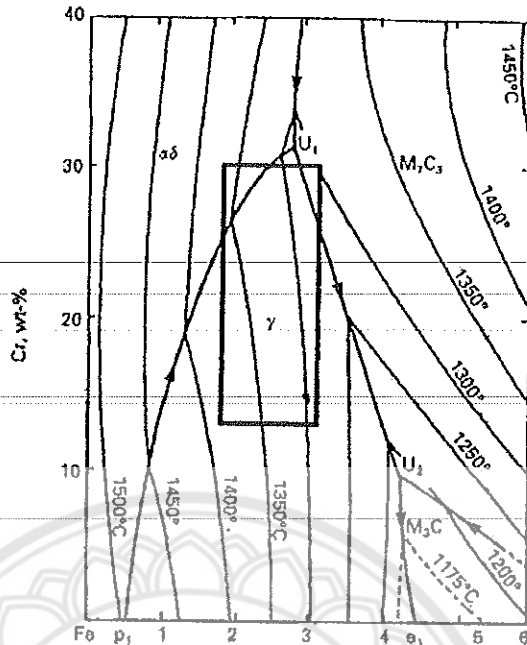
เหล็กหล่อโครงเมียมสูงที่ได้รับการใช้งานส่วนใหญ่จะเป็นแบบไฮโปyletic ที่มีส่วนผสม 10-30wt%Cr และ 2-3.5wt%C ที่อยู่ในช่วงของเฟสօօสเทนไนต์ ดังแสดงในรูปที่ 2.4 เหล็กหล่อคลุ่มนี้ เมื่อแข็งตัวจากน้ำโลหะจะเกิดเป็นเด่นไดร์ตของօօสเทนในตปฐมภูมิ ตามด้วยยูเลกติกของօօสเทน ในตปฐมภูมิการ์บิด M_7C_3 จากการแข็งตัวของเหล็กหล่อที่มีส่วนผสม 30wt%Cr-2.3wt%C ในรูป 2.4 เริ่มจากการเกิดเป็นเด่นไดร์ตของօօสเทนในตปฐมภูมิ ในขณะเดียวกันโครงเมียมและ การบอนจะถูกผลักออก ทำให้น้ำโลหะมีปริมาณโครงเมียมและการบอนสูงขึ้น และเคลื่อนที่เข้าสู่จุด ยูเลกติก (U_1-U_2) จนกระทั่งอุณหภูมิลดลงถึงปฏิกิริยา yulekติก ($L \rightarrow \gamma + M_7C_3$) จะเกิดโครงสร้างของ ยูเลกติก (eutectic structure) คือ yulekติกօօสเทนในตปฐมภูมิและยูเลกติกการ์บิด M_7C_3 ระหว่างเด่น ไดร์ต (interdendritic dendrite) ของօօสเทนในตปฐมภูมิ การแข็งตัวของโลหะจะสมบูรณ์ก่อนจะ ถึงจุด U_2

สำหรับเหล็กหล่อที่มีส่วนผสมในช่วง 2-2.5wt%C และโครงเมียมมากกว่า 30wt%Cr จะเกิด เฟสเฟอร์ไรต์ปฐมภูมิ-เหล็กหล่อคลุ่มนี้อ่อนเกินไปไม่ทนต่อการสึกหรอ และไม่สามารถเพิ่มความแข็ง โดยการปรับสภาพด้วยความร้อนได้ การใช้ในงานเหล็กหล่อคลุ่มนี้มักใช้ในงานที่ต้องการความ ต้านทานต่อความร้อน เนื่องจากเฟอร์ไรต์มีเสถียรภาพตลอดช่วงอุณหภูมิค่อนข้างกว้าง

โดยทั่วไปแล้วเราจะหลีกเลี่ยงเหล็กหล่อที่มีส่วนผสมในช่วงที่เป็นแบบไฮเปอร์ยูเลกติกซึ่งทำให้ เกิดเฟสการ์บิดปฐมภูมิ (primary carbides) เนื่องจาก การ์บิดปฐมภูมิเป็นเฟสที่มีขนาดใหญ่ทำให้ ขึ้นงานหล่อเปราะ การแข็งตัวของเหล็กหล่อคลุ่มนี้เริ่มจากการเกิดเป็นการ์บิด M_7C_3 ปฐมภูมิ ทำให้ น้ำโลหะมีปริมาณโครงเมียมและการบอนลดลงและเคลื่อนที่เข้าสู่ปฏิกิริยา yulekติก (U_1-U_2)



รูปที่ 2.3 แผนภาพของระบบเหล็ก-โครงเมียม-การบอน ของ Thorpe และ Chicco แสดงส่วนผสมของ เหล็กหล่อโครงเมียมสูงที่ใช้งานโดยทั่วไปซึ่งมีโครงสร้างเป็นเฟสօօสเทนไนต์

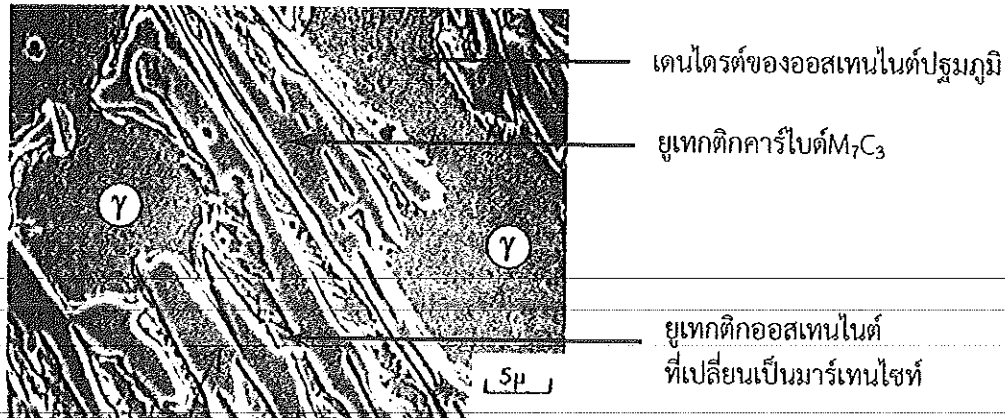


รูปที่ 2.4 แผนภาพแสดงสภาพของพื้นผิวลิกวิดัส (liquidus surface) ของระบบเหล็ก-โครเมียม-คาร์บอน กล่องสีเทาที่แสดงส่วนผสมของเหล็กหล่อโครเมียมสูงแบบไฮโปเมทิกที่ใช้งานโดยทั่วไป

2.3 เหล็กหล่อโครเมียมสูงอสเทเนนติก [1, 3-7, 14]

เหล็กหล่อที่มีปริมาณโครเมียมประมาณ 10-30wt% และคาร์บอน 2-3.5wt% จะถูกนำไปใช้สำหรับผลิตเป็นชิ้นส่วนที่มีสมบัติเฉพาะสำหรับใช้งาน เช่น ในกระบวนการที่เกี่ยวข้องกับแร่ การผลิตปูนซีเมนต์ และปั๊มของเหลวประเภทของเหลวเนื้อสมูห์ดอนุภาคหนืด เป็นต้น เนื่องจากความต้านทานการเสียดสีและความหนึ่งของเหล็กประเภทนี้จะแปรไปตามสมบัติในการทำงาน โดยชิ้นอยู่กับชนิดและสัดส่วนของคาร์บอนในเนื้อเหล็ก กระบวนการใช้งานและแนวทริคซ์ โดยโครงสร้างจุลภาคในสภาพหล่อของเหล็กหล่อคุณนี้จะประกอบด้วยเดนไตรท์หรือโครงสร้างที่เป็นกึ่งก้านของอสเทเนนต์ โดยที่ระหว่างแข็งเดนไตรท์จะล้อมรอบด้วยโครงสร้างของยูเทกติกซึ่งประกอบด้วยยูเทกติกคาร์บิดซึ่งเป็นสารประกอบของเหล็กและคาร์บอน คือ M_7C_3 และยูเทกติกอสเทเนนต์ที่มักจะเปลี่ยนเป็นมาร์เทนไซท์ระหว่างการเย็บตัวในแบบหล่อ ดังรูปที่ 2.5

สำหรับเหล็กหล่อโครเมียมสูง เฟสอสเทเนนต์ที่เกิดจากการแข็งตัวของน้ำโลหะอาจจะแตกคล่องระหว่างการเย็บตัวในแบบหล่ออาจจะเปลี่ยนไปเป็นมาร์เทนไซท์บางส่วนหรือทั้งหมด (หรือกลไกเป็นเฟอร์ไรต์และคาร์บิดที่เล็กละเอียด) แบบทุติยภูมิหรือเพิร์ลิติกก็ได้ ทั้งนี้ขึ้นอยู่กับปัจจัยหลัก 2 ส่วน ได้แก่ ส่วนผสมทางเคมี และอัตราการเย็บตัวเฉพาะแห่งของชิ้นงาน ในการใช้งานบางอย่างเหล็กหล่อโครงสร้างอสเทเนนติกในสภาพหล่ออาจใช้งานได้ เมื่อจักษุอสเทเนนต์สามารถเพิ่มความแข็งเมื่อได้รับแรงกระทำ (work harden) โดยมีความแข็งเพิ่มขึ้นจาก 450-550 HV เป็น 1000 HV ซึ่งจะทำให้ผิวชิ้นงานที่ทนต่อการสึกหรอเกิดใหม่ทดแทนได้ (self-replacing wear resistant surface)

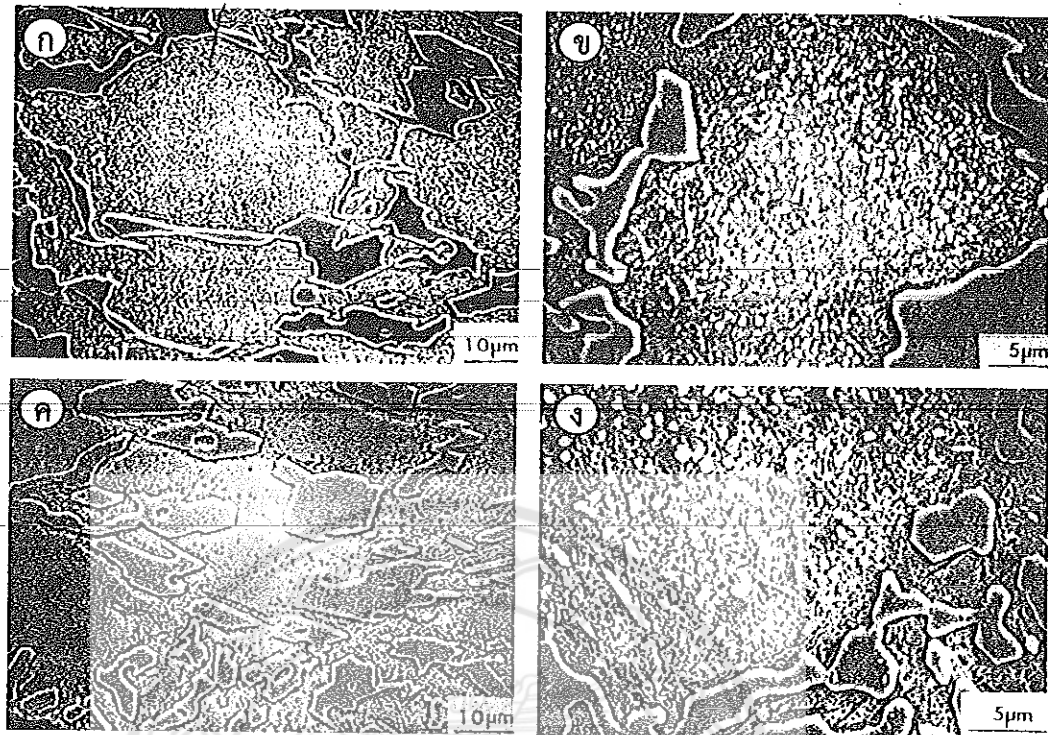


รูปที่ 2.5 โครงสร้างจุลภาคในสภาพหล่อของเหล็กหล่อโครเมียมสูง 30wt%Cr-2.4wt%C ที่ประกอบด้วยเด่นไดร์ตของอสเทนในตปฐมภูมิ ยูเทกติกคาร์ไบด์ M_7C_3 และยูเทกติกօօสເຫນໄນຕที่เปลี่ยนเป็นມາຮເທນໄສທ

2.4 เหล็กหล่อโครเมียมสูงมาร์ເທນຈິຕິກ [1-4, 6-7, 13-14]

เหล็กหล่อโครเมียมสูงที่มีโครงสร้างเป็นแบบօօສເຫນໄນຕจะมีความด้านทานต่อการສຶກຮອດຕໍ່ດັ່ງນັ້ນຈີ່ຈໍາເປັນຕ້ອງປັບປຸງສົມບັດໂດຍການການປັບປາພັດວຍຄວາມຮັນ (heat treatment) ເພື່ອແປ່ລິນໂຄງສັງຈາກօօສເຫນໄນຕທີ່ອ່ອນໃຫ້ເປັນມາຮເທນໄສທ໌ທີ່ເຂົ້າກວ່າ

ການປັບປາພັດວຍຄວາມຮັນເຫັນເຫັນເຫັນທີ່ມີຄວາມສູງຮະຫວ່າງ $950\text{-}1050^{\circ}\text{C}$ ເພື່ອໃຫ້ໂຄຣເມີນແລກປອນທີ່ລະລາຍອູ້ໃນօօສເຫນໄນຕໃນລັກະລະເກີນຈຸດອົມຕ້ວທີ່օօສເຫນໄນຕຈະຍອນໃຫ້ລະລາຍອູ້ໄດ້ ການແກໃນເຂັ້ນນີ້ຈະເຮັດວຽກວ່າດີສເຕັບໄລເຊັ້ນ (destabilisation) ທຳໃຫ້ການປອນແລກປອນໂຄຣເມີນແກກຕ້ວອກມາຮັນກັນເປັນກາຮັບດີທຸດຍູ້ມື (secondary carbide) ເປັນການລັດປົມາຍກາຮັບອົນໃນօօສເຫນໄນຕ ທຳໃຫ້ຄວາມສາມາດໃນການຊັບແປ້ງຂອງօօສເຫນໄນຕເພີ່ມເຂົ້າ ກລ່າວຄືຂອງօօສເຫນໄນຕທີ່ຈະແປ່ລິນໄປເປັນເພື່ອລໄລຕໄດ້ຢາກເຂົ້າໂຮງໂຄກສົ່ງທີ່ຈະໄດ້ມາຮເທນໄສທ໌ຈະສູງເຂົ້າ ລັດການທຳໄດ້ດີສເຕັບໄລເຊັ້ນໃນເວລາພອສົມຄວາມ ແລະປ່ລ່ອຍໃຫ້ເຂັ້ນຈານເຢັ້ນລົງອ່າງຮວດເຮົາໂດຍກາໃຫ້ລົມເປົາດ້າງນານຫລືມີໜານດເລັກແລະຮູປ່າງຈັບຫຼັອນ ແຕ່ກໍາເປັນເຂົ້ນຈານທີ່ມີຄວາມໜານມາກ່ ຈະໃຊ້ການຊັບນໍ້າມັນ (oil quenched) ຈຶ່ງຈະທຳໄດ້ໂຄງສັງຈາກມາຮເທນໄສທ໌ແລກໝາຍໃນຕົວຢ່າງເປົ້າ ແລະ ອົບມາຮເທນໄນຕທີ່ກັບຄ້າງບາງສ່ວນ ດັ່ງນັ້ນໂຄງສັງຈຸລົງການລັດການທຳໄດ້ດີສເຕັບໄລເຊັ້ນຈະປະກອບດ້ວຍກາຮັບດີທຸດຍູ້ມືທີ່ທຳກະກອນໃນໂຄງສັງຈາກມາຮເທນໄສທ໌ແລກໝາຍໃນຕົວຢ່າງເປົ້າ ດັ່ງປົກກົດ 2.6



รูปที่ 2.6 โครงสร้างจุลภาคของเหล็กหล่อコーเมียมสูง 2wt%Cr-20wt%Cr-1.75wt%Mo หลังจาก การปรับสภาพด้วยความร้อนในลักษณะต่างๆ (ก) อบที่อุณหภูมิ $900\text{ }^{\circ}\text{C}$ เป็นเวลา 4 ชั่วโมง แล้ว ปล่อยให้เย็นในอากาศ (ข) ตัวอย่างซึ่งเดียวกับ (ก) แต่ที่กำลังขยายสูงกว่าแสดงลักษณะและการ กระจายของเฟสคาร์บไบด์ทุติยภูมิ (ค) อบที่อุณหภูมิ $900\text{ }^{\circ}\text{C}$ เป็นเวลา 1 ชั่วโมงแล้วปล่อยให้เย็นใน อากาศ จะเห็นว่าไม่เกิดเฟสคาร์บไบด์ทุติยภูมินีองจากเวลาที่ใช้ไม่นานพอ (ง) อบที่อุณหภูมิ $1000\text{ }^{\circ}\text{C}$ เป็นเวลา 4 ชั่วโมง แล้วปล่อยให้เย็นในอากาศ

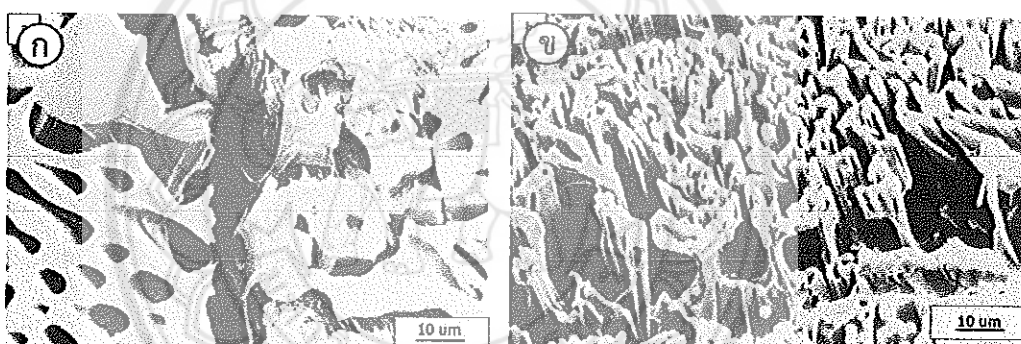
2.5 เหล็กหล่อコーเมียมสูงเพอร์ริติก [3, 11, 13-15]

เหล็กหล่อコーเมียมสูงที่มีปริมาณโคเมียม 30-35wt%Cr และคาร์บอน 1-2%C จะแข็งตัวให้ เดนไดร์ทของเฟอร์ไรต์ โดยฟันจะยังคงอยู่ในระหว่างการเย็นตัว โครงสร้างจุลภาคในสภาพหลังการ หล่อของเหล็กหล่อกลุ่มนี้ประกอบด้วยเดนไดร์ทของเฟอร์ไรต์ปฐมภูมิและยูเทกติกการไบด์ M_7C_3 ระหว่างแขวนเดนไดร์ท เหล็กหล่อเพอร์ริติกจะมีความต้านทานการสึกหรอต่ำและไม่สามารถทำการ ปรับสภาพด้วยความร้อน แต่อย่างไรก็ตามเหล็กหล่อกลุ่มนี้จะมีความต้านทานต่อการเกิด ออกซิเดชันที่ดีแม้อุณหภูมิสูงถึง $1100\text{ }^{\circ}\text{C}$ และทนต่อการกัดกร่อนได้ดีในกรดออกซิไดซิง (oxidizing acids) ตัวอย่างการใช้งานเหล็กหล่อกลุ่มนี้ เช่น ในโรงงานที่ทำเชิงเตอร์ริง โดยใช้เป็นชิ้นส่วนของเตา และหัวฉีดของเบิร์นเนอร์ (burner nozzle) เป็นต้น เนื่องจากสามารถทนต่อการเกิดสะเก็ดที่ผิว (scale) และ ทนต่อการพองตัว

2.6 คาร์บไนด์ในเหล็กหล่อโครงเมียมสูง [3, 6, 8, 12-14]

ยูเทกติกการ์ไบต์

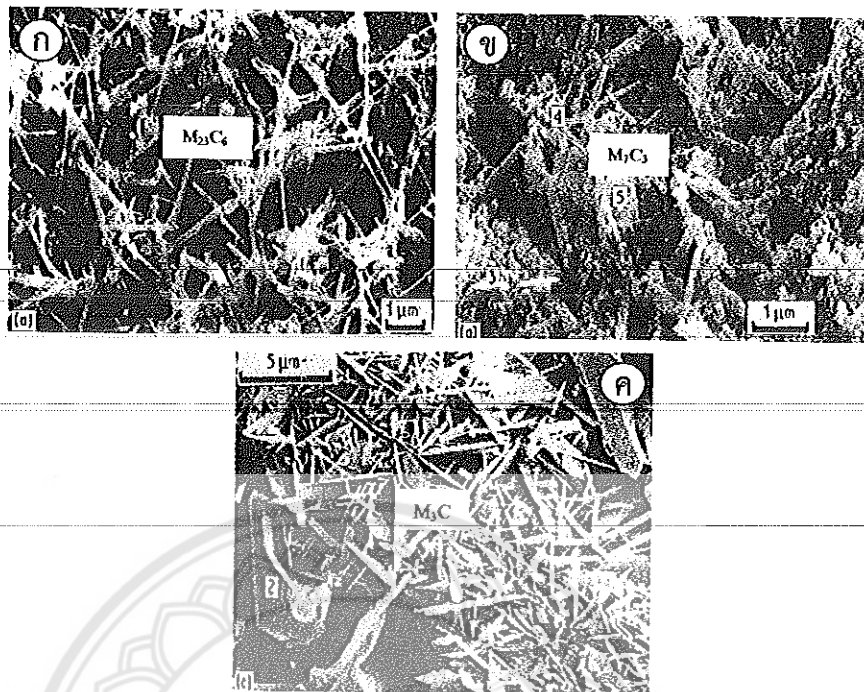
ชนิดและรูปร่างของยูเทกติกการ์ไบต์ในเหล็กหล่อโครงเมียมสูงขึ้นอยู่กับส่วนผสมทางเคมีและอัตราการเย็นตัว จากการศึกษาของ Powell [14] พบว่าการเพิ่มปริมาณโครงเมียมและการอบอนจะทำให้ยูเทกติกการ์ไบต์ชนิด M_3C ที่มีลักษณะต่อเนื่องเปลี่ยนเป็นชนิด M_7C_3 ที่ไม่ต่อเนื่อง ทำผลให้ความหนาแน่นสูงขึ้น เมื่อปริมาณโครงเมียมต่ำกว่า 12wt% ยูเทกติกการ์ไบต์จะเป็นชนิด M_3C โดยที่โครงเมียมต่ำกว่า 6wt% ยูเทกติกการ์ไบต์จะต่อเนื่องกันมากขึ้น แต่ถ้าโครงเมียมอยู่ระหว่าง 8-10wt% ยูเทกติกการ์ไบต์จะต่อเนื่องน้อยลงและจะมีลักษณะเป็นดุเพล็กซ์ โดยมีเกณฑ์กลางเป็น M_7C_3 และล้อมรอบด้วย M_3C แต่ถ้าปริมาณโครงเมียมสูงกว่า 12wt% ยูเทกติกการ์ไบต์จะเป็นชนิด M_7C_3 ที่ไม่ต่อเนื่องหรือเป็นแบบ lamellar จากรูปที่ 2.7 เมื่อเปรียบเทียบลักษณะของยูเทกติกการ์ไบต์ในเหล็กหล่อ 3.6wt%C-5wt%Cr และ 2.4wt%C-30wt%Cr จะเห็นว่าการ์ไบต์ชนิด M_7C_3 ในเหล็กหล่อ 30wt%Cr จะมีรูปร่างเป็นแท่งๆ เหลี่ยมและเป็นแผ่น ส่วนการ์ไบต์ชนิด M_3C ในเหล็กหล่อ 5wt%Cr จะมีลักษณะที่ต่อเนื่องมากกว่า ส่วนชนิดและความแข็งของการ์ไบต์ในเหล็กหล่อโครงเมียมสูง แสดงดังตารางที่ 2.3



รูปที่ 2.7 โครงสร้าง Deep etched เปรียบเทียบลักษณะของยูเทกติกการ์ไบต์ (g) การ์ไบต์ชนิด M_3C ในเหล็กหล่อ 3.6wt%C-5wt%Cr จะมีลักษณะที่ต่อเนื่อง (h) การ์ไบต์ชนิด M_7C_3 ในเหล็กหล่อ 2.4wt%C-30wt%Cr ที่มีขนาดเล็กและต่อเนื่องน้อยกว่า

การ์ไบต์ทุติยภูมิ

ตามที่ได้กล่าวมาแล้ว เหล็กหล่อโครงเมียมสูงที่มีโครงสร้างเป็นแบบบอสเทนไม่มีความต้านทานต่อการสึกหรอต่ำ จึงสามารถปรับปรุงสมบัติโดยการทำเตาสเทบีไลเซนซ์ ซึ่งจะทำให้เกิดการ์ไบต์ทุติยภูมิ ตกตะกอนในเมทริกซ์ของมาเทนไซต์ ชนิดของการ์ไบต์ทุติยภูมิขึ้นอยู่กับส่วนผสมทางเคมีและอุณหภูมิในการทำเตาสเทบีไลเซนซ์ โดยเหล็กหล่อที่มีโครงเมียมอยู่ระหว่าง 25-30wt% ชนิดของการ์ไบต์ทุติยภูมิจะเป็น $M_{23}C_6$ ซึ่งมีลักษณะเป็นแท่งขนาดเล็กและต่อเนื่องกัน ส่วนเหล็กหล่อที่มีโครงเมียมระหว่าง 15-20wt%Cr การ์ไบต์ทุติยภูมิจะเป็นชนิด M_6C และ M_7C_3 ที่มีลักษณะเป็นแท่ง ส่วนเหล็กหล่อที่มีปริมาณโครงเมียมต่ำ การ์ไบต์ทุติยภูมิจะเป็นชนิด M_3C ที่เป็นแผ่นหรือเป็นเข็ม ในรูปที่ 2.8 เปรียบเทียบชนิดและรูปร่างของการ์ไบต์ทุติยภูมิในเหล็กหล่อที่มีปริมาณโครงเมียมต่าง ๆ กัน



รูปที่ 2.8 (ก) คาร์บิดทุติยภูมิ $M_{23}C_6$ ในเหล็กหล่อ 29.3wt%Cr-2.5wt%C (ข) คาร์บิดทุติยภูมิ M_7C_3 ในเหล็กหล่อ 17.7wt%Cr-3.1wt%C (ค) คาร์บิดทุติยภูมิ M_3C ในเหล็กหล่อ 8.8wt%Cr-3.0wt%C

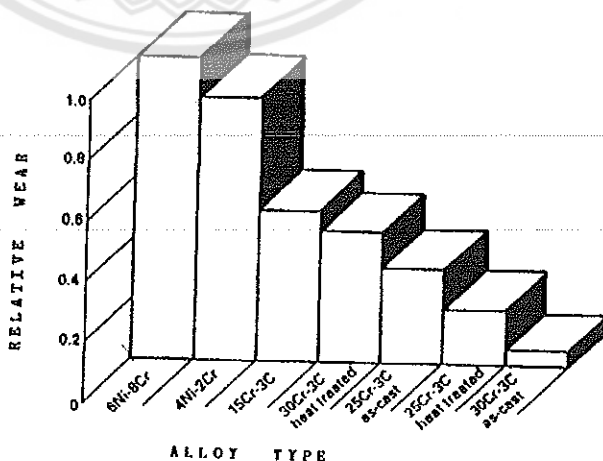
ตารางที่ 2.3 ชนิดและความแข็งของคาร์บิดที่พบในโลหะผสมเหล็ก-โครเมียม-คาร์บอน [16]

Type	Crystalline system	Lattice Constance (\AA)	Specific Gravity	Hardness(HV)
$(\text{Fe}, \text{Cr})_3\text{C}$	Rhombic	$a=4.52$ $b=5.09$ $c=6.74$	7.67	≈ 1100
	Hexagonal	$a=6.88$ $b=4.54$		
$(\text{Fe}, \text{Cr})_7\text{C}_3$	Rhombic	$a=4.54$ $b=6.88$ $c=11.94$	6.92	≈ 1400
	Rhombohedral	$a=13.98$ $b=4.52$		
$(\text{Fe}, \text{Cr})_{23}\text{C}_6$	F.C.C.	$a=10.64$	6.97	≈ 1000
$(\text{Fe}, \text{Cr Mo})_6\text{C}$	F.C.C.	$a=11.08$	6.68	$\approx 1200-1800$

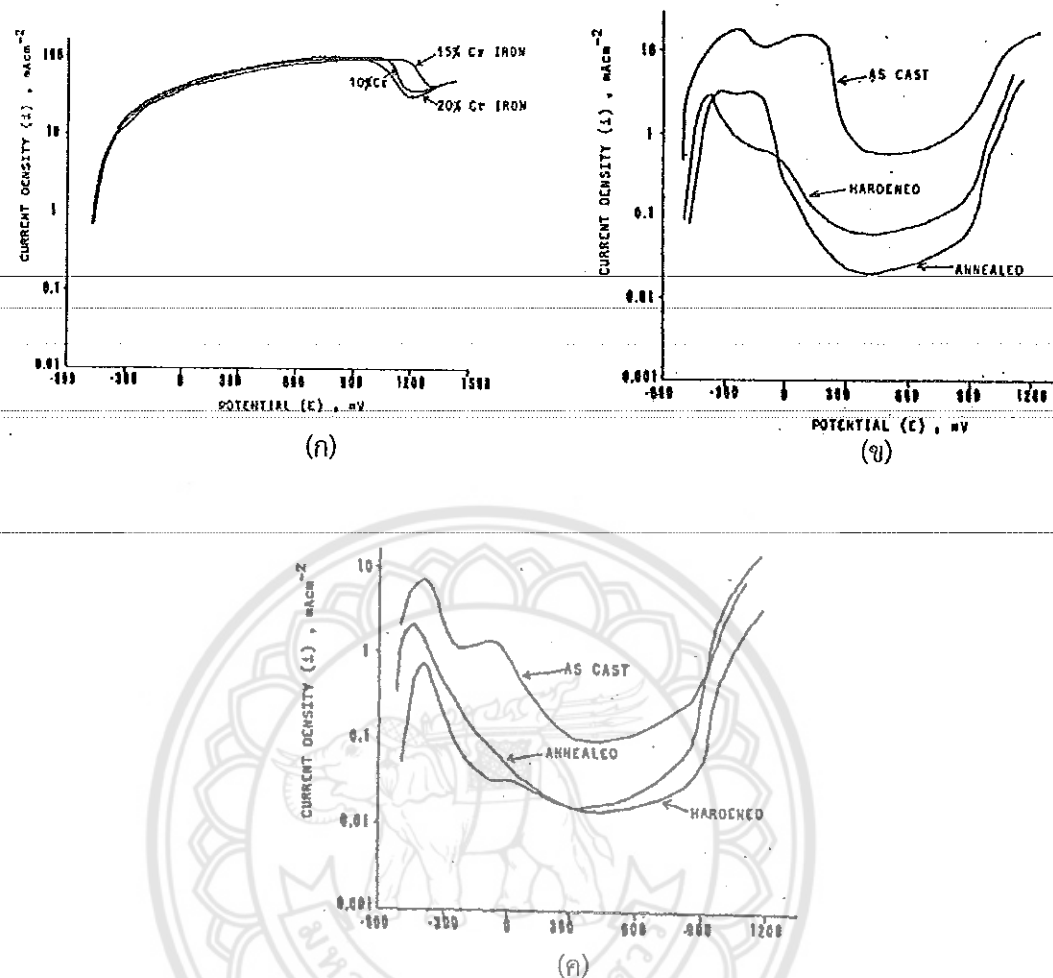
2.7 ความต้านทานการกัดกร่อน [1, 6, 11-14]

โดยทั่วไปเหล็กหล่อหรือเหล็กกล้าที่มีปริมาณโคโรเมียมในแมทริกซ์มากกว่า 12wt% จะเกิดฟิล์มของ Cr_2O_3 มากคลุมผิวน้ำแข็งงาน ทำให้ความต้านทานการกัดกร่อน (corrosion resistance) ดีขึ้น แต่สำหรับเหล็กหล่อโคโรเมียมสูงจะต้องมีปริมาณของโคโรเมียมในแมทริกซ์มากกว่า 14wt% เนื่องจากหลังการเผาตัวปริมาณของโคโรเมียมบริเวณที่อยู่รอบๆ คาร์บิดจะมีปริมาณโคโรเมียมและคาร์บอนต่ำ เช่นเดียวกับการทำดีสเตบีไลเซชันซึ่งทำให้เกิดคาร์ไบด์ที่มีภูมิและเป็นผลให้ปริมาณโคโรเมียมในแมทริกซ์ลดลง ซึ่งพบว่าเมื่อปริมาณโคโรเมียมสูงขึ้นความต้านทานการกัดกร่อนจะสูงขึ้นเนื่องจากเกิดสภาพแอกทีฟ-แพสซีฟ (active-passive transition)

ในอุตสาหกรรมที่เกี่ยวข้องกับแร่และปิโตรเลียมของเหลวขึ้นชี้ใช้งานที่มีห้องการสักหรือและการกัดกร่อน จากรูปที่ 2.9 เมื่อเปรียบเทียบความต้านทานการกัดกร่อนในสารละลายกรดจะเห็นว่าเหล็กหล่อ 28-30wt%Cr จะมีความต้านทานการสักหรือและการกัดกร่อนดีที่สุด จากรูปที่ 2.10 เมื่อเปรียบเทียบเส้นโค้งโพลาไลเซชันของเหล็กหล่อที่มีปริมาณโคโรเมียมต่างกันคือ 10wt%, 15wt%, 20wt%, 25wt% และ 30wt%Cr ในสารละลายกรดซัลฟิวริกจะเห็นว่าเหล็กหล่อที่มีโคโรเมียมต่ำกว่า 25wt%Cr จะเกิดสภาพแอกทีฟ-แพสซีฟเล็กน้อย เนื่องจากมีปริมาณโคโรเมียมในแมทริกซ์ไม่เพียงพอ ส่วนเหล็กหล่อที่มีโคโรเมียม 25wt%Cr และ 30wt%Cr ในสภาพหล่อจะเกิดการกัดกร่อนมากกว่าหลังการปรับสภาพด้วยความร้อน เนื่องจากบริเวณอุสเทนในตัวที่อยู่ใกล้กับยูเทกติกคาร์ไบด์มีปริมาณโคโรเมียมต่ำ ทำให้เกิดการกัดกร่อนขึ้นรอบๆ ยูเทกติกคาร์ไบด์ แต่หลังการปรับสภาพด้วยความร้อน จะทำให้โคโรเมียมมีการกระจายตัวที่ดีขึ้น โดยเฉพาะบริเวณรอบๆ ยูเทกติกคาร์ไบด์เป็นผลให้การกัดกร่อนลดลง ส่วนในเหล็กหล่อที่มีโคโรเมียม 35wt%Cr จะเกิดสภาพแอกทีฟ-แพสซีฟได้ง่ายกว่าอย่างไรก็ตามเหล็กหล่อที่มีโคโรเมียม 30wt%Cr-2.4-2.9wt%C จะมีความต้านทานการกัดกร่อนและการสักหรือแบบกัดเศษดีที่สุด นอกจากนี้ยังพบว่าการเติมโมลิบดินัมจะทำให้ความต้านทานการกัดกร่อนดีขึ้น เนื่องจากโมลิบดินัมจะเข้าไปแทนที่โคโรเมียมเพื่อให้เกิดคาร์ไบด์ ทำให้เหลือปริมาณโคโรเมียมในแมทริกซ์มากขึ้น



รูปที่ 2.9 เปรียบเทียบความต้านทานการกัดกร่อนและการสักหรือแบบกัดเศษ



รูปที่ 2.10 เส้นโค้งอาโนดิกโพลาริไซเซชันของเหล็กหล่อในสารละลายซัลฟูริก (ก) เหล็กหล่อ 10wt%, 15wt% และ 20wt% ในสภาพหล่อ (ข) เหล็กหล่อ 25wt% ในสภาพหล่อ (ค) เหล็กหล่อ 30wt%Cr ในสภาพหล่อและหัองการปรับสภาพด้วยความร้อน

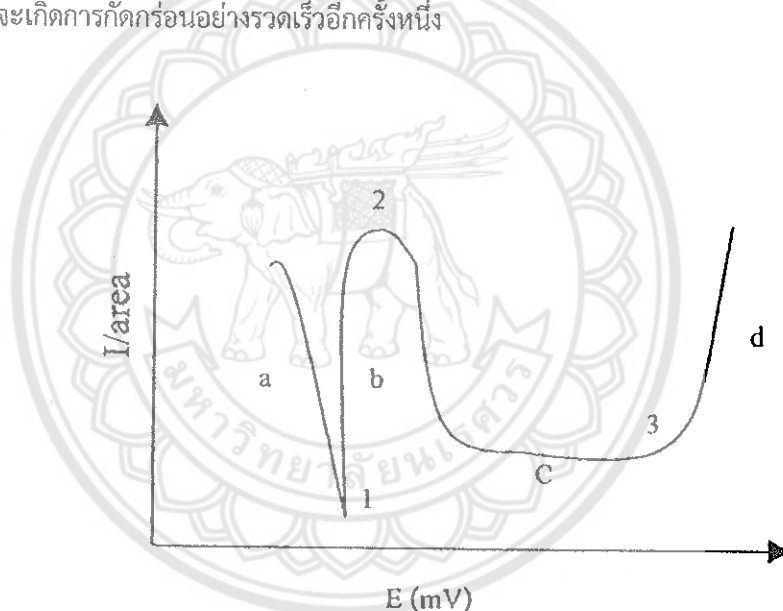
ความท้านทานการกัดกร่อนสามารถทดสอบโดยวิธีการทางไฟฟ้า-เคมี (electrochemical corrosion study) เพื่อศึกษาลักษณะเฉพาะของอาโนดิกโพลาริไซเซชัน (anodic polarization characteristics) โดยใช้เทคนิคโพเทนทิโอดינามิก (potentiodynamic) ซึ่งเป็นเทคนิคที่ใช้ระบบเซลล์ 3 ชั้น ในการตรวจสอบ ระบบเซลล์ 3 ชั้น ประกอบด้วย ชั้นทำงาน (working electrode, WE) หรือชั้นงานที่ต้องการทดสอบ ชั้นอ้างอิง (reference electrode) และชั้นให้พลังงาน (counter electrode) เพื่อเร่งให้เกิดการกัดกร่อน โดยสั่งผ่านอุปกรณ์ที่ควบคุมที่เรียกว่า Potentiostat โดยเทคนิคนี้จะป้อนศักย์ไฟฟ้าบวก แล้ววัดการเปลี่ยนแปลงของกระแสไฟฟ้าที่เกิดขึ้น โดยจะป้อนศักย์ไฟฟ้าบวกเพิ่มขึ้นเรื่อยๆ จากสภาพโลหะที่ยังไม่ถูกกัดกร่อน (cathodic polarization) จนกระทั่งเมื่อป้อนศักย์ไฟฟ้าบวกถึงค่าหนึ่งโดยจะถูกกัดกร่อน (anodic polarization) ถ้าหากโลหะนั้นสามารถสร้างฟิล์มบางปักป้องก์จะทำให้ระดับกระแสไฟฟ้าลดลงเปลี่ยนแปลงไปตามพฤติกรรมของฟิล์มบางนั้น ผลการทดสอบจะแสดงเป็นกราฟความสัมพันธ์ระหว่างกระแสไฟฟ้ากับศักย์ไฟฟ้า

หรือเรียกว่ากราฟโพลาไรเซชัน (polarization curve) ดังรูปที่ 2.11 การอ่านและแปลความจากกราฟโพลาไรเซชันด้วยเทคนิคไฟแทนทิโอดามินิกส์ สำหรับโลหะที่มีฟิล์มบางป้องกัน คือ

เส้นโค้ง a เป็นเส้นโค้งที่เกิดจากการป้อนศักย์ไฟฟ้าก่อนเกิดการกัดกร่อน หรือส่วนของกราฟค่าอดิกโพลาไรเซชัน

เส้นโค้ง b เป็นเส้นโค้งที่เกิดจากการป้อนศักย์ไฟฟ้าผ่านศักย์ไฟฟ้าของการกัดกร่อน (E_{corr}) หรือในจุดที่ 1 และเรียกเส้นโค้งนี้ว่าส่วนของกราฟอาโนดิกโพลาไรเซชัน และแสดงค่ากระแสสูงสุดก่อนการเกิดฟิล์มบางป้องกัน (I_{corr}) หรือในจุดที่ 2 ซึ่งให้ข้อมูลของความรวดเร็วในการเกิดฟิล์มบางป้องกันได้ คือ ค่ากระแสสูงแสดงว่ามีการสร้างฟิล์มที่ช้า แต่ถ้ามีค่ากระแสต่ำแสดงว่ามีการสร้างฟิล์มที่เร็ว

เส้นตรง c เป็นเส้นตรงที่เกิดจากการฟิล์มบางป้องกันที่ให้ความต้านทานการกัดกร่อนและให้กระแสคงที่ (I_{pass}) จนไม่สามารถทนค่าศักย์สูงสุด (E_{pH}) ได้ หรือในจุดที่ 3 ฟิล์มบางป้องกันจะถูกทำลาย และเข้าสู่เส้นโค้ง d ซึ่งเรียกช่วงนี้ว่า Transpassive ซึ่งกระแสจะเพิ่มขึ้นอย่างรวดเร็ว แสดงว่าโลหะนั้นจะเกิดการกัดกร่อนอย่างรวดเร็วอีกครั้งหนึ่ง



รูปที่ 2.11 กราฟแสดงความสัมพันธ์ระหว่างกระแสไฟฟ้ากับศักย์ไฟฟ้า

2.8 งานวิจัยที่เกี่ยวข้อง

ในปี ค.ศ. 2015 Imurai และคณะ [17] ได้ศึกษาผลของการเติมทังสเตนต่อโครงสร้างจุลภาคและความแข็งของเหล็กหล่อໂຄຣเมียมสูง 28wt%Cr-2.6wt%C-(0-10)wt%W ในสภาพหล่อ พบว่า เหล็กหล่อที่ไม่เติมทังสเตนมีโครงสร้างแบบไฮโปယอกติกประกอบด้วยเดนไตรท์ของออกซเทนในต์ ปฐมภูมิ (γ) ယอกติกออกซเทนในต์ที่เปลี่ยนเป็นมาร์เทนไซต์ (α') และคาร์บไบด์ယอกติกชนิด M_7C_3 เมื่อเติมทังสเตน 1wt% โครงสร้างจะเปลี่ยนเป็นแบบไฮเปอร์ယอกติกที่ประกอบด้วยคาร์บไบด์ปฐมภูมิขนาดใหญ่ คาร์บไบด์ယอกติก M_7C_3 และယอกติกออกซเทนในต์ เมื่อเติมทังสเตน 4wt% คาร์บไบด์

ยูเทกติกจะเป็นชนิด M_7C_3 และ M_6C และเมื่อเติมทังสเทน 10wt% คาร์บิดยูเทกติกประกอบด้วย M_7C_3 , M_6C และ $M_{23}C_6$ จากการทดสอบความแข็งพบว่าความแข็งจะเพิ่มขึ้นตามปริมาณของทังสเทน เนื่องจากปริมาณคาร์บิดยูเทกติกเพิ่มมากขึ้นและการเกิดคาร์บอนด์ M_6C

ในปี ค.ศ. 2012 Heydari และคณะ [18] ได้ศึกษาโครงสร้างและความแข็งของเหล็กหล่อ 22wt%Cr-(2.34-3.20)wt%C-(10-12)wt%W พบว่าโครงสร้างเป็นแบบไฮเปอร์ยูเทกติกประกอบด้วย การใบด์ปฐมภูมิ M_7C_3 ยูเทกติกօอสเทนไนต์ และคาร์บิดยูเทกติก M_7C_3 เมื่อปริมาณคาร์บอนและทังสเทนเพิ่มขึ้น คาร์บิดยูเทกติกเป็น M_7C_3 และ M_6C มีความแข็งเพิ่มขึ้นจาก 469 HV เป็น 630 HV

ในปี ค.ศ. 2005 Wiengmoon และคณะ [19] ศึกษาผลการอบดีสเตบีไลเซชันในเหล็กหล่อ โครงเมียมสูง 30wt%Cr-2.3wt%C ที่อุณหภูมิ 900-1100°C เป็นเวลา 2-8 ชั่วโมง พบว่าความแข็งมีค่าสูงสุดที่อุณหภูมิ 1025°C เป็นเวลา 4 ชั่วโมง ส่วนที่อุณหภูมิต่ำกว่าและสูงกว่า 1025°C ความแข็งมีค่าลดลง เนื่องจากที่อุณหภูมิต่ำจะมีการแตกตะกอนของคาร์บิดทุติยภูมิ $M_{23}C_6$ ปริมาณน้อย ส่วนที่อุณหภูมิสูงเกินไปจะมีการแตกตะกอนของคาร์บิดทุติยภูมิมีปริมาณมาก ทำให้ปริมาณคาร์บอนในมาร์เทนไซต์ลดลง

ในปี ค.ศ. 2011 Wiengmoon และคณะ [20] ได้ศึกษาการอบดีสเตบีไลเซชันของเหล็กหล่อ โครงเมียมสูง 27wt%Cr-2.72wt%C ที่อุณหภูมิ 1000°C เป็นเวลา 4 ชั่วโมง พบว่าความแข็งเพิ่มขึ้นจาก 580 HV30 เป็น 760 HV30 ความต้านทานการกัดกร่อนดีกว่าในสภาพหล่อ เนื่องจากในระหว่างการอบดีสเตบีไลเซชันจะทำให้โครงเมียมที่มีมากในօอสเทนไนต์ปฐมภูมิแพร่ออกมาระบายนอกที่อยู่รอบๆ คาร์บิดยูเทกติก ทำให้ปริมาณนี้มีโครงเมียมมากขึ้น

ในปี ค.ศ. 2007 Mousavi และคณะ [21] ได้ศึกษาผลของทังสเทนต่อการกัดกร่อนของเหล็กหล่อโครงเมียมสูง 27wt%Cr-3wt%C-(0-2.5)wt%W โดยการอบดีสเตบีไลเซชันที่อุณหภูมิ 1000°C เป็นเวลา 2.30 ชั่วโมง พบว่าเหล็กหล่อที่ไม่เติมทังสเทนในสภาพหล่อ โครงสร้างที่ได้จะเป็นแบบไฮเปอร์ยูเทกติกที่ประกอบด้วยเดนไดร์ท์օอสเทนไนต์และคาร์บิดยูเทกติก M_7C_3 เมื่อเติมทังสเทน 2.5wt% พบว่าโครงสร้างเป็นแบบไฮเปอร์ยูเทกติกประกอบด้วยการใบด์ปฐมภูมิ M_7C_3 และคาร์บิดยูเทกติก M_7C_3 หลังการอบดีสเตบีไลเซชันโครงสร้างที่ได้ประกอบด้วยการใบด์ทุติยภูมิชนิด $M_{23}C_6$ ความแข็งเพิ่มขึ้นจาก 803 HV เป็น 895 HV ทำให้ความต้านทานต่อการกัดกร่อนดีขึ้น

ในปี ค.ศ. 2017 Carrillo และคณะ [22] ศึกษาผลของทังสเทนและการทำดีสเตบีไลเซชันต่อโครงสร้างจลภาคของเหล็กหล่อโครงเมียมสูง 17wt%Cr-3wt%C-(0-10.3)wt%W โดยอบดีสเตบีไลเซชันที่อุณหภูมิ 850, 900 และ 950°C เป็นเวลา 45 นาที พบว่าเหล็กหล่อที่ไม่เติมและเติมทังสเทน 2wt%, 4.2wt% และ 10.3wt%W ในสภาพหล่อ ความแข็งเพิ่มขึ้นจาก 425 HV เป็น 470, 460 และ 480 HV ตามลำดับ ส่วนหลังการอบดีสเตบีไลเซชันพบว่าเหล็กหล่อที่เติมทังสเทน 4.2wt% ค่าความแข็งมีค่าสูงสุดที่อุณหภูมิ 950°C แต่เมื่อปริมาณทังสเทนเพิ่มขึ้นเป็น 10.3wt% พบว่าความแข็งมีค่าสูงสุดที่อุณหภูมิ 850°C ส่วนที่อุณหภูมิ 900 และ 950°C มีค่าความแข็งต่ำกว่า เนื่องจากคาร์บิดทุติยภูมิมีการแตกตะกอนจำนวนมากและมีขนาดใหญ่ ทำให้ปริมาณคาร์บอนในมาร์เทนไซต์ลดลง ความแข็งจึงลดลง

ในปี ค.ศ. 2012 Agunsey และ Ayeni [23] ศึกษากระบวนการหางความร้อนของเหล็กหล่อ โครงเมียมสูง 22wt%Cr-2.9wt%C โดยการอบดีสเทบิไลเซ็นที่อุณหภูมิ 1000°C เป็นเวลา 4 ชั่วโมง และอบเพาเวอร์ริงที่อุณหภูมิ 600°C เป็นเวลา 2 ชั่วโมง จากการทดสอบความแข็งหน่วยว่าในสภาพหล่อ และหลังการอบดีสเทบิไลเซ็น ค่าความแข็งเพิ่มขึ้นจาก 590 เป็น 693 HB ส่วนหลังการอบเพาเวอร์ริง ความแข็งลดลงเป็น 619 HB เนื่องจากการเหนไซต์เปลี่ยนรูปเป็นเหมือนมาร์เกนไชต์

ในปี ค.ศ. 2012 Yezhe และคณะ [24] ได้ศึกษาผลของการเติมหั้งสแตนและกระบวนการหางความร้อนต่อโครงสร้างจุลภาคและสมบัติของเหล็กหล่อโครงเมียมสูง-24wt%Cr-3wt%C-(0-2.75)wt%W พบว่าเมื่อเติมหั้งสแตนทำให้โครงสร้างในสภาพหล่อเปลี่ยนจากไฮเปอร์ยูเทกติกเป็นไฮเปอร์ยูเทกติกที่ประกอบด้วยคาร์ไบด์ปูมภูมิ M_2C_3 ยูเทกติกออกไซเดนเนตที่เปลี่ยนเป็นมาร์เกนไชต์ และคาร์ไบด์ยูเทกติก นอกจากนี้ยังพบว่าความแข็งจะเพิ่มขึ้นตามปริมาณหั้งสแตน ส่วนหลังการอบดีสเทบิไลเซ็นที่อุณหภูมิ 1050°C เป็นเวลา 2 ชั่วโมง และเพาเวอร์ริงที่อุณหภูมิ 250°C เป็นเวลา 3 ชั่วโมง พบว่าเหล็กหล่อที่เติมหั้งสแตน 0wt%, 1wt%, 2wt%, และ 3wt% ความแข็งเพิ่มขึ้นเป็น 785, 850, 890 และ 913 HV ตามลำดับ ทำให้ความต้านทานต่อการสึกหรอดีขึ้น



บทที่ 3

วิธีการทดลอง

3.1 การหล่อและส่วนผสมทางเคมี

เหล็กหล่อโครงเมียมสูงที่ใช้ในการทดลองประกอบด้วยเหล็กหล่อที่ไม่เติมทั้งสตุน (R) และเติมทั้งสตุน 1, 4 และ 10wt% (W1, W4 และ W10) โดยเหล็กหล่อเตรียมจากการหลอมเหล็กพิกซึ่งมีปริมาณซิลิโคนและธาตุอื่น ๆ ต่ำ หลอมเหลวด้วยเตาไฟฟ้าเหนี่ยวน้ำ จากนั้นเทลงในแบบหล่อทรายรูปทรงกระบอกที่มีเส้นผ่านศูนย์กลาง 2.5 เซนติเมตร ยาว 30 เซนติเมตร และปล่อยให้เย็นตัวตัวอย่างชิ้นงานที่ผ่านการหล่อในแบบหล่อทรายแสดงดังรูป 3.1 และส่วนผสมทางเคมีของเหล็กหล่อแสดงในตารางที่ 3.1



รูปที่ 3.1 ตัวอย่างเหล็กหล่อที่ได้จากการหล่อในแบบหล่อทราย

ตารางที่ 3.1 ส่วนผสมทางเคมีของเหล็กหล่อโครงเมียมสูงที่ใช้ในการทดลอง

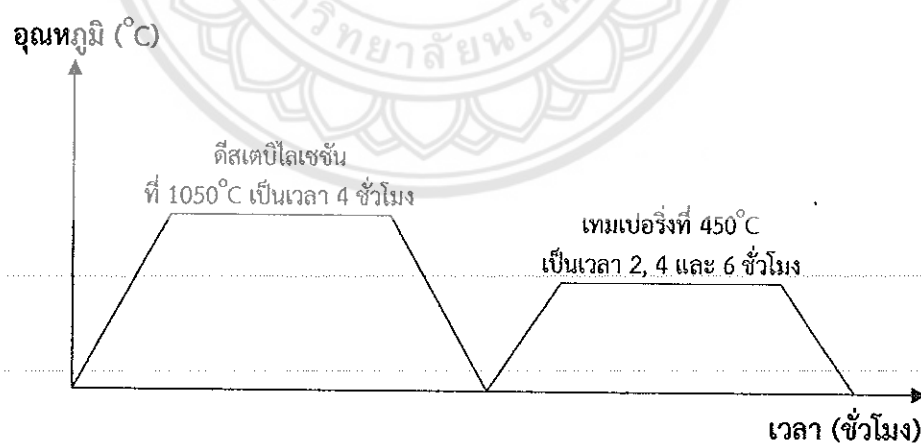
เหล็กหล่อ	ส่วนผสมทางเคมี (wt. %)										
	C	Cr	W	Si	P	S	Ni	Mo	Mn	Fe	
R	2.36	27.86	0.01	0.20	0.02	0.01	0.20	0.03	0.11	Bal.	
W1	2.87	26.67	0.99	0.44	0.03	0.01	0.22	0.03	0.15	Bal.	
W4	2.79	28.10	3.88	2.21	0.03	0.01	0.22	0.03	0.17	Bal.	
W10	2.56	27.84	9.91	0.17	0.03	0.01	0.22	0.04	0.11	Bal.	

3.2 การปรับสภาพด้วยความร้อน

ขั้นตอนการปรับสภาพด้วยความร้อนโดยการนำเหล็กที่ผ่านการหล่อมาตัดให้มีความหนาประมาณ 1 เซนติเมตร จากนั้นนำมาทำการปรับสภาพด้วยความร้อน ซึ่งประกอบด้วยการทำดีสเตบิไลเซชันในเตาไฟฟ้าที่อุณหภูมิ 1050°C เป็นเวลา 4 ชั่วโมง และวัลลถอยให้เย็นตัวในอากาศ จากนั้นนำชิ้นงานมาเทมเปอร์ริ่งซึ่งเตาที่อุณหภูมิ 450°C เป็นเวลา 2, 4 และ 6 ชั่วโมง และวัลลถอยให้เย็นตัวในอากาศ ขั้นตอนการปรับสภาพด้วยความร้อนแสดงดังรูปที่ 3.2-3.3



รูปที่ 3.2 ขั้นตอนสำหรับการปรับสภาพด้วยความร้อนภายใต้ความร้อนภายในเตาไฟฟ้า รุ่น Controller C290 ของบริษัท Nabertherm



รูปที่ 3.3 กระบวนการปรับสภาพด้วยความร้อนของเหล็กหล่อໂຄเมี่ยนสูง

ตาราง 3.2 กระบวนการทางความร้อนและสัญลักษณ์ของชิ้นงาน

ชิ้นงาน	กระบวนการทางความร้อน
AC	สภาพหล่อ (As-Cast)
D	ดีสเตบิไลเซชันที่ 1050°C , 4 ชั่วโมง
D+T2	ดีสเตบิไลเซชันที่ 1050°C , 4 ชั่วโมง + เทมเปอร์ริ่งที่ 450°C , 2 ชั่วโมง
D+T4	ดีสเตบิไลเซชันที่ 1050°C , 4 ชั่วโมง + เทมเปอร์ริ่งที่ 450°C , 4 ชั่วโมง
D+T6	ดีสเตบิไลเซชันที่ 1050°C , 4 ชั่วโมง + เทมเปอร์ริ่งที่ 450°C , 6 ชั่วโมง

3.3 การศึกษาโครงสร้างจุลภาค

การเตรียมชิ้นงานเพื่อศึกษาโครงสร้างจุลภาคเริ่มจากการนำเหล็กหล่อหลังการหล่อในแบบหล่อทรายและหลังการปรับสภาพด้วยความร้อนไปขัดด้วยกระดาษทรายเบอร์ 180, 360, 600 และ 1000 ตามลำดับ จากนั้นนำมาขัดละเอียดด้วยผงขัดเพชรขนาด 6, 3 และ $1 \mu\text{m}$ และนำมาภัตผิวน้ำชิ้นงานในขันตอนสุดท้าย โดยสารละลายที่ใช้ในการทดลองมี 3 ชนิด คือ (1) NaOH 10 g + KMnO_4 10 g + น้ำกลั่น 100 ml (2) กรด $\text{Na}_2\text{S}_2\text{O}_5$ 10 g + กรด HCl 50 ml ในน้ำกลั่น 100 ml เพื่อแยกความแตกต่างระหว่างเฟสอสแตนในตัวและมาร์เทนไซต์ (3) กรด HCl 100 ml + CH_3OH 100 ml ใช้เวลาในการภัตกรดเป็นเวลา 10-14 ชั่วโมง หรือเรียกว่า (deep etching) ทำให้เห็นลักษณะรูปร่างของการรีบดีใน 3 มิติ จากนั้นนำชิ้นงานมาศึกษาโครงสร้างจุลทรรศน์แบบแสง (OM) ซึ่งมีข้อต่อสำหรับติดตั้งกล้องถ่ายภาพและสายสัญญาณท่อเข้าสู่คอมพิวเตอร์เพื่อถ่ายภาพและจัดเก็บข้อมูลหรือแสดงผลบนหน้าจอคอมพิวเตอร์ กล้องจุลทรรศน์อิเล็กทรอนแบบส่องกราด (SEM) โดยใช้荷電 Backscattered Electron Image (BEI) ซึ่งสามารถแยกความแตกต่างของแต่ละเฟสโดยเพส นีประกอบด้วยอสแตนในตัว มาร์เทนไซต์ ยูเทกติกอสแตนในตัวและคาร์ไบด์ยูเทกติกชนิด M_7C_3 , M_6C และ M_{23}C_6 ซึ่งธาตุที่มีเลขอะตอมสูงกว่าจะมีค่อน Harratt ที่ส่วนกว่าธาตุที่มีเลขอะตอมต่ำกว่า การวิเคราะห์องค์ประกอบทางเคมีเพื่อศึกษาการกระจายตัวของธาตุต่าง ๆ โดยการวัดการกระจายพลังงานของรังสีเอกซ์ (EDS) ที่ต่อ กับกล้องจุลทรรศน์อิเล็กทรอนแบบส่องกราดบริเวณเมทริกซ์และคริปต์ยูเทกติก

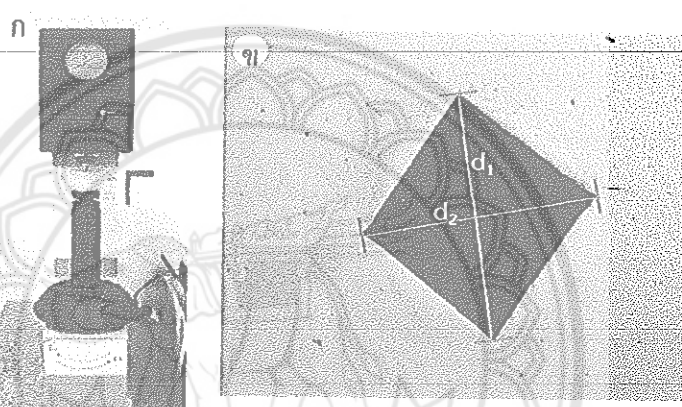
3.4 การศึกษานิคเฟสด้วยเทคนิคการเลี้ยวเบนของรังสีเอกซ์

โครงสร้างผลึกและชนิดเฟสต่างๆของเหล็กหล่อโครงเมียมสูง ศึกษาด้วยเครื่องวิเคราะห์การเลี้ยวเบนของรังสีเอกซ์ (X-ray Diffractometry: XRD) โดยการนำเหล็กหล่อที่ผ่านการขัดหยาบและขัดละเอียดที่ยังไม่ได้ภัตผิวน้ำด้วยกรดนำมายัดให้หนาไม่เกิน 0.5 เซนติเมตร โดยกำหนดมุมสแกนอยู่ในช่วง 20 ถึง 130 องศา โดยใช้ $\text{Cu K}_{\alpha 1}$ และ $\text{Cu K}_{\alpha 2}$

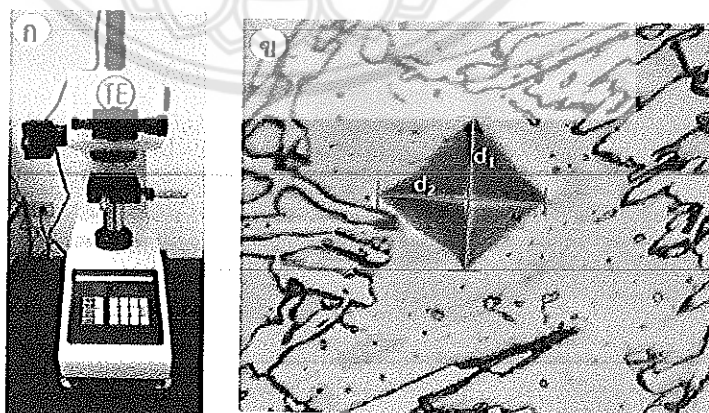
3.5 การทดสอบความแข็ง

ความแข็งมีภาคของเหล็กหล่อโครงเมียมสูงทดสอบแบบวิกเกอร์ โดยนำเหล็กหล่อที่เตรียมสำหรับศึกษาโครงสร้างจุลภาคที่ไม่ได้กัดผิวน้ำหนาทดสอบ โดยใช้หัวกดแบบเพชร น้ำหนักกด 30 กิโลกรัมแรง เป็นเวลา 15 วินาที ชิ้นงานละ 8 จุด จากนั้นโดยนำรอยกดมาส่องด้วยกล้องจุลทรรศน์แบบแสงที่กำลังขยาย 100 เท่า และวัดความยาวของเส้นทแยงมุม d_1 , d_2 ดังรูป 3.4 และคำนวณค่าความแข็ง ดังสมการ 2.1 จากนั้นนำค่าหั้ง 8 ค่ามาหาค่าเฉลี่ย

ความแข็งจุลภาคบริเวณเดนไทร์ทดสอบแบบวิกเกอร์ ดังรูป 3.5 โดยการนำเหล็กหล่อที่กัดกรดแล้วมาทดสอบ โดยใช้น้ำหนักกด 100 กรัมแรง เป็นเวลา 15 วินาที ชิ้นงานละ 8 จุด ซึ่งค่าความแข็งได้จากการบอตโน้มต้องเครื่องทดสอบโดยตรง



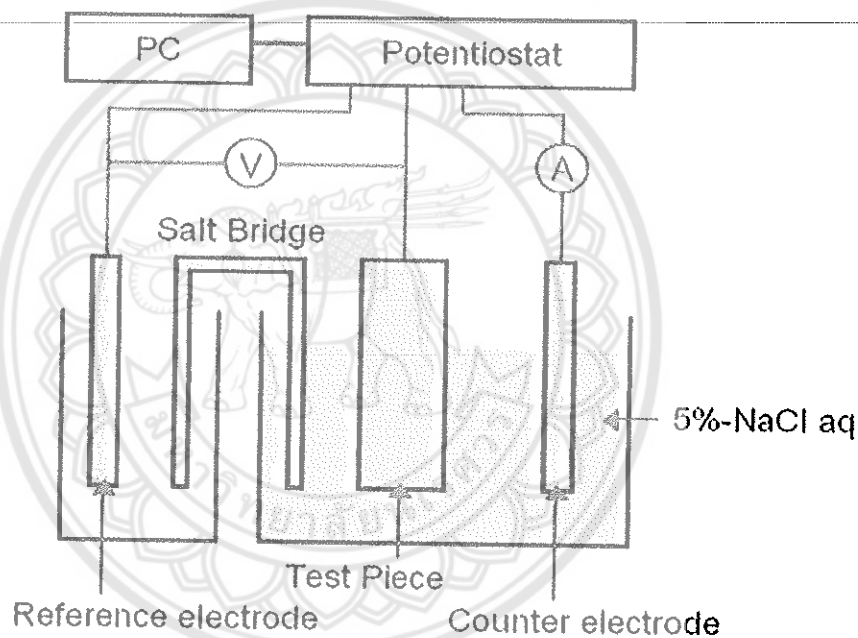
รูปที่ 3.4 (ก) เครื่องทดสอบความแข็งโดยรวมแบบวิกเกอร์ รุ่น Egotest comp 25 Rs บริษัท Galileo (ข) การวัดเส้นทะแยงมุม



รูปที่ 3.5 (ก) เครื่องทดสอบความแข็งแบบจุลภาค รุ่น HV-1000 บริษัท Jinan Testing Equipment IE Corporation (ข) รอยกดบริเวณเดนไทร์

3.6 การทดสอบความต้านทานการกัดกร่อน

ความต้านทานการกัดกร่อนของเหล็กหล่อコーร์เมียมสูง ทดสอบโดยวิธีไฟฟ้า-เคมี (electrochemical corrosion study) ในสารละลายน้ำดีก็อกโพลาริซ์ (anodic polarization characteristics) เพื่อศึกษาลักษณะเฉพาะของแอนodicไฟฟารีเซชัน (anodic polarization characteristics) โดยใช้เทคนิคไฟเทนท์โอดิโนมิคส์ (potentiodynamic) ซึ่งเป็นเทคนิคที่ใช้ระบบเซลล์ 3 ขั้วในการตรวจสอบ ระบบเซลล์ 3 ขั้ว ประกอบด้วย ขั้วทำงาน (working electrode, WE) หรือชิ้นงานที่ต้องการทดสอบ ขั้วอ้างอิง (reference electrode) และขั้วให้พลังงาน (counter electrode) เพื่อเร่งให้เกิดการกัดกร่อน โดยสิ่งผู้อุปกรณ์ที่ควบคุมที่เรียกว่า เครื่อง Potentiostat รูปที่ 3.6 แสดงอุปกรณ์ที่ใช้ในการทดสอบความต้านทานการกัดกร่อนและส่วนประกอบของเซลล์ชนิด 3 ขั้ว จากนั้นนำชิ้นงานที่ผ่านการทดสอบการกัดกร่อนมาศึกษาพื้นผิวด้วยกล้อง SEM



รูปที่ 3.6 อุปกรณ์ที่ใช้ในการทดสอบความต้านทานการกัดกร่อน

บทที่ 4

ผลการทดลองและอภิปรายผล

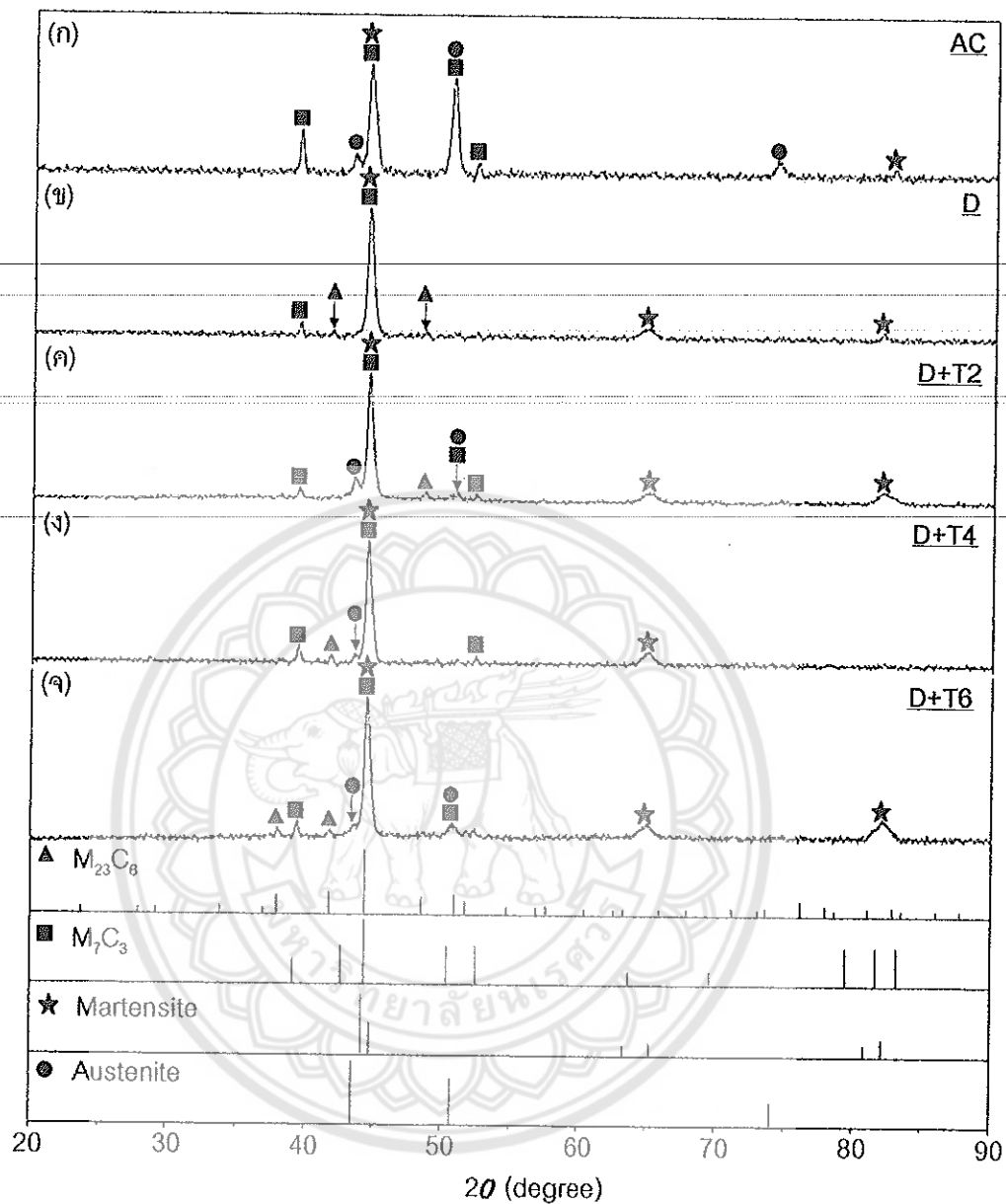
4.1 การศึกษาชนิดเฟสด้วยเทคนิคการเลี้ยวเบนของรังสีเอกซ์

จากการวิเคราะห์รูปแบบการเลี้ยวเบนของรังสีเอกซ์เทียบกับแฟ้มข้อมูลมาตรฐาน (JCPDS)

ของเหล็กหล่อ 28wt%Cr ที่ไม่เติมหั้งสเทน (R) และเติมหั้งสเทน 1wt% (W1), 4wt% (W4) และ 10wt% (W10) ในสภาพหล่อและหลังกระบวนการทางความร้อน ดังรูปที่ 4.1-4.4 พบว่าเหล็กหล่อ R และเหล็กหล่อ W1 ในสภาพหล่อ (AC) ประกอบด้วยเฟสօอสเทนในต์ มาร์เทนไซต์ และคาร์ไบด์ ชนิด M_7C_3 ($M = Fe Cr W$) ส่วนเหล็กหล่อ W4 ประกอบด้วยเฟสօอสเทนในต์ มาร์เทนไซต์ และคาร์ไบด์ M_7C_3 และ M_6C ส่วนในเหล็กหล่อ W10 ประกอบด้วยเฟสօอสเทนในต์ มาร์เทนไซต์ และคาร์ไบด์ ชนิด M_7C_3 , M_6C และ $M_{23}C_6$ ซึ่งสอดคล้องกับงานวิจัยของ Imurai และคณะ [17] ที่พบว่าเหล็กหล่อที่ไม่เติมหั้งสเทนและเติมหั้งสเทน 1wt% พบคาร์ไบด์ M_7C_3 ส่วนเหล็กหล่อที่เติมหั้งสเทน 4wt% และ 10wt% จะพบคาร์ไบด์ M_6C และ $M_{23}C_6$

หลังการอบดีสเทบีโลเซชันที่อุณหภูมิ $1050^{\circ}C$ เป็นเวลา 4 ชั่วโมง (D) พบว่าในเหล็กหล่อ R, W1 และ W4 พีคของมาร์เทนไซต์สูงขึ้นและพบพีคของ $M_{23}C_6$ ส่วนในเหล็กหล่อ W10 ความเข้มของเฟสมาร์เทนไซต์และคาร์ไบด์ $M_{23}C_6$ เพิ่มมากขึ้นเมื่อเทียบกับสภาพหล่อ การเพิ่มขึ้นของมาร์เทนไซต์แสดงถึงการเปลี่ยนเฟสจากօอสเทนในต์เป็นมาร์เทนไซต์ ส่วนคาร์ไบด์ $M_{23}C_6$ น่าจะเป็นคาร์ไบด์ทุติยภูมิที่ตกตะกอนในมาร์เทนไซต์ ซึ่งสอดคล้องกับงานวิจัยของ Mousavi และคณะ [21] ที่พบว่า คาร์ไบด์ทุติยภูมิในเหล็กหล่อโครงเมียมสูง $27wt\%Cr-3wt\%C-3wt\%W$ คือ $M_{23}C_6$ อ่าย่างไรก็ตามพบว่า ในเหล็กหล่อ W1 มีพีคของօอสเทนในต์ตกค้างเล็กน้อย ส่วนในเหล็กหล่อ R, W4 และ W10 ไม่พบพีคของօอสเทนในต์ตกค้าง อาจเนื่องจากมีปริมาณน้อยจนไม่สามารถตรวจสอบด้วยเทคนิค XRD ได้

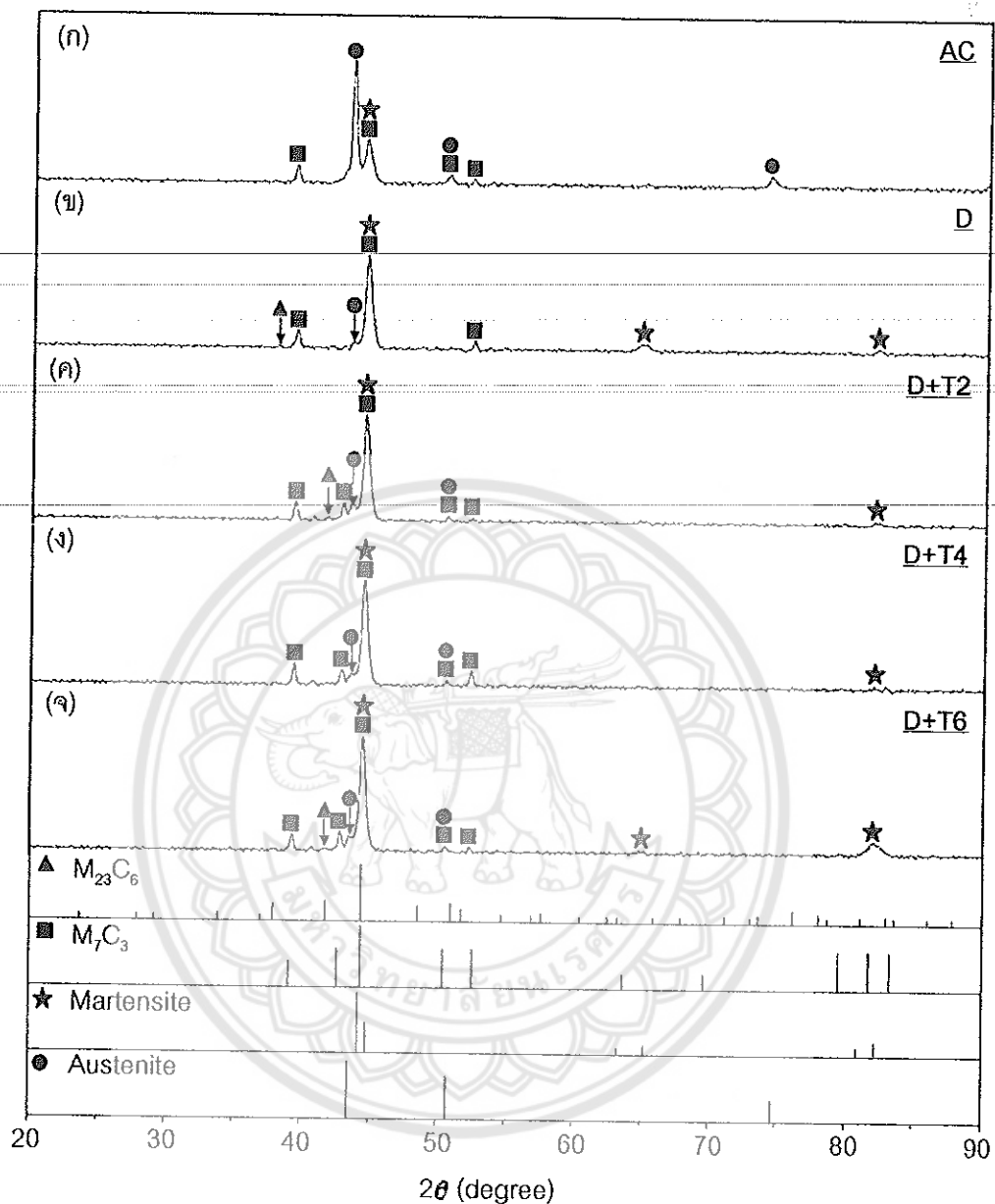
หลังการอบดีสเทบีโลเซชันและเทมเปอร์ริ่งที่อุณหภูมิ $450^{\circ}C$ เป็นเวลา 2, 4 และ 6 ชั่วโมง (D+T) ทำให้ปริมาณเฟสօอสเทนในต์ตกค้างในเหล็กหล่อ R และ W1 ลดลง ส่วนในเหล็กหล่อ W4 และ W10 ไม่พบօอสเทนในต์ตกค้าง ซึ่งน่าจะเป็นผลจากการเติมหั้งสเทนที่ทำให้ความสามารถในการชุบแข็ง (Hardenability) เพิ่มขึ้น นอกจากนี้หลังการอบเทมเปอร์ริ่งพีคของคาร์ไบด์ $M_{23}C_6$ จะเพิ่มขึ้นในทุกส่วนผสม ซึ่งการไบเดล่า�้าจะเกิดการตกตะกอนในระหว่างการอบเทมเปอร์ริ่ง หรือเกิดจาก การเปลี่ยนเฟสของօอสเทนในต์ตกค้างเป็นคาร์ไบด์ $M_{23}C_6$ และเฟอร์ไรท์



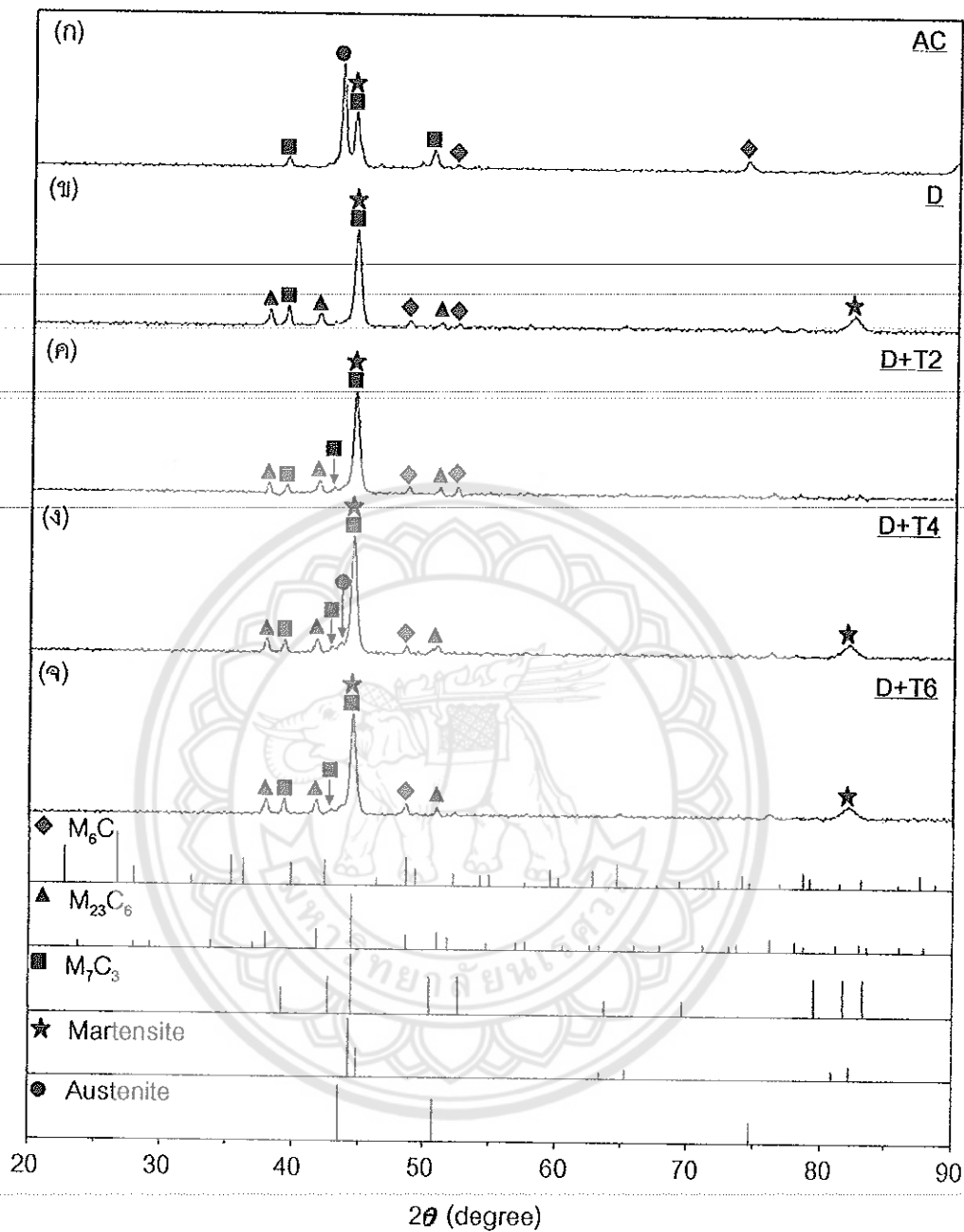
รูปที่ 4.1 รูปแบบการเดี่ยวเบนของรังสีเอกซ์ของเหล็กหล่อ 28wt%Cr ที่ไม่เติมทังสเทน (R) (ก) ในสภาพหล่อ (AC) (ข) หลังการอบดีสเตบีໄโลเซชัน (D) และ (ค-ก) หลังการอบดีสเตบีໄโลเซชันและเพิ่มเปอร์เซ็นต์ (D+T) เป็นเวลา 2, 4 และ 6 ชั่วโมง

QD
181
W1
06555
2561

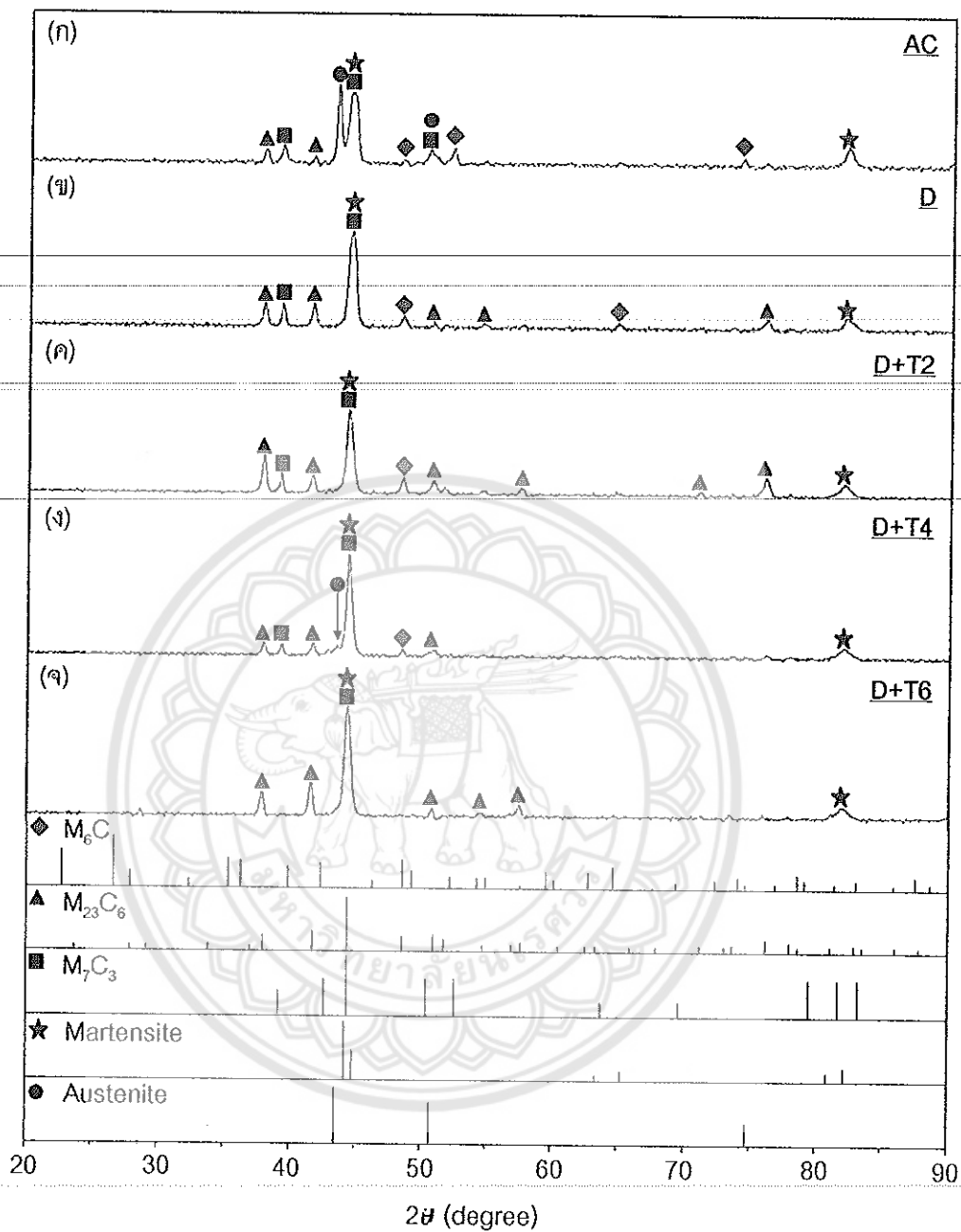
15 Feb 2016



รูปที่ 4.2 รูปแบบการถ่ายรูปของรังสีเอกซ์ของเหล็กหล่อ 28wt%Cr ที่เติมพังสเทน 1wt% (W1) (ก) ในสภาพหล่อ (AC) (ข) หลังการอบดีสเตบิไลเซชัน (D) และ (ค-จ) หลังการอบดีสเตบิไลเซชันและเทมเปอร์ริง (D+T) เป็นเวลา 2, 4 และ 6 ชั่วโมง



รูปที่ 4.3 รูปแบบการเดี้ยวบนของรังสีเอกซ์ของเหล็กหล่อ 28wt%Cr ที่เติมหั้งสแตน 4wt% (W4) (ก) ในสภาพหล่อ (AC) (ข) หลังการอบดีสแตบิไลเซชัน (D) และ (ค-จ) หลังการอบดีสแตบิไลเซชันและเทมเปอร์ริง (D+T) เป็นเวลา 2, 4 และ 6 ชั่วโมง



รูปที่ 4.4 รูปแบบการเลี้ยงเบนของรังสีเอกซ์ของเหล็กหล่อ 28wt%Cr ที่เติมทั้งสแตน 10wt% (W10) (ก) ในสภาพหล่อ (AC) (ข) หลังการอบดีสเทบีไลเซน (D) และ (ค-จ) หลังการอบดีสเทบีไลเซนและเนมเปอร์ริง (D+T) เป็นเวลา 2, 4 และ 6 ชั่วโมง

4.2 โครงสร้างจุลภาค (Microstructure)

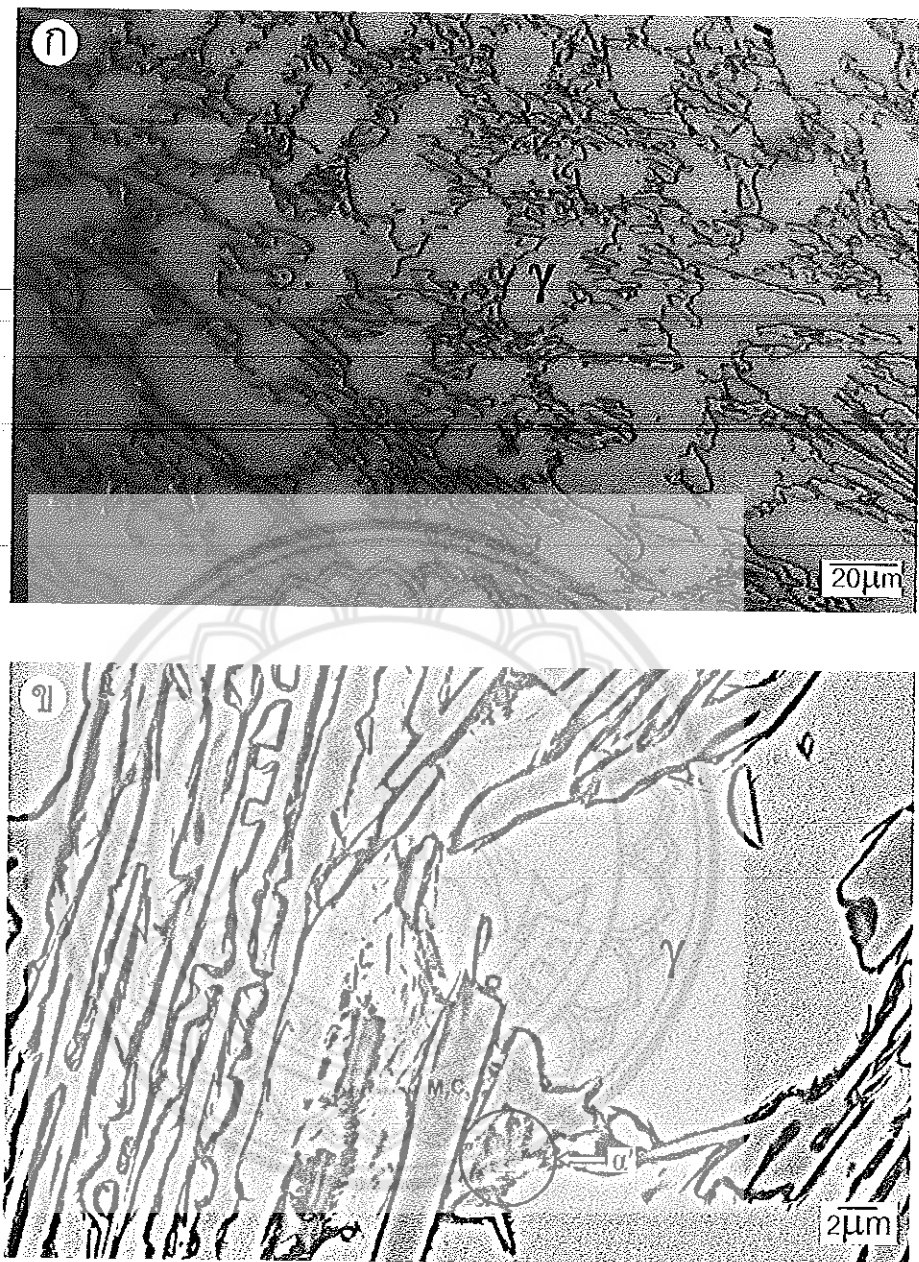
4.2.1 โครงสร้างจุลภาคในสภาพหล่อ (As-cast)

จากการศึกษาโครงสร้างจุลภาคด้วยกล้องจุลทรรศน์แบบแสง (OM) และกล้องจุลทรรศน์อิเล็กทรอนแบบส่องการดู (SEM) พบว่าโครงสร้างจุลภาคในสภาพหล่อของเหล็กหล่อ 28wt%Cr ที่ไม่เติมหั่งสเทน (R) เป็นแบบไฮปอยเทกติกที่ประกอบด้วยเดนไดร์ทของอสเทนในตัวปฐมภูมิ (γ) คาร์บไบด์ยูเทกติก M_7C_3 และยูเทกติกอสเทนในตัวที่เปลี่ยนเป็นมาร์เทนไชต์ (α') ระหว่างเย็นตัวในแบบหล่อ ดังรูป 4.5 ส่วนเหล็กหล่อ 28wt%Cr ที่เติมหั่งสเทน 1wt% (W1) โครงสร้างจะเปลี่ยนเป็นแบบไฮเปอร์ยูเทกติกที่ประกอบด้วยการ์บไบด์ปฐมภูมิ M_7C_3 ยูเทกติกอสเทนในตัว (γ) และการ์บไบด์ยูเทกติก M_7C_3 ดังรูป 4.6

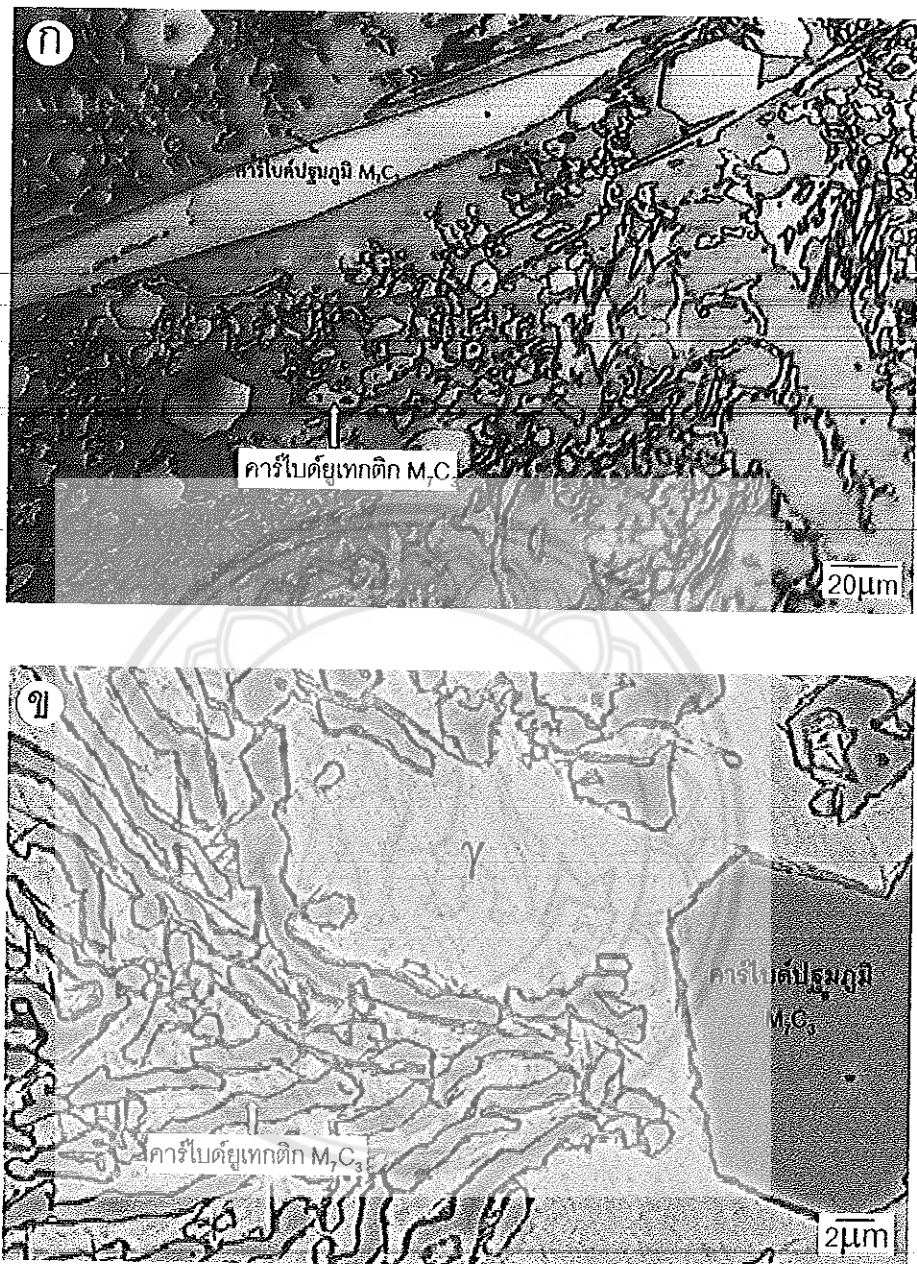
โดยขั้นตอนการแข็งตัวของเหล็กหล่อแบบไฮปอยเทกติกเริ่มจากของเหลว (L_0) ก่อตัวเป็นเดนไดร์ทของอสเทนในตัวปฐมภูมิ ($L_0 \rightarrow$ primary $\gamma + L_1$) จากนั้นมีอุณหภูมิลดลงจนถึงปฏิกิริยา ยูเทกติกของเหลวที่เหลือ (L_1) จะเปลี่ยนเป็นโครงสร้างยูเทกติกที่ประกอบด้วยยูเทกติกอสเทนในตัว และยูเทกติกการ์บไบด์ M_7C_3 ($L_1 \rightarrow$ eutectic ($\gamma + M_7C_3$)) จากนั้นมีอุณหภูมิลดลงจนถึงปฏิกิริยา ยูเทกติกของเหลว (L_0) ก่อตัวเป็นการ์บไบด์ปฐมภูมิ M_7C_3 ($L_0 \rightarrow$ primary $M_7C_3 + L_1$) จากนั้นมีอุณหภูมิลดลงจนถึงปฏิกิริยา ยูเทกติก ของเหลวที่เหลือ (L_1) จะเปลี่ยนเป็นโครงสร้างยูเทกติกเช่นเดียวกับเหล็กหล่อแบบไฮปอยเทกติก [17]

สำหรับเหล็กหล่อที่เติมหั่งสเทน 4wt% (W4) ในสภาพหล่อโครงสร้างจุลภาคแบบไฮเปอร์ยูเทกติกเช่นเดียวกับเหล็กหล่อ W1 และพบการ์บไบด์ยูเทกติก M_6C ที่มีคันทรารสต์ส่วนที่สุด ดังรูป 4.7 โดยการแข็งตัวของเหล็กหล่อ W4 ที่ปฏิกิริยา ยูเทกติกจะเกิดโครงสร้างของยูเทกติกอสเทนในตัว และการ์บไบด์ยูเทกติกของ M_7C_3 และ M_6C ($L_1 \rightarrow$ eutectic ($\gamma + M_7C_3 + M_6C$))

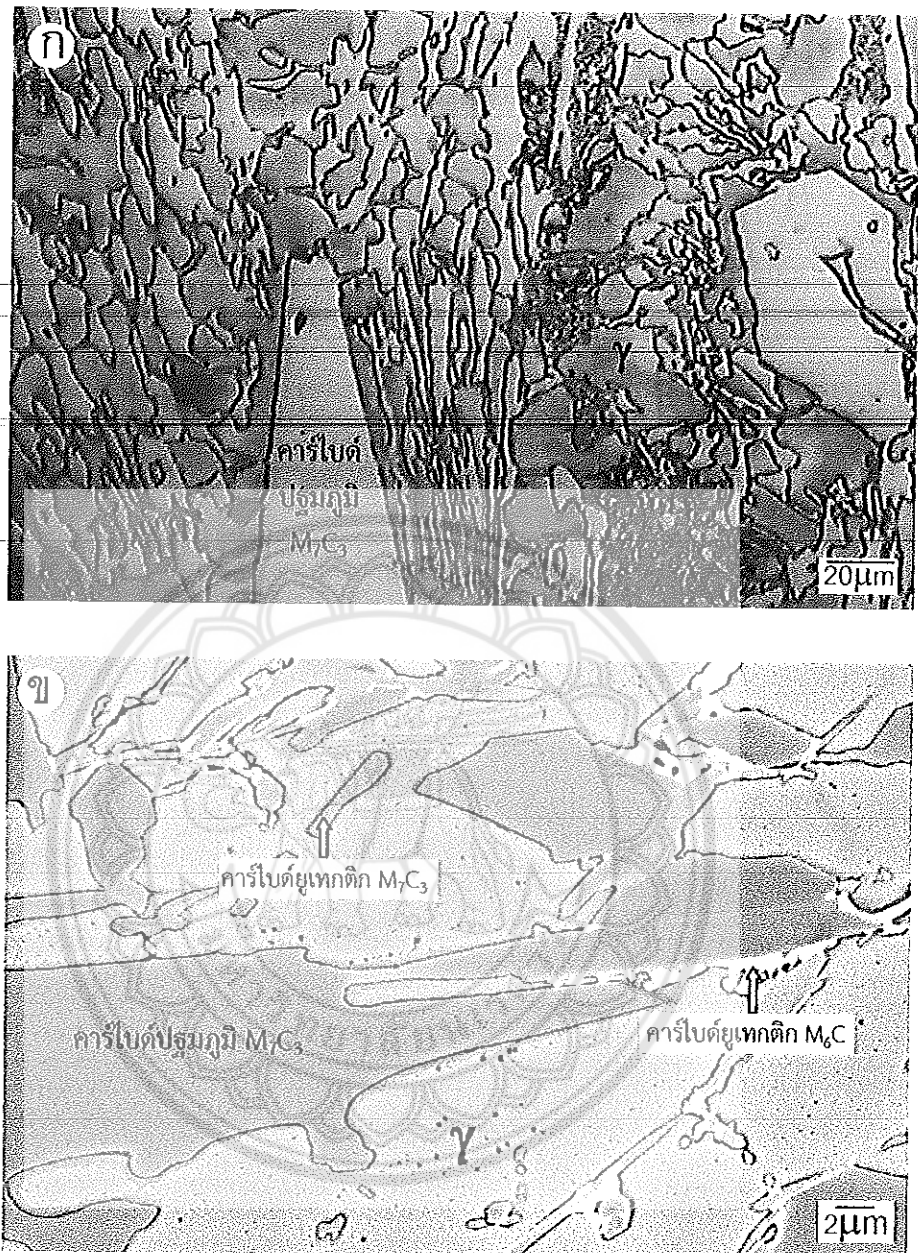
เหล็กหล่อที่เติมหั่งสเทน 10wt% (W10) ในสภาพหล่อจะมีโครงสร้างจุลภาคต่างจากเหล็กหล่อ W1 และ W4 โดยพบว่าโครงสร้างประกอบด้วยการ์บไบด์ปฐมภูมิ M_7C_3 การ์บไบด์ $M_{23}C_6$ การ์บไบด์ยูเทกติก M_6C และยูเทกติกอสเทนในตัว ดังรูป 4.8 โดยขั้นตอนการแข็งตัวของเหล็กหล่อ W10 เริ่มจากการเกิดการ์บไบด์ปฐมภูมิ M_7C_3 ($L_0 \rightarrow$ primary $M_7C_3 + L_1$) จากนั้นของเหลวที่เหลือจะทำปฏิกิริยา กับการ์บไบด์ปฐมภูมิ M_7C_3 (ปฏิกิริยาเพอร์เทกติก) เกิดเป็นการ์บไบด์ $M_{23}C_6$ ($L_1 +$ primary $M_7C_3 \rightarrow M_{23}C_6 + L_2$) และเมื่ออุณหภูมิลดลงจนถึงปฏิกิริยา ยูเทกติกจะเกิดโครงสร้าง ยูเทกติกอสเทนในตัว และการ์บไบด์ยูเทกติก M_6C ($L_2 \rightarrow$ eutectic ($\gamma + M_6C$)) โดย Imurai และคณะ [17] อธิบายว่าในระหว่างการโตกองการ์บไบด์ปฐมภูมิ M_7C_3 (มีโครงเมี้ยมสูง) หั่งสเทนจะถูก พลักออกทำให้น้ำโลหะมีปริมาณหั่งสเทนมากขึ้นและเกิดเป็นการ์บไบด์ $M_{23}C_6$ (มีหั่งสเทนสูง) จากนั้น เมื่อถึงปฏิกิริยา ยูเทกติกจะเกิดการ์บไบด์ยูเทกติก M_6C ซึ่งจะแข็งตัวจากน้ำโลหะเป็นโครงสร้างสุดท้าย นอกจากรูปนี้ในเหล็กหล่อ W10 ไม่พบการ์บไบด์ยูเทกติก M_7C_3 เนื่องจาก การ์บไบด์ M_7C_3 จะเกิดได้ ก็ต่อเมื่อมีปริมาณคาร์บอนสูง



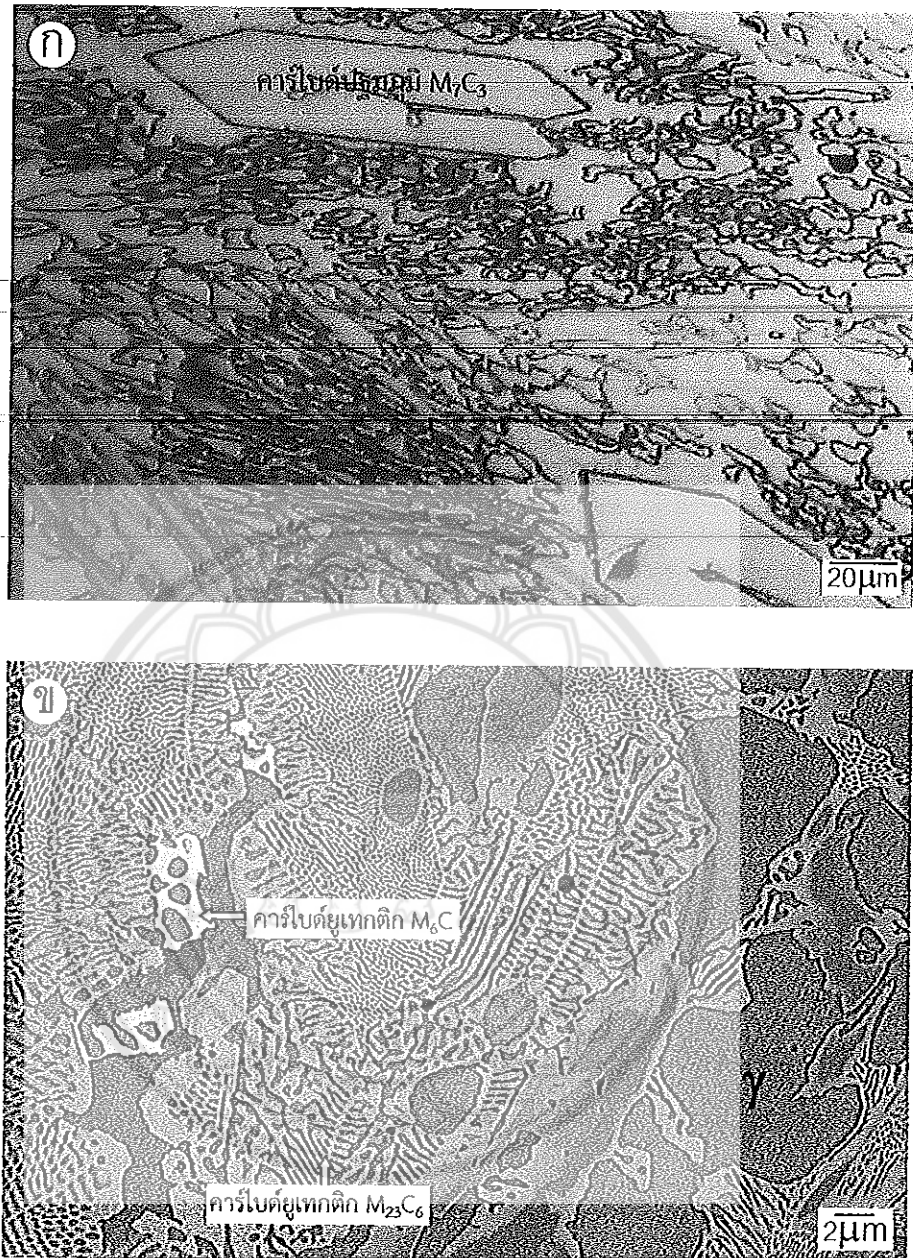
รูปที่ 4.5 โครงสร้างจุลภาคในสภาพหล่อของเหล็กหล่อ 28wt%Cr ที่ไม่เติมทังสเทน (R)
(k) ภาพถ่ายจากกล้อง OM (ข) ภาพถ่ายจากกล้อง SEM-BEI (กรด $\text{Na}_2\text{S}_2\text{O}_5$ 10g + HCl 50 ml ในน้ำกลั่น 100 ml)



รูปที่ 4.6 โครงสร้างจุลภาคในสภาพหล่อของเหล็กหล่อ 28wt%Cr ที่เติมหังสเทน 1wt% (W1)
(ก) ภาพถ่ายจากกล้อง OM (ข) ภาพถ่ายจากกล้อง SEM-BEI (กรด $\text{Na}_2\text{S}_2\text{O}_5$ 10g + HCl 50 ml ในน้ำกลั่น 100 ml)



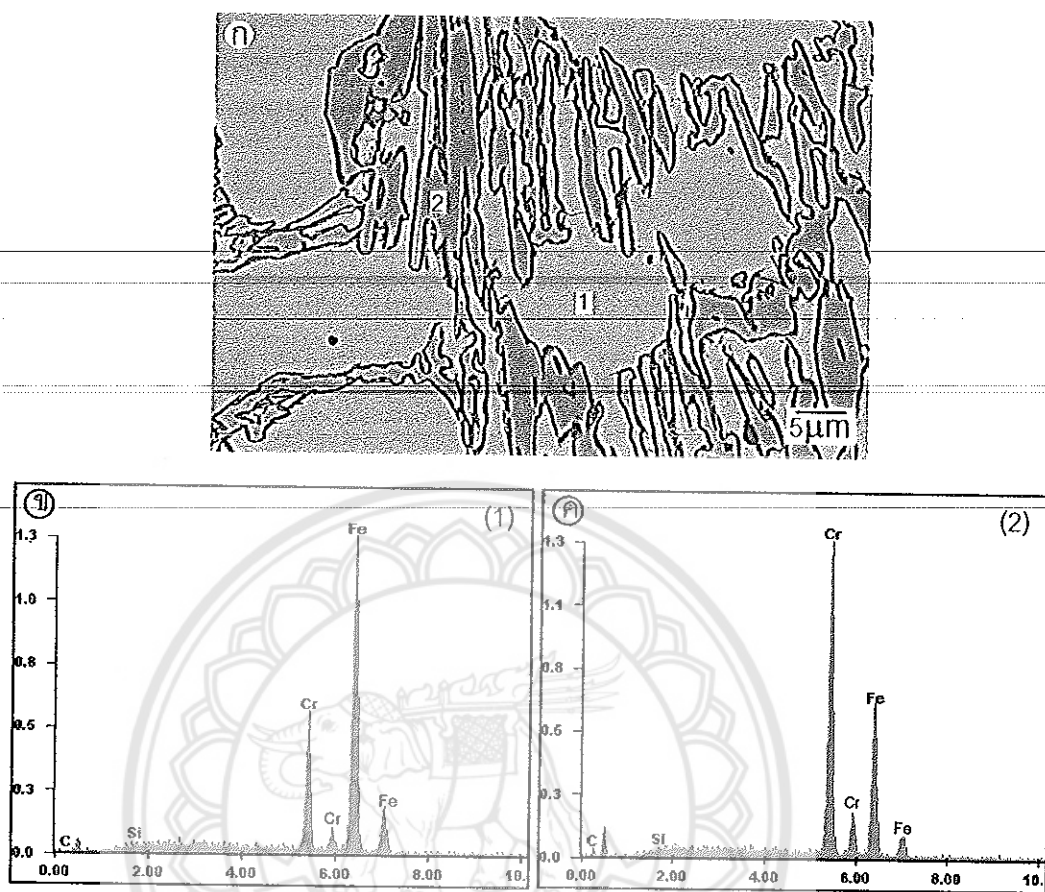
รูปที่ 4.7 โครงสร้างจุลภาคในสภาพหล่อของเหล็กหล่อ 28wt%Cr ที่เติมหังสเทน 4wt% (W4)
(ก) ภาพถ่ายจากกล้อง OM (ข) ภาพถ่ายจากกล้อง SEM-BEI (กรด Na₂S₂O₅ 10g + HCl 50 ml ใน
น้ำกลั่น 100 ml)



รูปที่ 4.8 โครงสร้างจุลภาคในสภาพหล่อของเหล็กหล่อ 28wt%Cr ที่เติมพังสเทน 10wt% (W10)
 (ก) ภาพถ่ายจากกล้อง OM (ข) ภาพถ่ายจากกล้อง SEM-BEI (กรด $\text{Na}_2\text{S}_2\text{O}_5$ 10g + HCl 50 ml ในน้ำกลั่น 100 ml)

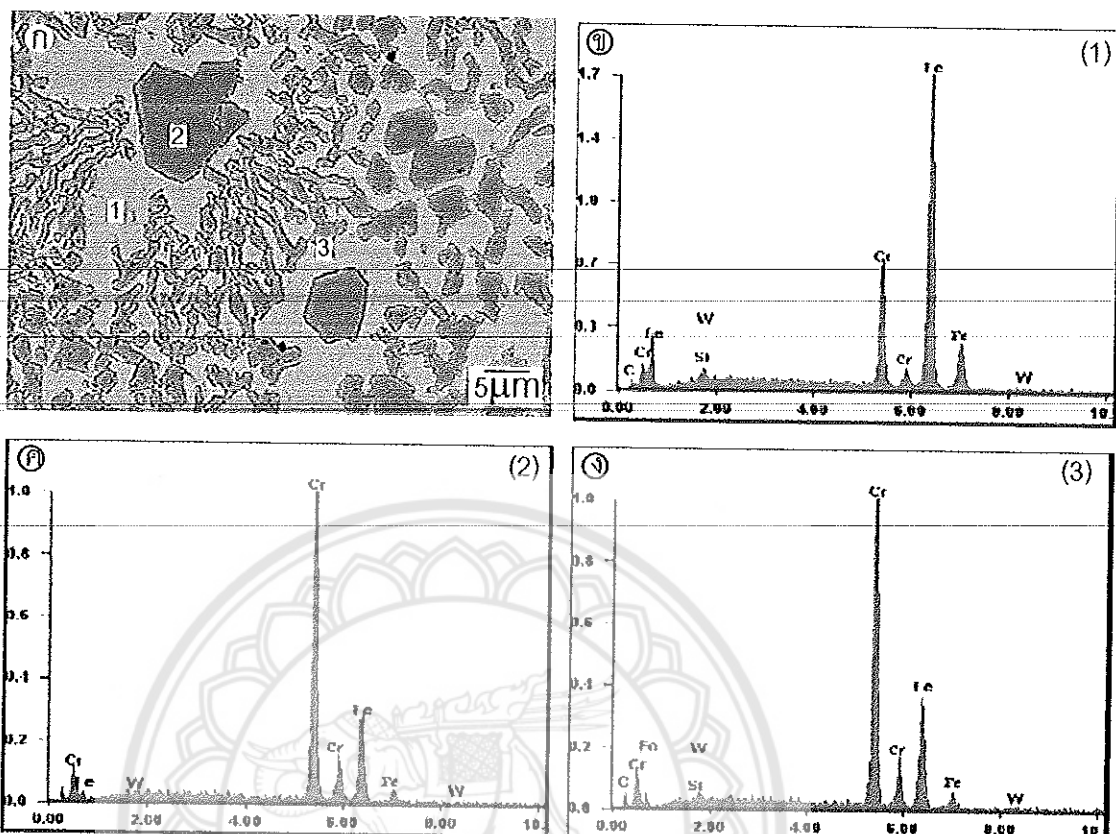
จากการวิเคราะห์การกระจายตัวของธาตุด้วยการวัดการกระจายพลังงานของรังสีเอกซ์ (EDS) แบบจุด ในเหล็กหล่อที่ไม่เติมทั้งสแตน (R) พบว่าบริเวณเมทริกซ์จะมีปริมาณธาตุเหล็กสูง ส่วนคาร์ไบด์ M_7C_3 จะพบธาตุโคโรเมียมและคาร์บอนในปริมาณสูง ดังรูป 4.9 ส่วนในเหล็กหล่อ W1 พบว่าทั้งสแตนจะละลายอยู่ทั้งในแมทริกซ์ คาร์ไบด์ปฐมภูมิและคาร์ไบเดร์ยูเทกติก M_7C_3 ดังรูป 4.10 ส่วนในเหล็กหล่อ W4 พบว่าในแมทริกซ์และคาร์ไบเดร์ยูเทกติก M_7C_3 และ M_6C มีปริมาณทั้งสแตนเพิ่มมากขึ้น ดังรูป 4.11 โดยคาร์ไบด์ M_6C มีปริมาณทั้งสแตนสูงกว่า M_7C_3 ทำให้มีภาพถ่ายในโนมด Backscattered electron image (BEI) มีค่อนตราสารที่ส่วนมากกว่า M_7C_3 เนื่องจากทั้งสแตนมีเลขอะตอมเท่ากับ 74 ซึ่งสูงกว่าเหล็กและโคโรเมียมที่มีค่าเท่ากับ 26 และ 24 ตามลำดับ ส่วนในเหล็กหล่อ W10 พบว่าทั้งสแตนจะละลายในคาร์ไบด์ M_6C มากที่สุด รองลงมาคือคาร์ไบด์ $M_{23}C_6$ และ M_7C_3 ตามลำดับ ดังรูป 4.12 จากค่อนตราสารที่แตกต่างกัน ทำให้สามารถแยกแยะชนิดของคาร์ไบด์ได้ โดยคาร์ไบด์ M_6C มีค่อนตราสารที่ส่วนมากที่สุด รองลงมาคือคาร์ไบด์ $M_{23}C_6$ ที่มีลักษณะคล้ายก้างปลา และคาร์ไบด์ M_7C_3 ที่มีค่อนตราสารที่ต่ำหรือสีเข้มที่สุด

จากการกัดกรดแบบลึก (Deep etching) ด้วยสารละลายกรด HCl 100 ml + CH_3OH 100 ml จะทำให้เมทริกซ์ของอสแตนในตัวหลุดออก ทำให้เห็นลักษณะของคาร์ไบด์ใน 3 มิติ ดังรูป 4.13-4.16 โดยในเหล็กหล่อที่ไม่เติมทั้งสแตน (R) คาร์ไบเดร์ยูเทกติก M_7C_3 มีลักษณะเป็นแผ่นยาว (Plate) มีพื้นที่หน้าตัดเป็นรูปหอกเหลี่ยม ส่วนเหล็กหล่อ W1, W4 และ W10 ที่มีการเติมทั้งสแตนจะเห็นลักษณะของคาร์ไบด์ปฐมภูมิที่มีขนาดใหญ่และคาร์ไบด์ยูเทกติก นอกจากนี้จะเห็นว่าการเติมทั้งสแตนในปริมาณ 1-4wt% จะทำให้คาร์ไบเดร์ยูเทกติกมีขนาดใหญ่ขึ้นและมีระยะห่างระหว่างคาร์ไบด์เพิ่มขึ้น แต่เมื่อเติมทั้งสแตน 10wt% คาร์ไบด์จะมีขนาดเล็กลงและมีปริมาณเพิ่มขึ้น ทำให้เหล็กหล่อ W10 มีเศษส่วนโดยพื้นที่ (Area fraction) ของคาร์ไบด์ปฐมภูมิและคาร์ไบเดร์ยูเทกติกมากที่สุด เมื่อเปรียบเทียบกับเหล็กหล่อ R, W1 และ W4 เนื่องจากทั้งสแตนเป็นธาตุที่มักจะรวมตัวกับคาร์บอนเกิดเป็นคาร์ไบด์ได้ง่าย (Carbide forming element) ดังนั้นมีปริมาณทั้งสแตนเพิ่มขึ้นจึงส่งผลให้คาร์ไบด์ในโครงสร้างเพิ่มขึ้น



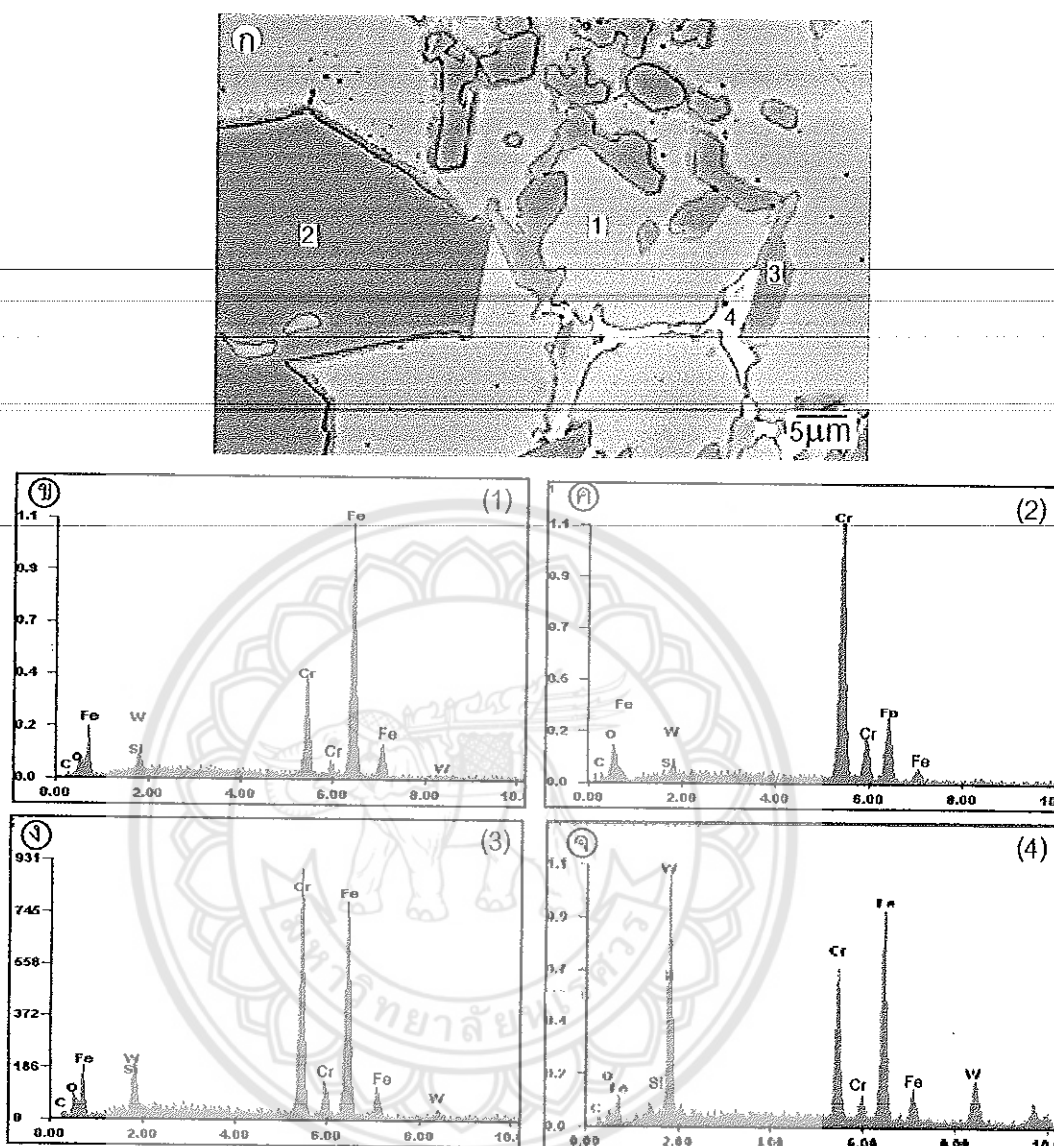
Ⓐ บริเวณ	ส่วนผสมทางเคมี (wt% / at%)			
	Fe	Cr	C	Si
เมท里กซ์ (1)	78.50/75.57	19.51/20.10	0.52/2.31	0.61/1.16
คาร์บิดยูเทกติก M_7C_3 (2)	34.93/31.01	62.10/59.26	2.16/8.91	0.45/0.60

รูปที่ 4.9 การวิเคราะห์ปริมาณธาตุด้วยอีดีเอกซ์ของเหล็กหล่อ 28wt%Cr ที่ไม่เติมหงส์เตน (R) ในสภาพหล่อ (ก) ภาพถ่าย BEI (ข-ค) สเปกตรัมของธาตุ (ง) ผลการวิเคราะห์



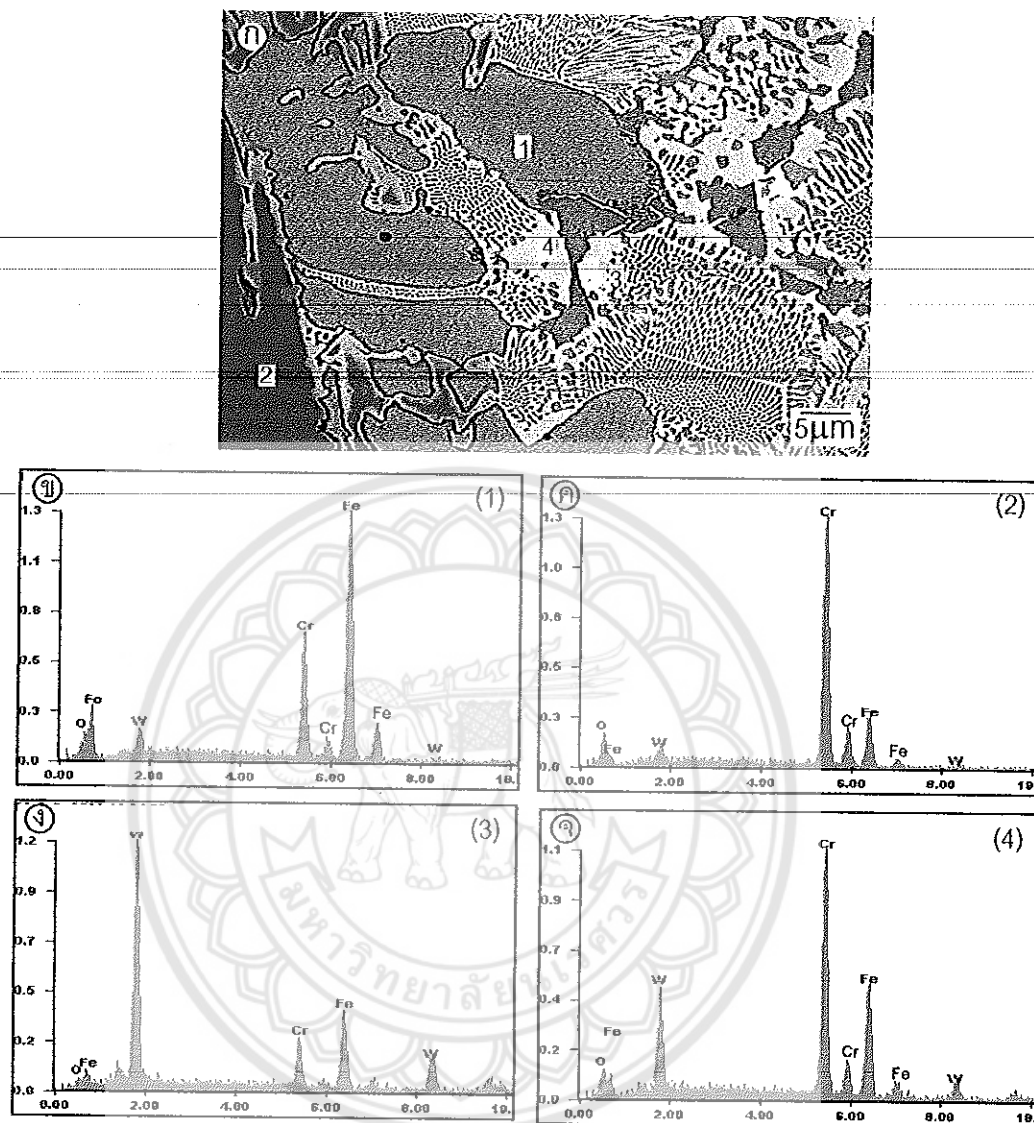
บริเวณ	ส่วนผสมทางเคมี (wt% / at.%)				
	Fe	Cr	C	Si	W
เมทริกซ์ (1)	73.65/60.88	16.39/14.55	03.73/14.34	01.15/01.89	02.39/00.60
คาร์บไนด์ปูรุณภูมิ M_7C_3 (2)	25.85/18.41	58.88/45.05	07.38/24.46	00.57/00.81	03.05/00.66
คาร์บไนด์ยูเทกติก M_7C_3 (3)	29.21/20.48	56.49/42.54	07.83/25.53	00.72/01.01	01.62/00.35

รูปที่ 4.10 การวิเคราะห์ปริมาณธาตุด้วยอีดีเอชของเหล็กหล่อ 28wt%Cr ที่เติมหั่งสเตน 1wt% (W1) ในสภาพหล่อ (ก) ภาพถ่าย BEI (ข-ง) สเปกตรัมของธาตุ (จ) ผลการวิเคราะห์



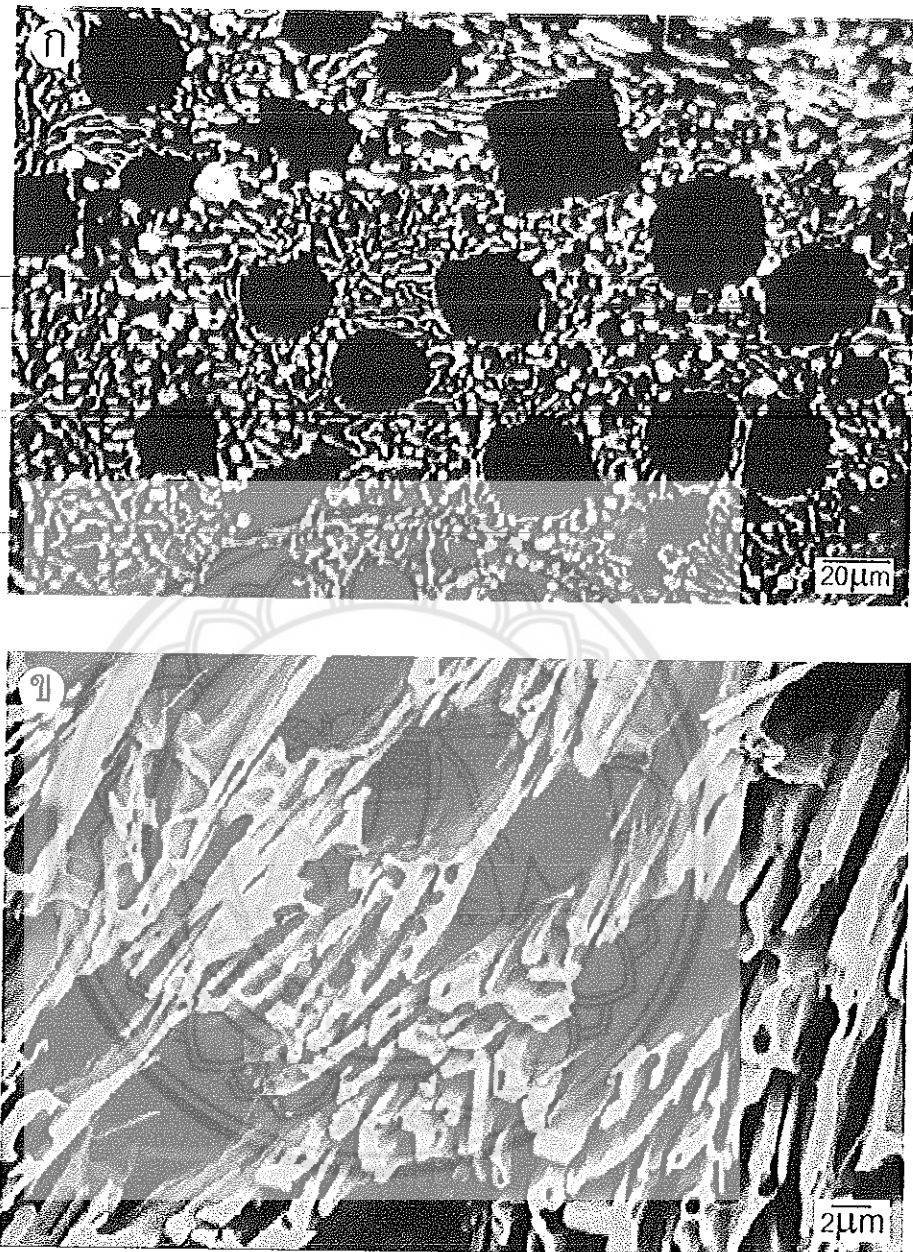
บริเวณ	ส่วนผสมทางเคมี (wt%/at.%)				
	Fe	Cr	C	Si	W
เมทริกซ์ (1)	73.52/64.92	17.33/16.44	01.44/05.92	01.14/02.00	03.37/00.91
คาร์บิดปูร์มภูมิ M_7C_3 (2)	22.60/16.16	62.17/47.76	05.69/18.91	00.39/00.56	02.74/00.06
คาร์บิดยูเทกติก M_7C_3 (3)	24.55/17.95	58.80/46.18	05.53/18.79	00.79/01.14	04.49/01.00
คาร์บิดยูเทกติก M_6C (4)	37.67/40.26	17.79/20.42	02.13/10.58	02.74/05.82	36.72/11.92

รูปที่ 4.11 การวิเคราะห์ปริมาณธาตุด้วยอีดีเออของเหล็กหล่อ 28wt%Cr ที่เติมหังสแตน 4wt% (W4) ในสภาพหล่อ (ก) ภาพถ่าย BEI (ข-จ) สเปกตรัมของธาตุ (ฉ) ผลการวิเคราะห์

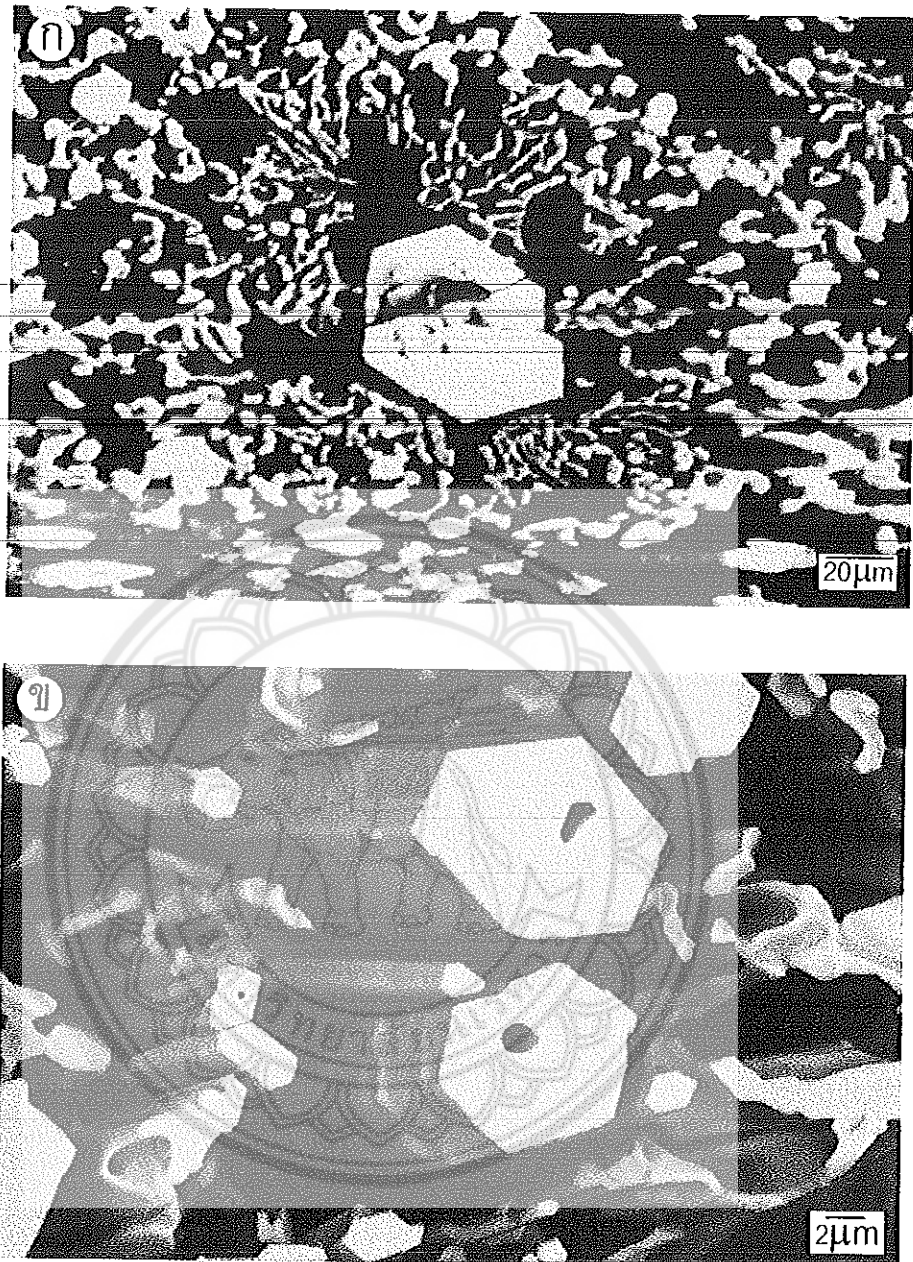


บริเวณ	ส่วนผสมทางเคมี (wt% / at.%)				
	Fe	Cr	C	Si	W
เมทริกซ์ (1)	69.76/65.15	20.02/20.09	04.65/11.45	01.02/01.24	06.22/01.76
คาร์ไบด์ปูรื้มภูมิ M_7C_3 (2)	19.66/16.90	67.11/61.96	05.69/18.91	01.10/01.60	06.77/01.77
คาร์ไบด์ยูเทกติก M_6C (3)	21.60/34.52	10.79/18.52	03.08/14.71	01.05/01.16	64.83/31.46
คาร์ไบด์ $M_{23}C_6$ (4)	28.76/29.20	41.35/45.09	04.31/16.26	01.06/01.17	24.78/07.64

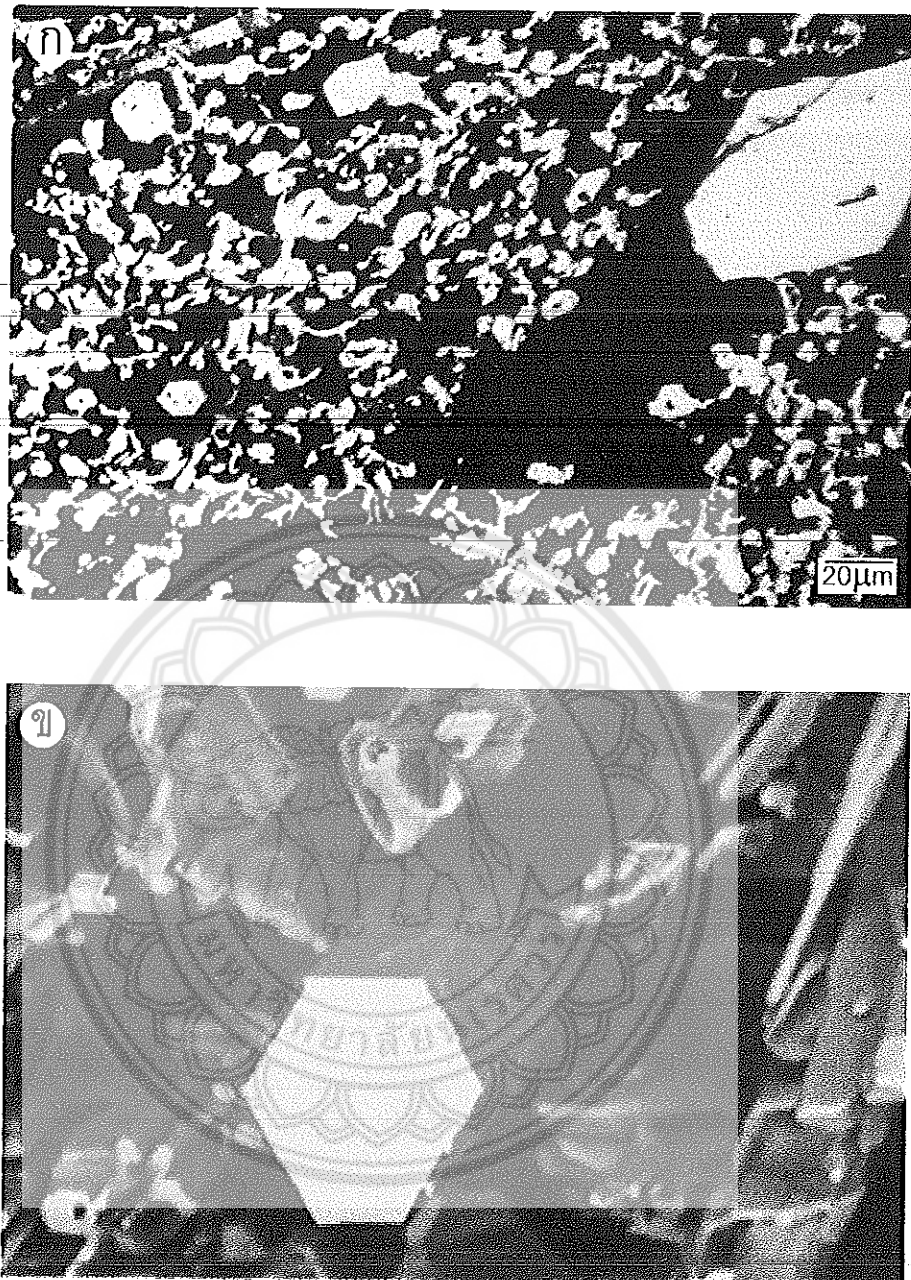
รูปที่ 4.12 การวิเคราะห์ปริมาณธาตุด้วยอีดีอีสของเหล็กหล่อ 28wt%Cr ที่เติมทั้งสูตร 10wt% (W10) ในสภาพหล่อ (ก) ภาพถ่าย BEI (ข-จ) สเปกตรัมของธาตุ (ฉ) ผลการวิเคราะห์



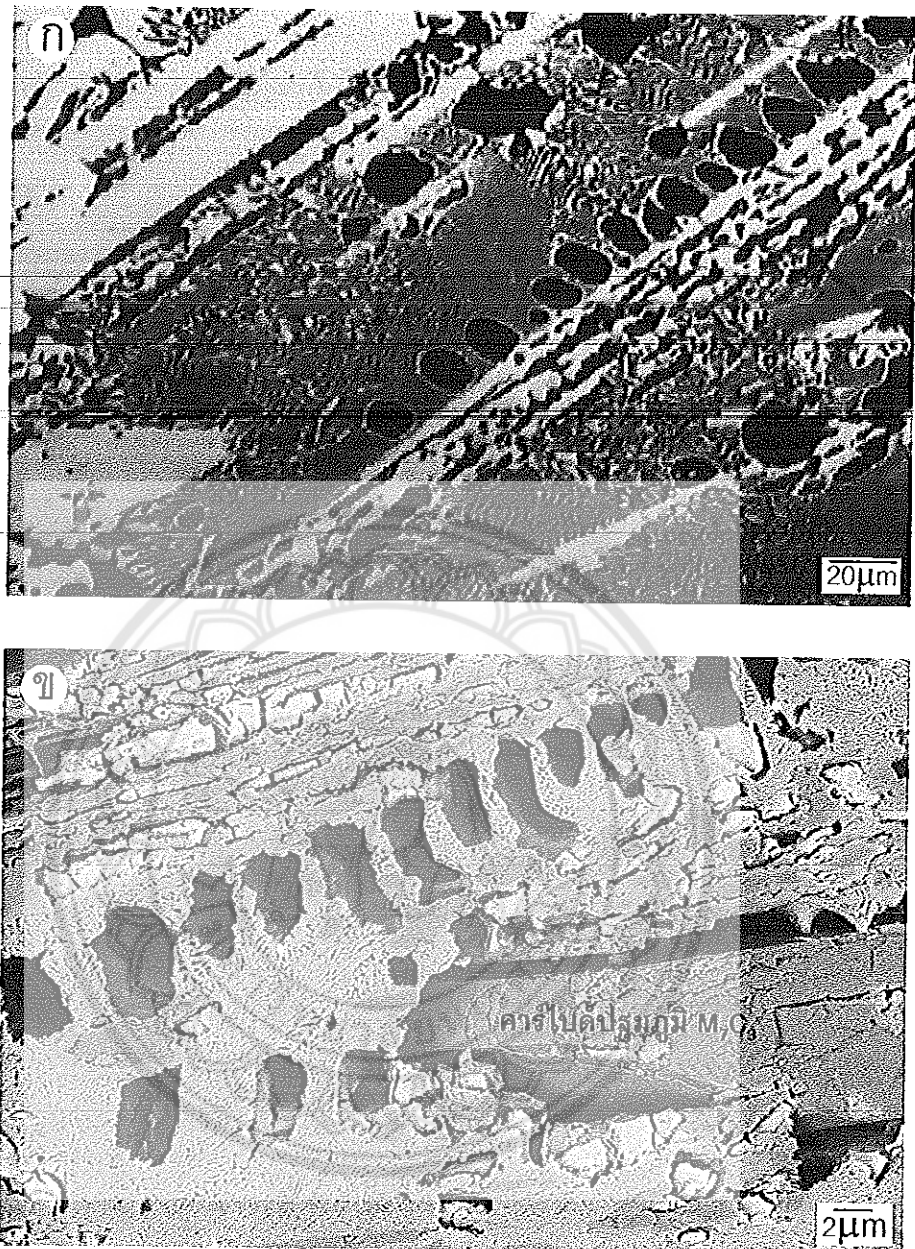
รูปที่ 4.13 ลักษณะของการใบด้วยเทกติก ในสภาพหล่อของเหล็กหล่อ 28wt%Cr ที่ไม่เติมหั่งสแตน (R)
หลังการกัดกรดแบบลึก (Deep etch) (g) ภาพถ่ายจากกล้อง OM (h) ภาพถ่ายจากกล้อง SEM-BEI



รูปที่ 4.14. ลักษณะของการใบดีป്രูมภูมิและคาร์ไบด์ยูเทกติกในสภาพหล่อของเหล็กหล่อ 28wt%Cr ที่เติมทั้งสแตน 1wt% (W1) หลังการกัดกรดแบบลึก(Deep etch) (g) ภาพถ่ายจากกล้อง OM (h) ภาพถ่ายจากกล้อง SEM-BEI



รูปที่ 4.15. ลักษณะของการไปร์ปัตมภูมิและการไปร์ยูเทกติกในสภาพห่อของเหล็กหล่อ 28wt%Cr ที่เติมทั้งสแตน 4wt% (W4) หลังการกัดกรดแบบลึก (Deep etch) (g) ภาพถ่ายจากกล้อง OM (h) ภาพถ่ายจากกล้อง SEM-BEI



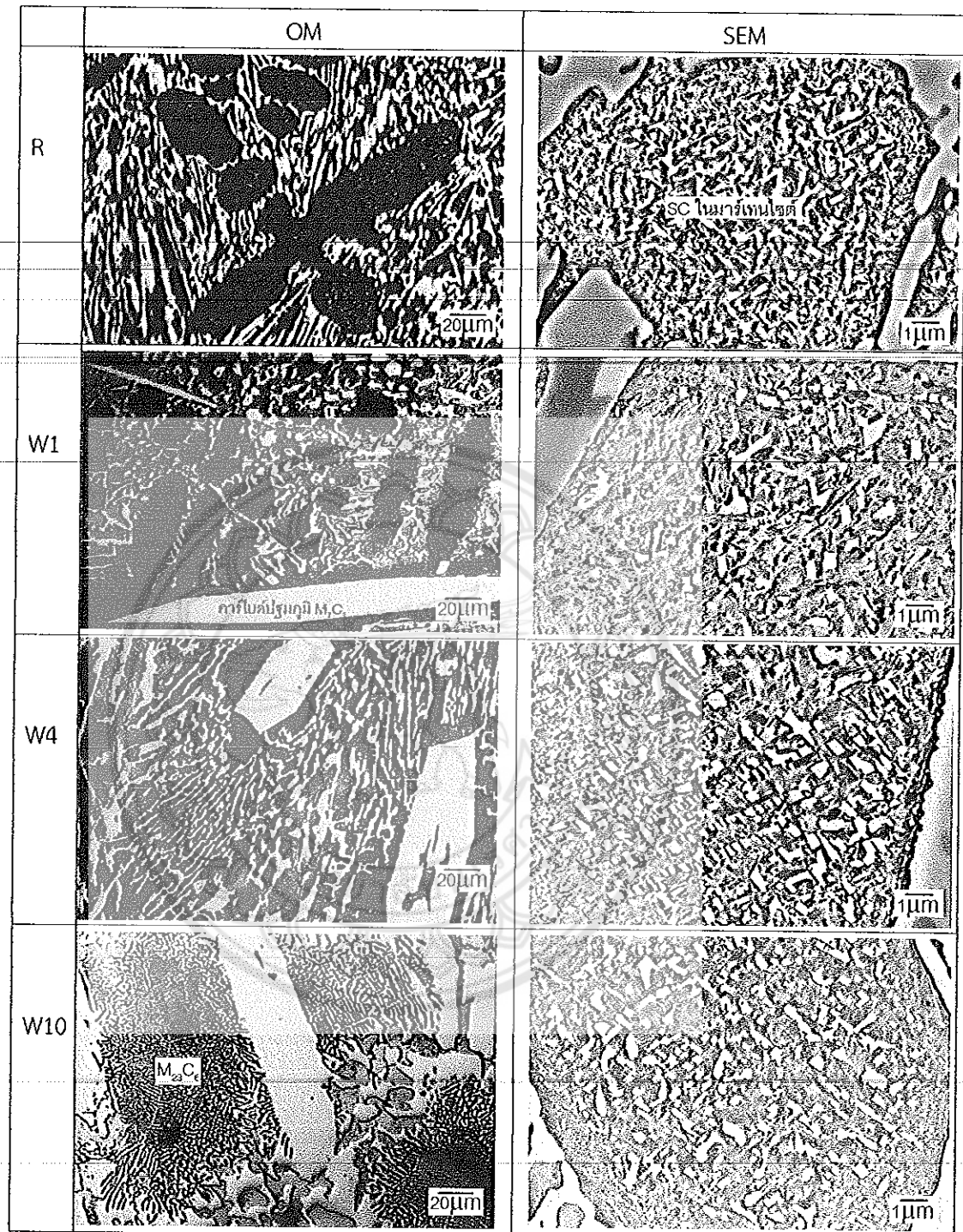
รูปที่ 4.16 ลักษณะของคาร์ไบด์ปูมภูมิและคาร์ไบด์ยูเทกติกในสภาพหล่อของเหล็กหล่อ 28wt%Cr ที่เติมหั่งสแตน 10wt% (W10) หลังการกัดกรดแบบลึก (Deep etch) (g) ภาพถ่ายจากกล้อง OM (h) ภาพถ่ายจากกล้อง SEM-BEI

4.2.2 โครงสร้างจุลภาคหลังกระบวนการทางความร้อน การอบดีสเทบีโลเซชัน

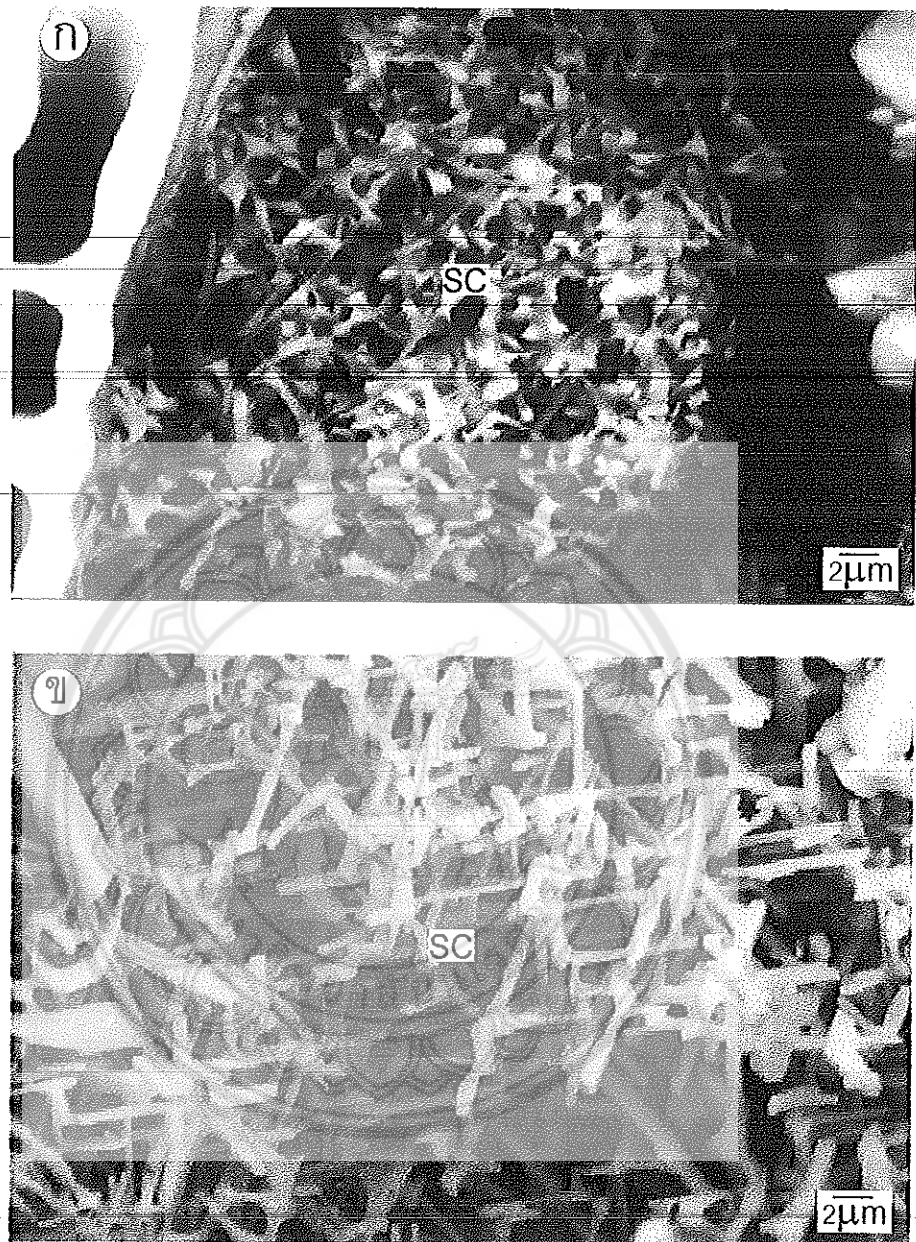
หลังการอบดีสเทบีโลเซชันที่อุณหภูมิ 1050°C เป็นเวลา 4 ชั่วโมง พบว่าโครงสร้างจุลภาคของเหล็กหล่อ 28wt%Cr ที่ไม่เติมทั้งสแตน (R) และที่เติมทั้งสแตน 1wt% (W1), 4wt% (W4) และ 10wt% (W10) ประกอบด้วยคาร์ไบด์ทุติยภูมิ (Secondary carbide, SC) ตกตะกอนในเดนไดร์ทของอสเทนในตัวที่เปลี่ยนเป็นมาร์เกนไซด์ ดังรูป 4.17 โดยในระหว่างการอบดีสเทบีโลเซชันจะทำให้ธาตุโครงเมียมและการบอนที่ละลายอยู่ในเมทริกซ์ของอสเทนในตัวรวมตัวกันเป็นคาร์ไบด์ทุติยภูมิ ทำให้ปริมาณการบอนและโครงเมียมในอสเทนในตัวลดลง ส่งผลให้อุณหภูมิของการเกิดมาร์เกนไซด์ที่อุณหภูมิต่ำกว่า 0°C เลื่อนขึ้นมาที่อุณหภูมิท้อง ทำให้อสเทนในสามารถเปลี่ยนเป็นมาร์เกนไซด์ในระหว่างเย็นตัวในอากาศ [1-2, 24]

นอกจากนี้จะเห็นว่าคาร์ไบด์ทุติยภูมิที่ตกตะกอนในบริเวณใกล้กับคาร์ไบด์ยูเทกติกจะมีขนาดเล็กและมีปริมาณมากกว่าบริเวณกลางเดนไดร์ท-เนื่องจากในระหว่างการแข็งตัวของอสเทนในตัวโครงเมียมและการบอนจะถูกผลักออกจากเกรนทำให้ปริมาณโครงเมียมและการบอนบริเวณกลางเดนไดร์ทที่กว้างกว่าบริเวณขอบเกรน จึงเกิดนิวเคลียสของคาร์ไบด์ทุติยภูมิในปริมาณน้อยและเมื่อโตขึ้นจึงมีขนาดใหญ่ (Wiengtmoon และคณะ, 2005) จากการกัดกรดแบบลีกจะสามารถเห็นลักษณะของคาร์ไบด์ทุติยภูมิใน 3 มิติ ดังรูป 4.18 โดยคาร์ไบด์ทุติยภูมิมีลักษณะเป็นแท่ง (Rod) ขนาดเล็กเชื่อมต่อกันเป็นตาข่าย (Network) ซึ่งควรไว้ด้วยภูมิน้ำจะเป็นชนิด M_{23}C_6 ซึ่งสอดคล้องกับผล XRD ที่พบค่าเป็น M_{23}C_6 หลังการอบดีสเทบีโลเซชัน

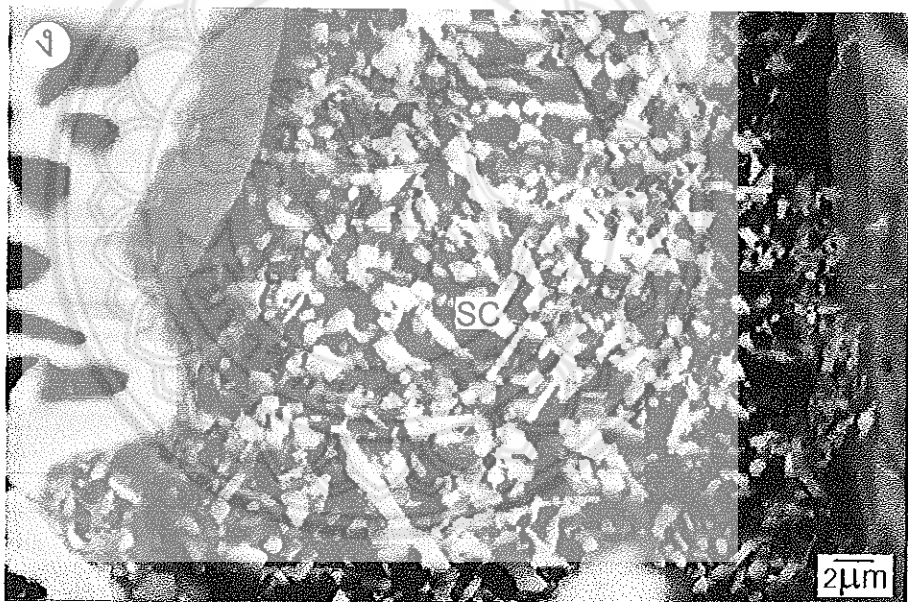
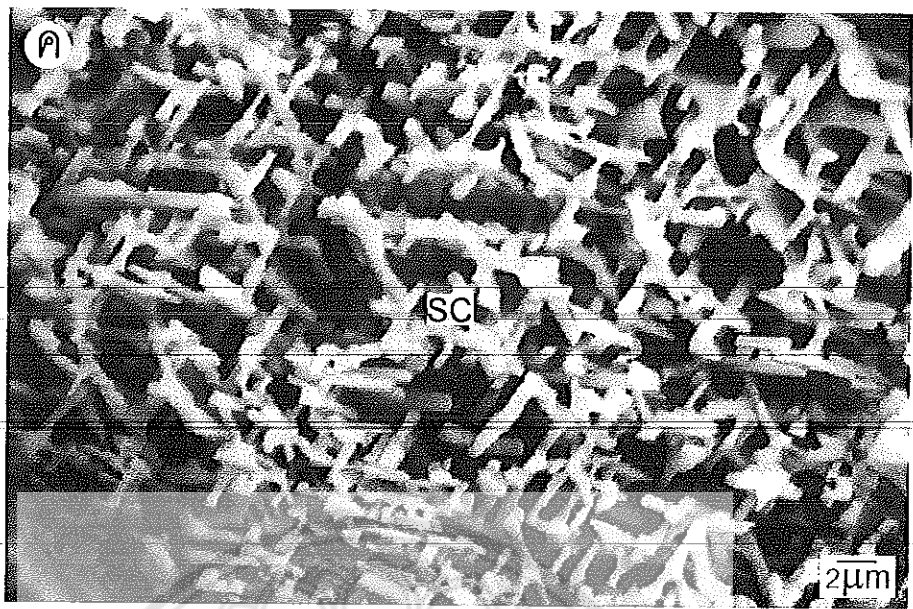
การเติมทั้งสแตนในเหล็กหล่อ 28wt%Cr ทำให้ปริมาณของคาร์ไบด์ทุติยภูมิมีปริมาณเพิ่มขึ้นซึ่งสอดคล้องกับงานวิจัยก่อนหน้านี้ [24] นอกจากนี้ยังพบว่าเมื่อปริมาณทั้งสแตนเพิ่มขึ้นจะทำให้คาร์ไบด์ทุติยภูมิมีขนาดเล็กลงและเศษส่วนโดยพื้นที่เพิ่มมากขึ้น ซึ่งจะเห็นได้ หลังการกัดกรดแบบลีกเมื่อจากทั้งสแตนที่ละลายอยู่ในเมทริกซ์จำนวนมากจะรวมตัวกับ Fe, Cr และ C เป็นคาร์ไบด์ทุติยภูมิ



รูปที่ 4.17 ภาพถ่ายจากกล้อง OM และ SEM แสดงการแตกตะกอนของการรีบด์ทุติยภูมิ (SC) ในมาร์เกนไชร์ (α') หลังการอบดีสเทบิลайเซชันของเหล็กหล่อ 28wt%Cr ที่ไม่เติมทั้งสแตน (R) และเติมทั้งสแตน 1wt% (W1), 4wt% (W4) และ 10wt% (W10)



รูปที่ 4.18. ภาพถ่ายจากกล้อง SEM-BEI แสดงโครงสร้างจุลภาคหลังการอบตีสเตบ์ໄไลเซชัน แสดงลักษณะของการใบต์ทุติยภูมิ หลังการกัดกรดแบบลึก (Deep etch) (ก) เหล็กหล่อ R (ห) W1 (ค) W4 (ง) W10



รูปที่ 4.18 (ต่อ)

ดีสเตบิไลเซชันและเทมเปอร์ริ่ง

หลังการอบดีสเตบิไลเซชันและเทมเปอร์ริ่งที่อุณหภูมิ 450°C เป็นเวลา 2, 4 และ 6 ชั่วโมง พบว่าคาร์บีดทุติยภูมิที่ตกตะกอนในเดนไครท์ของมาร์เทนไซต์มีปริมาณเพิ่มขึ้นเมื่อเทียบกับหลังการอบดีสเตบิไลเซชันอย่างเดียว เมื่อเวลาในการอบเทมเปอร์ริ่งนานขึ้น คาร์บีดที่ตกตะกอนจะมีปริมาณเพิ่มขึ้น ดังรูป 4.19-4.20 โดยคาร์บีดที่ตกตะกอนในเดนไครท์ประกอบด้วยคาร์บีดทุติยภูมิที่เกิดขึ้นระหว่างการอบดีสเตบิไลเซชันและโตขึ้นในระหว่างการอบเทมเปอร์ริ่ง รวมทั้งเทมเปอร์คาร์บีด (Tempered carbide) ที่เกิดขึ้นในช่วงของการทำเทมเปอร์ริ่งซึ่งจะมีขนาดเล็กกว่าคาร์บีดทุติยภูมิ

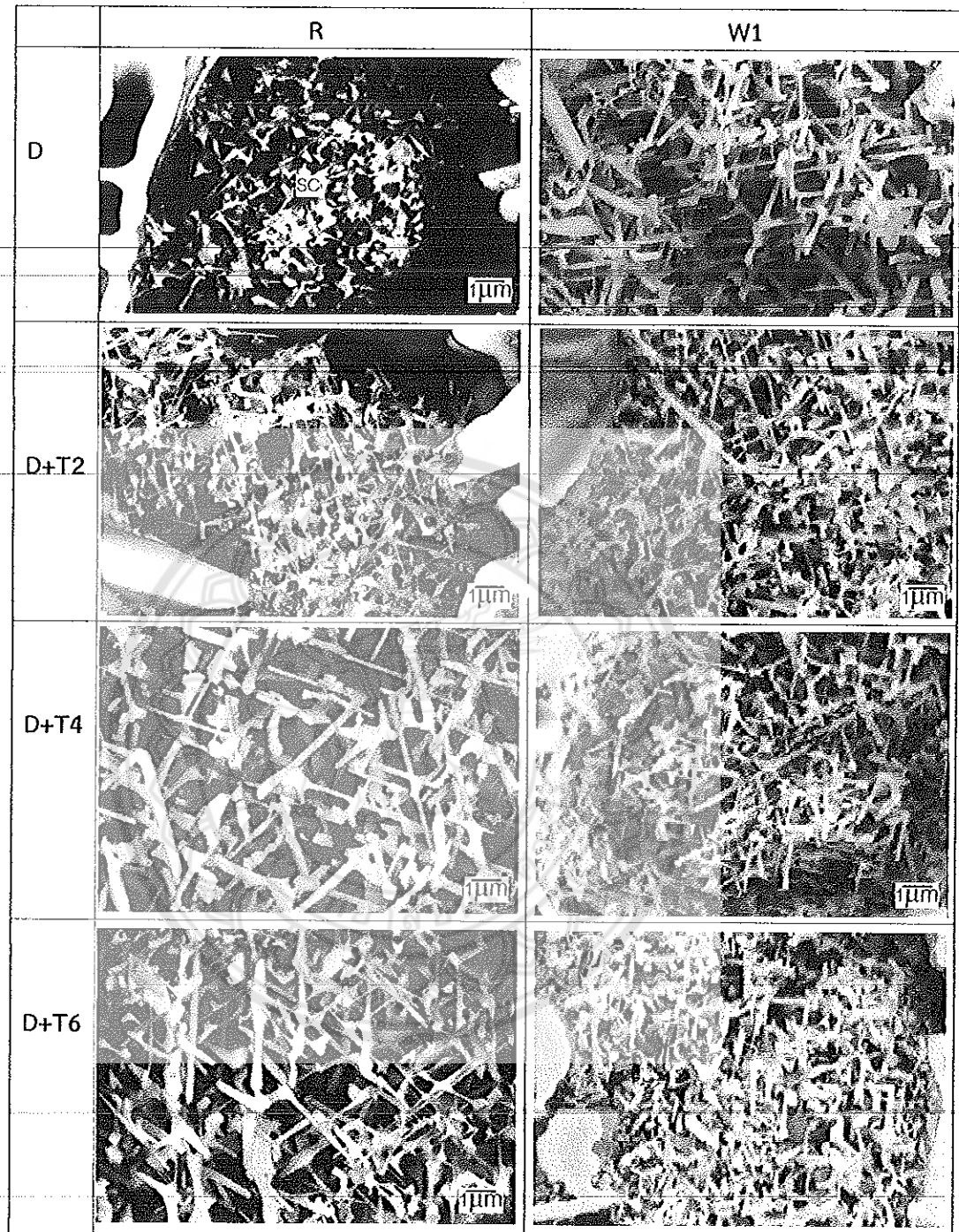
เมื่อพิจารณาเหล็กหล่อที่ไม่เติมทังสเทน (R) กับเหล็กหล่อที่เติมทังสเทน (W1, W4, W10) จะเห็นว่าหลังการอบเทมเปอร์ริ่งในเหล็กหล่อที่เติมทังสเทนจะมีการตกตะกอนมากกว่า นอกจากนี้ยังพบว่าเมื่อปริมาณทังสเทนเพิ่มขึ้นจาก 1wt% เป็น 10wt% ปริมาณเทมเปอร์คาร์บีด มีแนวโน้มเพิ่มขึ้น ซึ่งจะสังเกตได้จากการมีคาร์บีดขนาดเล็ก ๆ จำนวนมากหลังการทำเทมเปอร์ริ่ง เนื่องจากในระหว่างการทำเทมเปอร์ริ่งธาตุ W, Fe, Cr, C ที่ละลายในแมทริกซ์ของมาร์เทนไซต์หรืออสเทนไนต์จะรวมตัวกันเป็นเทมเปอร์คาร์บีด จากผลการวิเคราะห์ด้วยอีดีเออสที่ได้กล่าวมาก่อนหน้านี้ ที่พบว่าในเหล็กหล่อ W10 จะมีปริมาณทังสเทนที่ละลายในแมทริกซ์ของอสเทนไนต์มากกว่าเหล็กหล่อ W1 และ W4 ส่งผลให้คาร์บีดที่ตกตะกอนมีปริมาณมากขึ้น

การเปลี่ยนเฟสของคาร์บีด

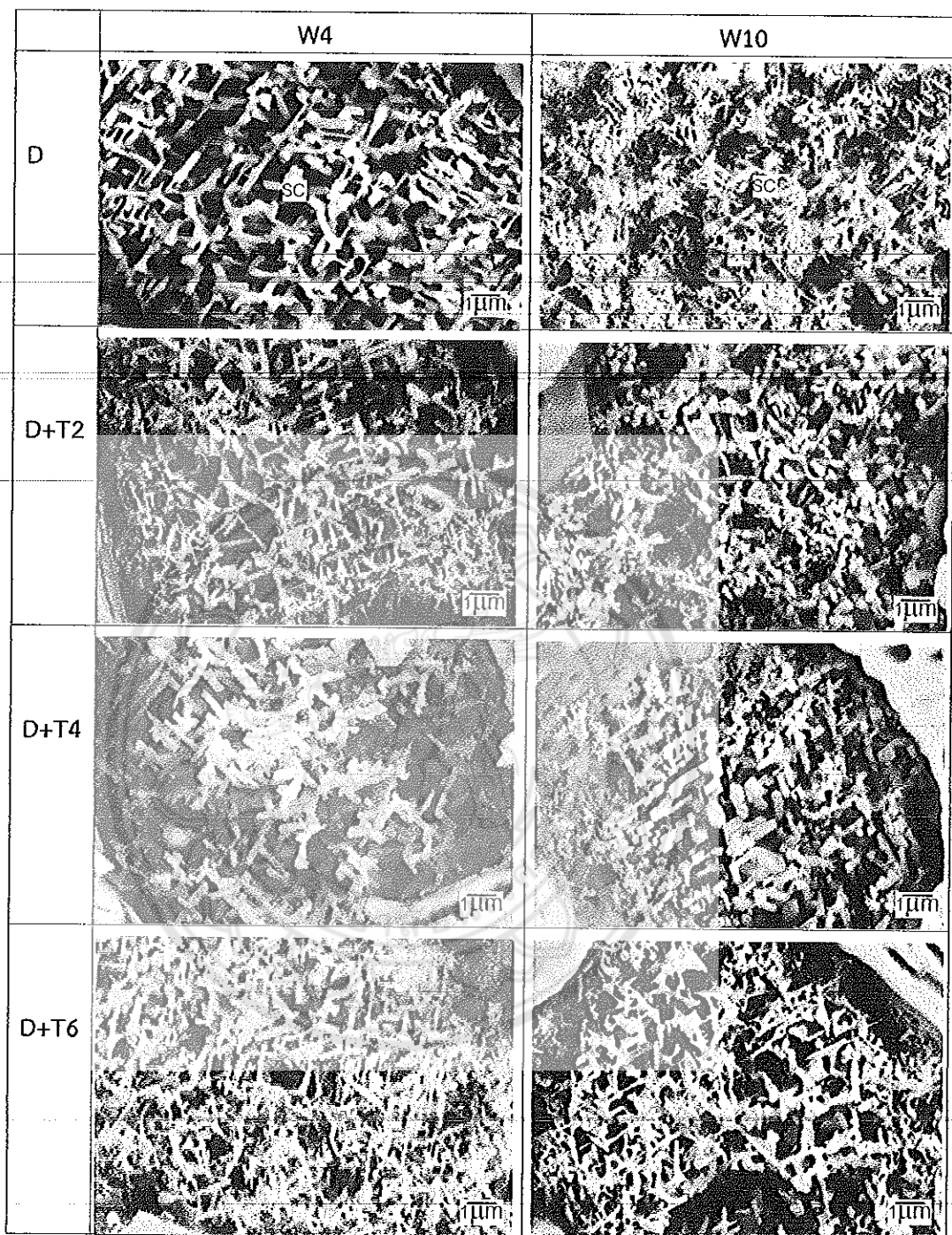
เหล็กหล่อ 28wt\%Cr ที่เติมทังสเทนเมื่อนำมาผ่านกรรมวิธีทางความร้อน นอกจากมีการตกตะกอนของคาร์บีดทุติยภูมิในแมทริกซ์ของมาร์เทนไซต์แล้ว ยังพบการเปลี่ยนเฟสของคาร์บีดปฐมภูมิและการบีบดึงของมาร์บีดยูเกกติก M_7C_3 อีกด้วย โดยสังเกตจากองค์ประกอบของคาร์บีดที่เปลี่ยนจากสีเข้มเป็นคอนตราสต์ที่สว่างกว่าบริเวณรอบ โดยในเหล็กหล่อ W1 จะมีการเปลี่ยนเฟสเพียงเล็กน้อย ในขณะที่เหล็กหล่อ W4 และ W10 ที่มีปริมาณทังสเทนสูงจะพบการเปลี่ยนเฟสมากขึ้น นอกจากนี้ยังพบว่าการเปลี่ยนเฟสมีแนวโน้มเพิ่มขึ้นเมื่อเวลาในการอบเทมเปอร์ริ่งนานขึ้น ดังแสดงในรูป 4.21-4.22

Wiengmoon และคณะ [3, 19] พยายการเปลี่ยนเฟสของคาร์บีดยูเกกติกในเหล็กหล่อ $30\text{wt\%Cr}-2.4\text{wt\%C}$ หลังการทำดีสเตบิไลเซชัน โดยพบว่าคาร์บีดยูเกกติก M_7C_3 เปลี่ยนเป็น $M_{23}C_6$ บริเวณรอบ ในลักษณะ Core-shell structure ที่มีแกนเป็น M_7C_3 และเปลือกเป็น $M_{23}C_6$ โดย Wiengmoon และคณะ ได้อธิบายว่าในระหว่างการอบดีสเตบิไลเซชัน ยูเกกติกคาร์บีด M_7C_3 ซึ่งไม่เสถียรที่อุณหภูมิสูงจะมีการเปลี่ยนเฟสเป็น $M_{23}C_6$ ที่มีความเสถียรที่อุณหภูมิสูงมากกว่า อย่างไรก็ตามในการทดลองครั้งนี้ไม่พบการเปลี่ยนเฟสของคาร์บีดยูเกกติกในเหล็กหล่อ 28wt\%Cr ที่ไม่เติมทังสเทน ทั้งนี้อาจจะเนื่องมาจากปริมาณโคโรเมียมในเหล็กหล่อมีปริมาณต่ำ

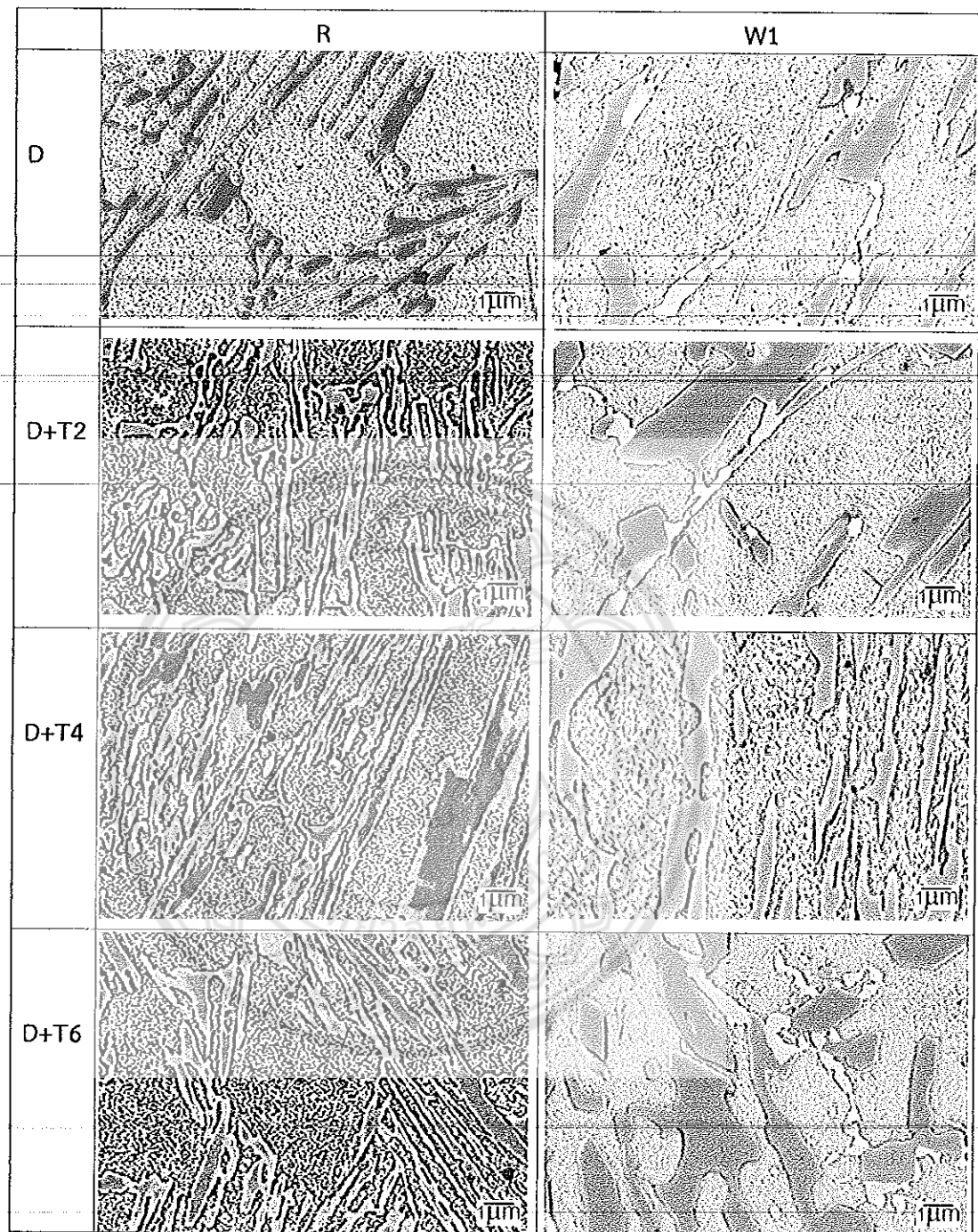
จากการวิเคราะห์ด้วยอีดีเออส ในดังรูป 4.23-4.24 พบว่าบริเวณแกนของคาร์บีดยูเกกติก (บริเวณที่ 2) จะมีธาตุโคโรเมียมในปริมาณสูง ส่วนบริเวณรอบ (บริเวณที่ 3) จะมีโคโรเมียมลดลง แต่มีธาตุเหล็กและทังสเทนเพิ่มขึ้น ส่งผลให้บริเวณรอบมีคอนตราสต์ที่สว่างกว่าบริเวณแกน



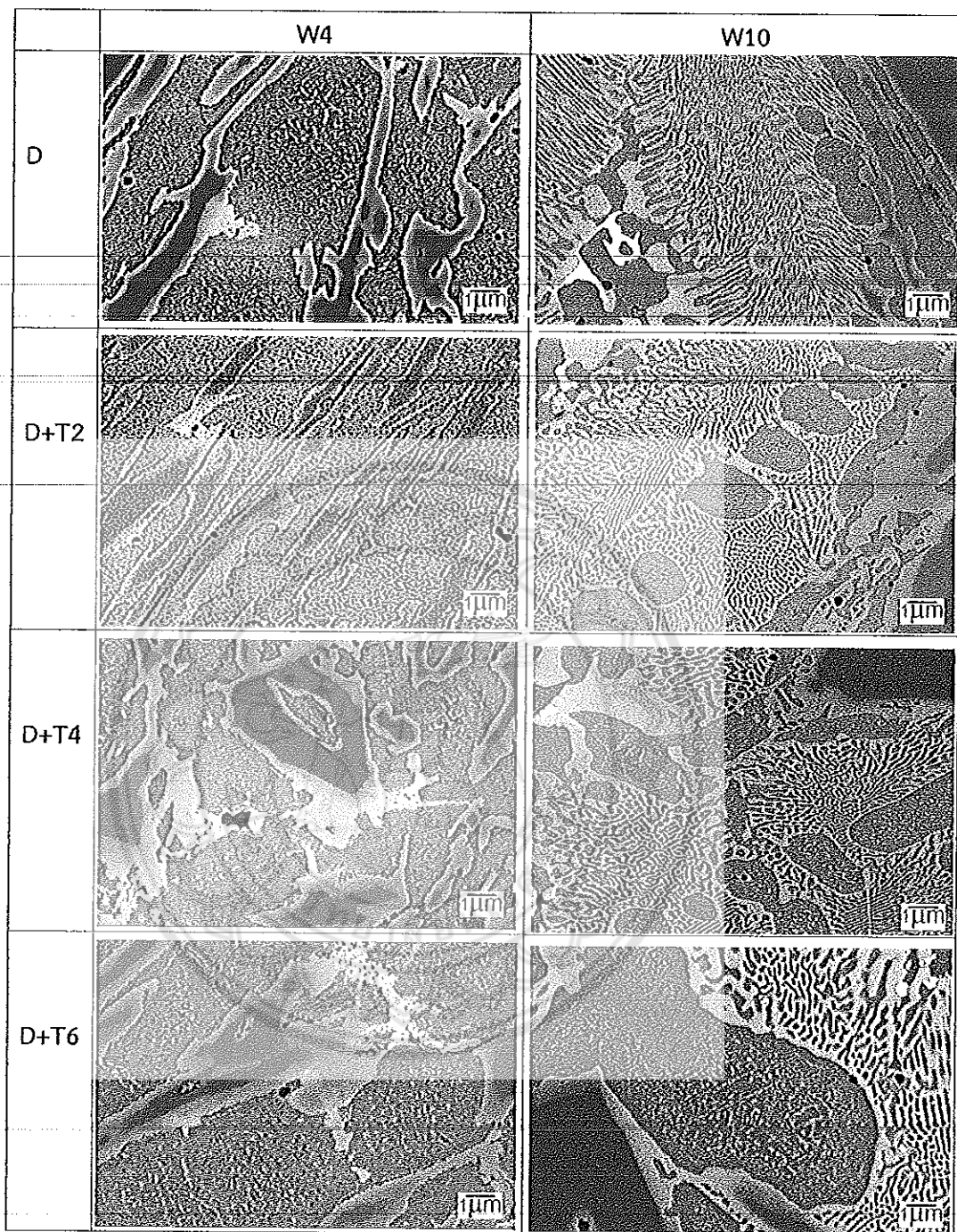
รูปที่ 4.19 ภาพถ่ายจากกล้อง SEM-BEI แสดงการตกตะกอนของการบีบด้วยภูมิ (SC) ในมาร์เทนไซต์หลังการอบดีสเทบีไลเซ็น (D) และหลังการอบดีสเทบีไลเซ็น + เทมเปอวิ่งเป็นเวลา 2, 4, 6 ชั่วโมง (D+T2, D+T4, D+T6) ของเหล็กหล่อ R และ W1



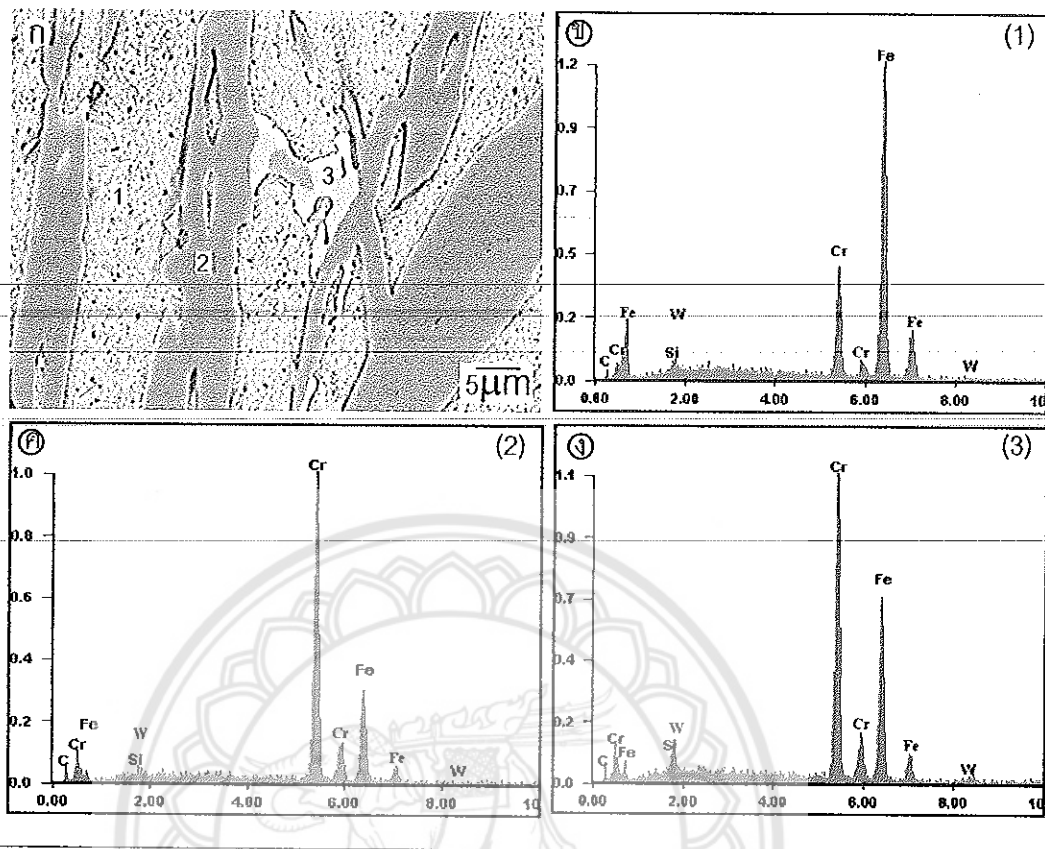
รูปที่ 4.20 ภาพถ่ายจากกล้อง SEM-BEI และการตกลงกันของการไปด้วยภูติภูมิ (SC) ในมาร์เทนไซต์หลังการอบดีสเตบีโลเซชัน (D) และหลังการอบดีสเตบีโลเซชัน + หม้อนปรุงเป็นเวลา 2, 4, 6 ชั่วโมง (D+T2, D+T4, D+T6) ของเหล็กกล่อ W4 และ W10



รูปที่ 4.21 ภาพถ่ายจากกล้อง SEM-BEI แสดงการเปลี่ยนเฟสของคาร์บอนเดย์เกติกของเหล็กหล่อ R และ W1 หลังการอบดีสเตบิไลเซชัน (D) และดีสเตบิไลเซชัน+เทมเปอร์ 2, 4, 6 ชั่วโมง (D+T2, D+T4, D+T6)

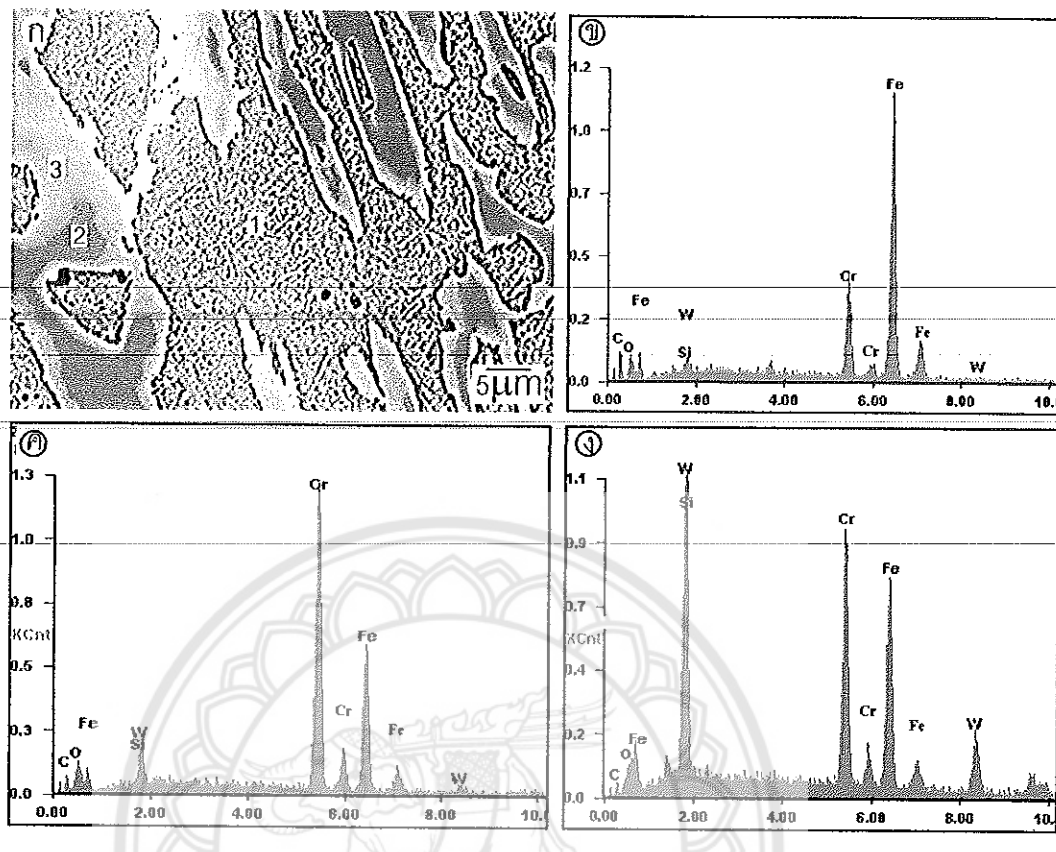


รูปที่ 4.22 ภาพถ่ายจากกล้อง SEM-BEI แสดงการเปลี่ยนเฟสของคาร์บอนเตติ้งของเหล็กหล่อ W4 และ W10 หลังการอบดีสเตบิไลเซชัน (D) และดีสเตบิไลเซชัน+เหมเปอริง 2, 4, 6 ชั่วโมง (D+T2, D+T4, D+T6)



บริเวณ	ส่วนผสมทางเคมี (wt%/at.%)				
	Fe	Cr	C	Si	W
เมทริกซ์ (1)	76.18/62.62	13.78/12.17	04.17/15.94	01.33/02.18	02.26/00.56
การรีบเดย์เก็ทติก M_7C_3 (2)	27.60/19.12	56.72/42.20	08.48/27.30	00.80/01.11	02.35/00.50
การรีบเดย์เก็ทติก M_7C_3 (3)	39.44/29.68	43.40/35.08	06.07/21.23	01.83/02.74	05.46/01.25

รูปที่ 4.23 การวิเคราะห์ปริมาณธาตุด้วยอีดีเอชของการรีบเดย์เก็ทติกที่มีการเปลี่ยนเฟสในเหล็กหล่อ W1 หลังการอบดีสเตบิลайเซชัน (ก) ภาพถ่าย BEI (ข-จ) สเปกตรัมของธาตุ (จ) ผลการวิเคราะห์



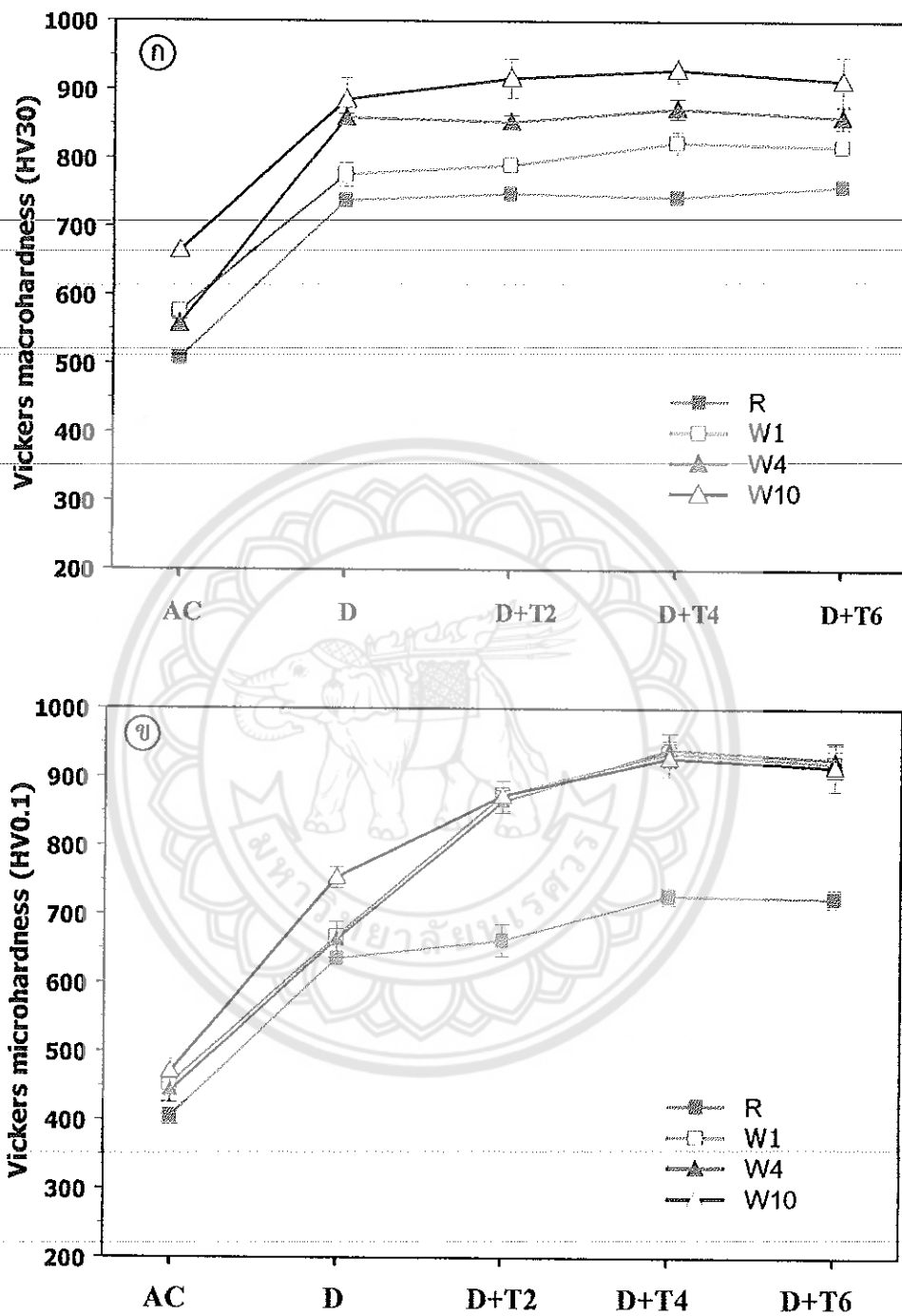
บริเวณ	ส่วนผสมทางเคมี (wt%/at.%)				
	Fe	Cr	C	Si	W
เมทริกซ์ (1)	67.42/51.94	17.34/14.35	05.38/19.26	01.24/01.91	04.33/01.01
การเป็นดยุเกติก M_7C_3 (2)	23.08/16.03	57.51/42.90	08.18/26.41	01.16/01.60	05.13/01.08
การเป็นดยุเกติก M_7C_3 (3)	22.93/16.09	58.61/44.17	06.53/21.31	01.00/01.39	04.35/00.93

รูปที่ 4.24 การวิเคราะห์ปริมาณธาตุด้วยอีดีเอสของคาร์บอนดยุเกติกที่มีการเปลี่ยนเฟสในเหล็กหล่อ W4 หลังการอบดีสเทบีโลเชชัน (ก) ภาพถ่าย BEI (ข-จ) สเปกตรัมของธาตุ (จ) ผลการวิเคราะห์

4.3 ผลของหั้งสแตนและกระบวนการทางความร้อนต่อความแข็ง

จากการทดสอบความแข็งมหภาคแบบวิกเกอร์ (Vickers macro-hardness) และความแข็งจุลภาคแบบวิกเกอร์ (Vickers micro-hardness) บริเวณเมทริกซ์ของเหล็กหล่อ 28wt%Cr ที่ไม่เติมหั้งสแตน (R), W1, W4 และ W10 ในสภาพหล่อ (AC) มีความแข็งมหภาคเฉลี่ยเท่ากับ 506, 576, 557 และ 664 HV30 ตามลำดับ ดังรูป 4.25(ก) และมีความแข็งจุลภาคเฉลี่ยเท่ากับ 403, 442, 452 และ 470 HV0.1 ตามลำดับ ดังรูป 4.25(ข) จากผลการทดลองจะเห็นว่าการเติมหั้งสแตนทำให้ความแข็งของเหล็กหล่อเพิ่มขึ้น ซึ่งเป็นผลมาจากการเปลี่ยนโครงสร้างจากไฮโปเมทิกเป็นไฮเปอร์ยูเทกติกที่ประกอบด้วยคาร์ไบด์ปูมภูมิ M_7C_3 ขนาดใหญ่และปริมาณคาร์ไบด์ยูเทกติกที่เพิ่มขึ้น รวมทั้งการเกิดคาร์ไบด์ M_6C และ $M_{23}C_6$ ที่มีความแข็งสูง อย่างไรก็ตามการเติมหั้งสแตนในปริมาณท่ากว่า 4wt% ความแข็งมหภาคเพิ่มขึ้นไม่มากนัก (ประมาณ 50 HV30) เมื่อเทียบกับเหล็กหล่อที่ไม่เติมหั้งสแตนเนื่องจากการเกิดคาร์ไบด์ M_6C ยังไม่นอกนัก ในขณะที่การเติมหั้งสแตนในปริมาณ 10wt% ความแข็งจะมีค่าสูงขึ้นประมาณ 150 HV30 ทั้งนี้เนื่องจากปริมาณของคาร์ไบด์ยูเทกติกชนิด- M_6C และ- $M_{23}C_6$ เพิ่มขึ้นมากเมื่อเทียบกับเหล็กหล่อ W1 และ W4 ส่วนความแข็งจุลภาคในเมทริกซ์มีค่าเพิ่มขึ้นเมื่อเติมหั้งสแตนเป็นผลมาจากการละลายของหั้งสแตนในลักษณะของสารละลายของแข็ง (Solid solution) เมื่อปริมาณหั้งสแตนเพิ่มขึ้น [17]

หลังการอบดีสเตบีไลเซชัน (D) พบว่าเหล็กหล่อ R, W1, W4 และ W10 มีความแข็งมหภาคเฉลี่ยเท่ากับ 738, 775, 859 และ 885 HV30 ตามลำดับ และความแข็งจุลภาคเฉลี่ยเท่ากับ 635, 662, 667 และ 753 HV0.1 ตามลำดับ การอบดีสเตบีไลเซชันทำให้ความแข็งเพิ่มขึ้นจากสภาพหล่อเนื่องจากการหักหักของคาร์ไบด์ทุติยภูมิและการเปลี่ยนเมทิกซ์จากอสเทนในตัวอ่อนเป็นมาร์เทนไซต์ที่แข็งกว่า ส่วนหลังการอบดีสเตบีไลเซชันและไหมเปอร์ริงเป็นเวลา 2 ชั่วโมง (D+T2) พบว่าเหล็กหล่อ R, W1, W4 และ W10 มีความแข็งมหภาคเฉลี่ยเท่ากับ 748, 790, 852 และ 917 HV30 ตามลำดับ และความแข็งจุลภาคเฉลี่ยเท่ากับ 662, 864, 874 และ 872 HV0.1 ตามลำดับ ส่วนที่ 4 ชั่วโมง (D+T4) มีความแข็งมหภาค 743, 823, 872 และ 929 HV30 ตามลำดับ และความแข็งจุลภาค 727, 940, 935 และ 927 HV0.1 ตามลำดับ ส่วนที่ 6 ชั่วโมง (D+T6) ความแข็งมหภาค 759, 817, 860 และ 915 HV30 ตามลำดับ และความแข็งจุลภาค 723, 926, 920 และ 915 HV0.1 ตามลำดับ จากผลการทดลองจะเห็นว่าหลังการอบดีสเตบีไลเซชันและไหมเปอร์ริงเป็นเวลา 2, 4 และ 6 ชั่วโมง ความแข็งมหภาคมีแนวโน้มเพิ่มขึ้น เนื่องจากปริมาณคาร์ไบด์ทุติยภูมิที่มีขนาดใหญ่ขึ้นและมีไหมเปอร์คาร์ไบด์เกิดขึ้นจำนวนมาก รวมทั้งอสเทนในตัวอ่อนค้างเปลี่ยนเป็นมาร์เทนไซต์



รูปที่ 4.25 ผลของทั้งสแตนและกระบวนการทางความร้อนต่อความแข็งของเหล็กหล่อโครงเมียมสูง 28wt%Cr ที่ไม่เติมทั้งสแตน R และเหล็กหล่อ W1, W4 และ W10 (ก) ความแข็งบนหกภาค (ข) ความแข็งจุลภาคบริเวณเมทริกซ์

4.4 ความต้านทานการกัดกร่อน

จากการทดสอบการกัดกร่อนโดยเทคนิคไฟแทนซ์โอไดนาไมก์ส เพื่อศึกษาลักษณะเดพะ แอนโนดิกโพลาไรเซชันของเหล็กหล่อໂຄรเมียมสูง 28wt%Cr ที่ไม่เติมหั้งสเทน (R) และเติมหั้งสเทน 1wt% (W1), 4wt% (W4) และ 10wt% (W10) ในสภาพหล่อและหลังการอบดีสเตบีໄโลเชชันที่ อุณหภูมิ 1050°C เป็นเวลา 4 ชั่วโมง (D) และเหมเปอร์ริงที่อุณหภูมิ 450°C เป็นเวลา 4 ชั่วโมง (D+T4) ดังรูป 4.26 พบว่าเหล็กหล่อทุกส่วนผสมจะเกิดฟิล์มพาสซีฟ (Passive film) คลุมผิวน้ำ ขึ้นงาน ทั้งในสภาพหล่อและหลังกระบวนการทางความร้อน โดยมีค่าความต้านทานการ กัดกร่อนอยู่ในสภาพแพร่ชีวะ (Passive voltage range) ใกล้เคียงกัน คือ 750-800 มิลลิโวลท์

เมื่อพิจารณาค่าความหนาแน่นของการกระแสไฟฟ้าในช่วงที่เกิดฟิล์มพาสซีฟ (Passive current density, I_{pass}) ดังตารางที่ 4.1 พบว่าในเหล็กหล่อ R ทั้งในสภาพหล่อและหลังการอบดีสเตบีໄโลเชชัน มีค่าใกล้เคียงกัน แต่หลังการอบเหมเปอร์ริงกระแสไฟฟ้ามีค่าเพิ่มขึ้น แสดงว่าความต้านทานการ กัดกร่อนลดลง ส่วนในเหล็กหล่อ W1 และ W10 กระแสไฟฟ้าทั้งในสภาพหล่อ-หลังการอบดีสเตบีໄโล เชชัน และหลังเหมเปอร์ริงมีค่าใกล้เคียงกัน อย่างไรก็ตามในเหล็กหล่อ W4 หลังกระบวนการทางความ ร้อนกระแสไฟฟ้ามีค่ามากกว่าในสภาพหล่อหรือความต้านทานการกัดกร่อนลดลง จากการ เปรียบเทียบความหนาแน่นของการกระแสไฟฟ้าในช่วงที่เกิดฟิล์มพาสซีฟและเส้นโค้งไฟแทนซ์ พบว่า เหล็กหล่อที่ไม่เติมหั้งสเทน (R) และผ่านการอบดีสเตบีໄโลเชชัน มีค่ากระแสไฟฟ้าต่ำที่สุด หรือมีความ ต้านทานการกัดกร่อนดีที่สุด รองลงมาคือเหล็กหล่อ R และ W4 ในสภาพหล่อ ซึ่งมีค่ากระแสไฟฟ้า ใกล้เคียงกัน

จากการศึกษาผิวน้ำขึ้นงานหลังทดสอบการกัดกร่อนด้วยกล้อง SEM พบว่าเหล็กหล่อที่ไม่เติม หั้งสเทน (R) ในสภาพหล่อ จะเกิดการสูญเสียนื้อเมทริกซ์โดยรอบคาร์บไบด์ยูเทกติก M_7C_3 ที่ทำหน้าที่ รองรับเฟสนี้อยู่ ทำให้คาร์บไบด์ยูเทกติกหลุดออกจากผิวน้ำขึ้นงานโดยง่าย ดังแสดงในภาพ 4.27 ส่วนใน เหล็กหล่อ W1, W4 และ W10 พบการการสูญเสียนื้อเมทริกซ์ทั้งบริเวณรอบๆ คาร์บไบด์ปูนมภูมิและ คาร์บไบด์ยูเทกติก M_7C_3 , M_6C และ $M_{23}C_6$ ทำให้คาร์บไบด์ปูนมภูมิและคาร์บไบด์ยูเทกติกหลุดออก นอกจากนี้ยังพบการกัดกร่อนแบบ Pitting corrosion ที่มีลักษณะเป็นรูเล็กๆ บริเวณเมทริกซ์ของ ออสเทนในตัวในเหล็กหล่อ W4 และ W10 เนื่องจากการกระจายตัวของโครงเมียมไม่สม่ำเสมอ

หลังการอบดีสเตบีໄโลเชชัน พบการสูญเสียนื้อเมทริกซ์รอบๆ คาร์บไบด์ปูนมภูมิและคาร์บไบด์ ยูเทกติกซึ่งเดิมทั้งหมดในสภาพหล่อ และยังพบการสูญเสียนื้อเมทริกซ์รอบๆ คาร์บไบด์ทุติยภูมิ ทำให้ คาร์บไบด์ทุติยภูมิบางส่วนหลุดออก ดังแสดงในรูปที่ 4.28 นอกจากนี้ยังพบการกัดกร่อนแบบ Pitting corrosion บริเวณคาร์บไบด์ปูนมภูมิในเหล็กหล่อที่เติมหั้งสเทนอีกด้วย ส่วนหลังการอบ เหมเปอร์ริงจะมีความรุนแรงของการกัดกร่อนมากขึ้น เนื่องจากการแตกตะกอนของคาร์บไบด์ทุติยภูมิและ เหมเปอร์ริบาร์บิเดตที่มีปริมาณมากขึ้น ดังแสดงในรูปที่ 4.29

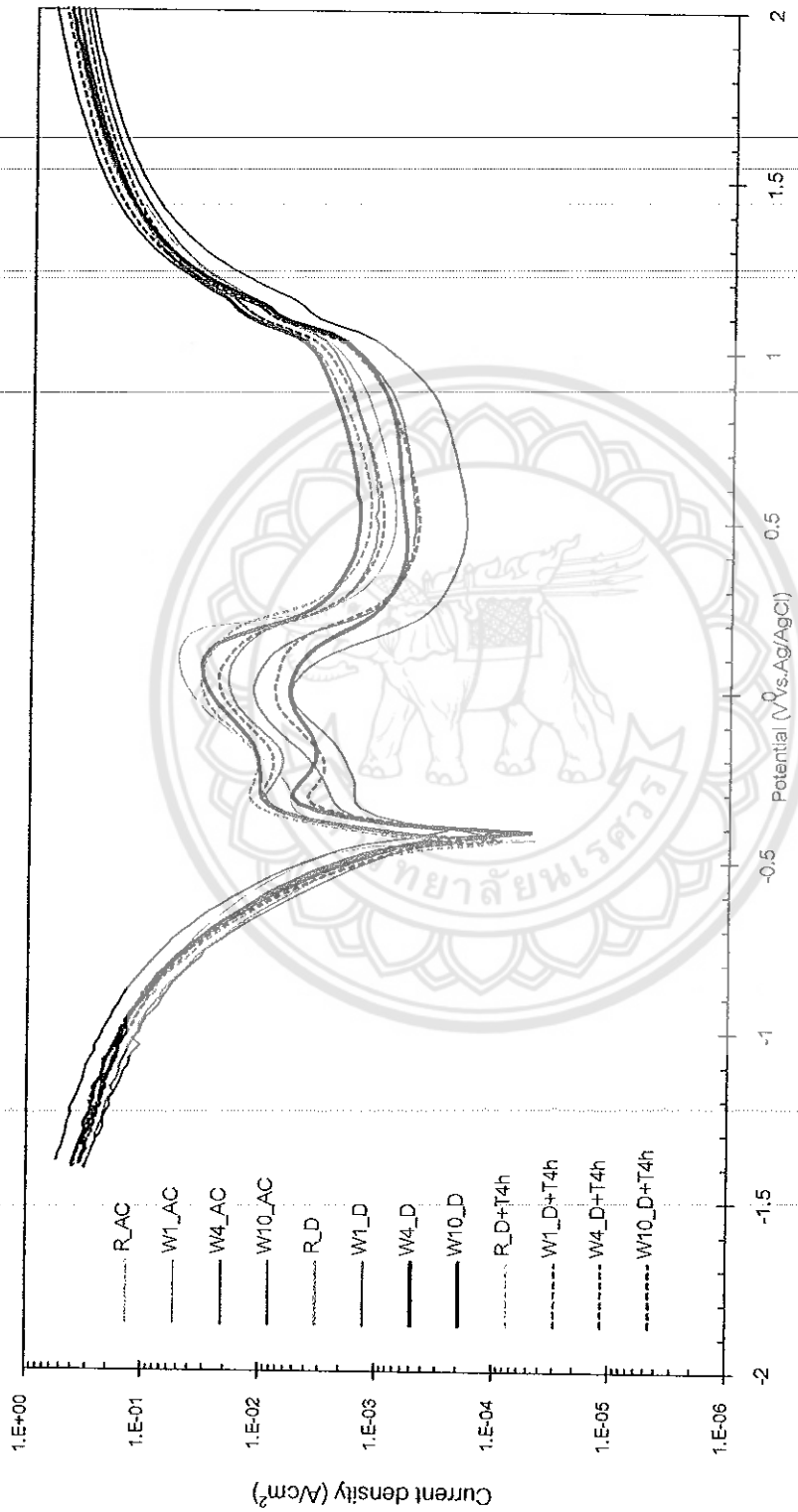
การสูญเสียนื้อเมทริกซ์ที่เกิดขึ้นรอบๆ คาร์บไบด์ปูนมภูมิและคาร์บไบด์ยูเทกติก M_7C_3 , M_6C และ $M_{23}C_6$ หรือคาร์บไบด์ทุติยภูมิ เป็นผลมาจากการเมียมจะรวมตัวกับธาตุเหล็ก หั้งสเทน และ คาร์บอนเป็นคาร์บิด ทำให้บริเวณรอบๆ มีปริมาณโครงเมียมไม่มากพอที่จะทำให้เกิดสภาพ แพสซีฟชีวะหรือฟิล์มพาสซีฟ ทำให้บริเวณนี้เกิดการกัดกร่อนได้ง่าย [1, 20] ส่วนการอบดีสเตบีໄโล เชชันในเหล็กหล่อໂຄรเมียมสูง 28wt%Cr ที่ไม่เติมหั้งสเทน ทำให้ความต้านทานการกัดกร่อนดีขึ้น อาจ

เนื่องมาจากการกระจายตัวโครงเมียมในแมทริกซ์มีความสม่ำเสมอ ทำให้สร้างพิล์มพลาสซีฟได้ง่าย [20] อีกทั้งการเพิ่มปริมาณด้านหน้าการกัดกร่อนจะลดลง เนื่องจากการตกลงของคาร์บอนทุติยภูมิและเพิ่มปริมาณการรีบเด็ทที่เพิ่มขึ้น ทำให้ปริมาณโครงเมียมที่จำเป็นในการสร้างพิล์มพลาสซีฟลดลง

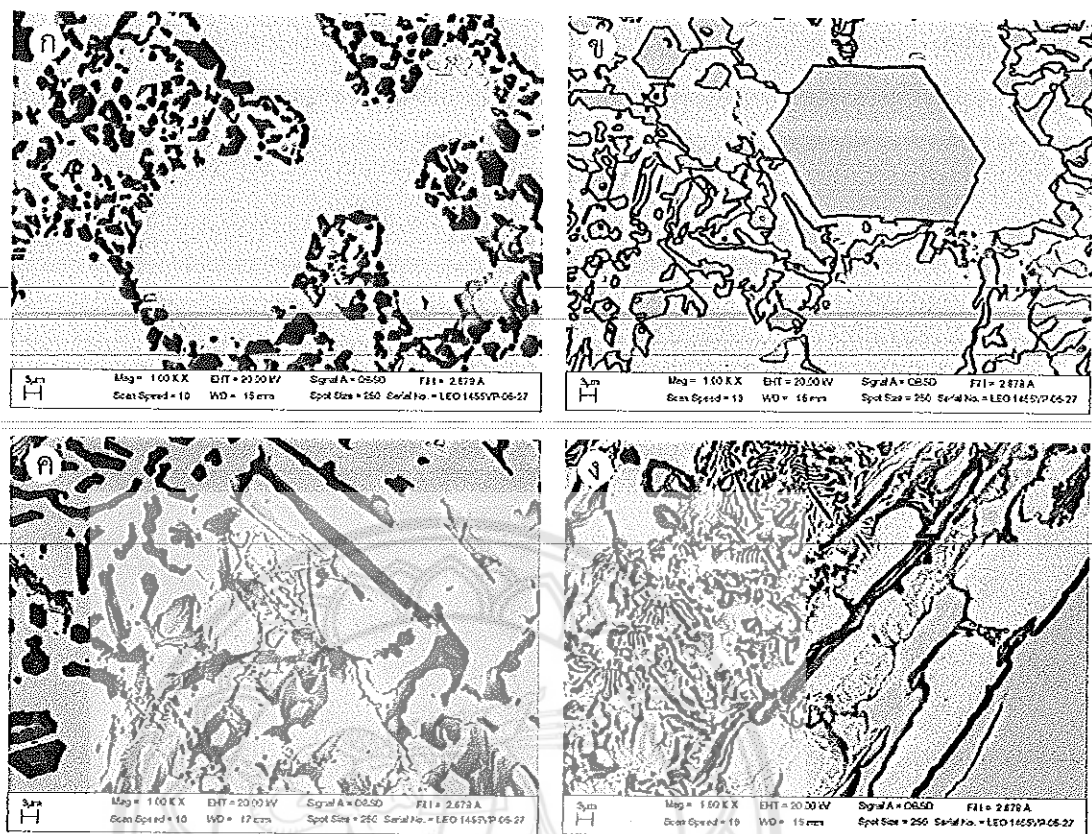
จากผลการทดลองจะเห็นว่าการเติมทังสเทนทำให้ความต้านทานการกัดกร่อนลดลง ซึ่งน่าจะเป็นผลมาจากการมีโครงสร้างแบบไบเปอร์ฟิล์มเทกติกที่มีคาร์บอนทุติยภูมิขนาดใหญ่ และการมีการรีบเด็ทหลายชนิดทั้ง M_7C_3 , M_6C และ $M_{23}C_6$ ส่งผลให้เกิดการกัดกร่อนได้ง่ายขึ้น

ตารางที่ 4.1 ความหนาแน่นของกระแสไฟฟ้าในช่วงที่เกิดพิล์มพลาสซีฟ

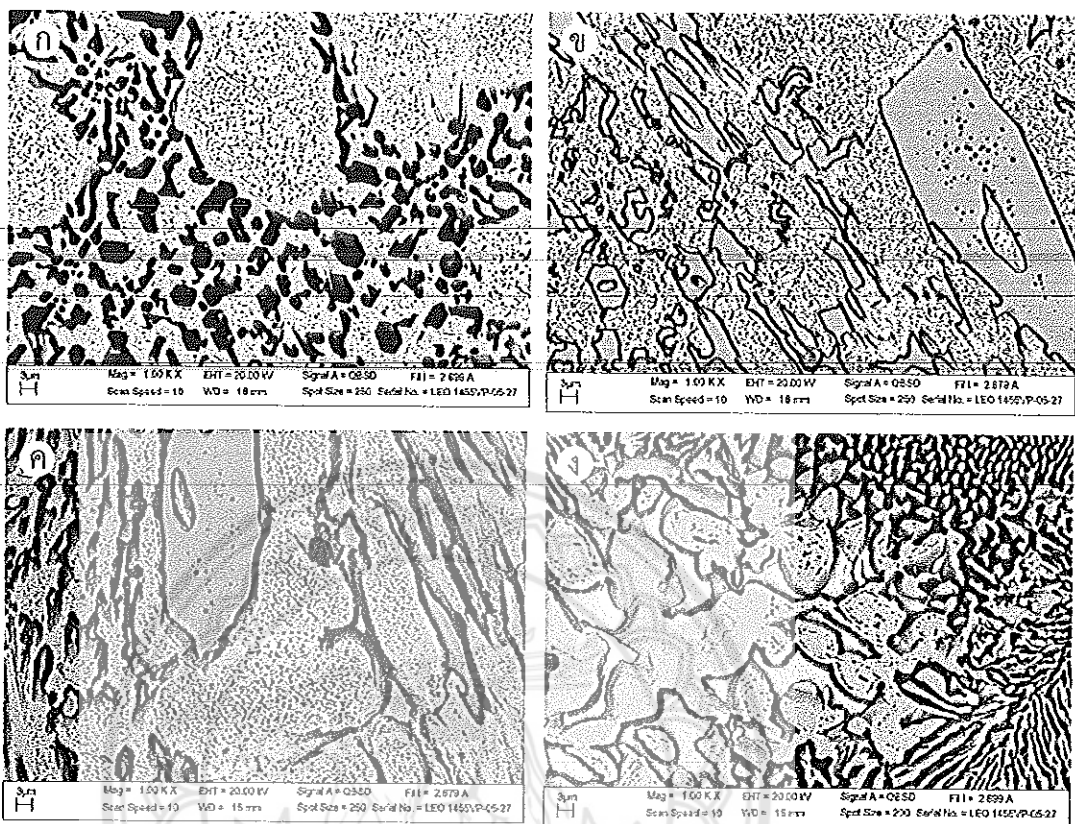
เหล็กหล่อ	I_{pass} ($\text{mA}\cdot\text{cm}^{-2}$)		
	AC	D	D+T4h
R	0.2	0.15	0.5
W1	0.7	1.0	1.2
W4	0.2	1.5	0.9
W10	0.5	0.6	0.5



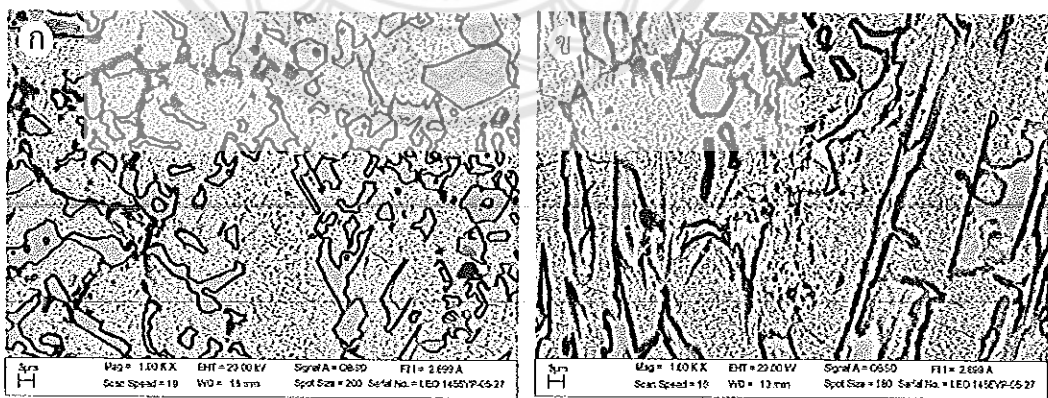
รูปที่ 4.26 เส้นโค้งพลังไราชูนของเหล็กหล่อ R, W1, W4 และ W10 ในสภาวะหล่อ (AC), หลังการอบตู้สูญญากาศ (D) และหลังการอบบนปอร์เช่ (D+T4)



รูปที่ 4.27 ภาพถ่าย SEM-BEI แสดงโครงสร้างหลังการกัดกร่อนในสภาพหล่อ (g) เหล็กหล่อ R (x) W1 (c) W4 (d) W10



รูปที่ 4.28 ภาพถ่าย SEM-BEI แสดงโครงสร้างหลังการกัดกร่อนหลังการอบดีสเตบิไลเซชัน



รูปที่ 4.29 ภาพถ่าย SEM-BEI แสดงโครงสร้างหลังการกัดกร่อนหลังการอบดีสเตบิไลเซชันและเทนเปอร์จิ้ง (ก) W1 (ข) W4

บทที่ 5

สรุปผลการทดลอง

จากการศึกษาผลของหั่งสแตนและกระบวนการทางความร้อนต่อโครงสร้างจุลภาค ความแข็ง และความต้านทานการกัดกร่อนของเหล็กหล่อโครงเมียมสูง สามารถสรุปผลการทดลองได้ดังนี้

1. โครงสร้างจุลภาคในสภาพหล่อของเหล็กหล่อ $28\text{wt\%Cr}-2.6\text{wt\%C}$ ที่ไม่เติมหั่งสแตน เป็นแบบไฮโปyletic กึ่งประกอบด้วยเดนไครท์ห้อสแตนในต์ปูร์มูมิ ยูเทกติกอสแตนในต์เปลี่ยนเป็น มาร์เทนไซต์ และคาร์บิดยูเทกติก M_7C_3

2. การเติมหั่งสแตนในเหล็กหล่อโครงเมียมสูง $28\text{wt\%Cr}-2.6\text{wt\%C}$ ในปริมาณ (1-10)wt% ทำให้โครงสร้างจุลภาคเปลี่ยนเป็นแบบไฮเปอร์ยูเทกติกประกอบด้วยคาร์บิดปูร์มูมิ M_7C_3 ยูเทกติก ออสแตนในต์ที่เปลี่ยนเป็นมาร์เทนไซต์ และยูเทกติกการ์บิด โดยเหล็กหล่อที่เติมหั่งสแตน 1wt% มีคาร์บิดยูเทกติกเป็น M_7C_3 เมื่อหั่งสแตนเพิ่มขึ้นเป็น 4wt% คาร์บิดยูเทกติกเป็น M_7C_3 และ M_6C เมื่อเติมหั่งสแตน 10wt% คาร์บิดยูเทกติกเป็น $M_{23}C_6$ และ M_6C

3. หลังการอบดีสแตบิไลเซชันของเหล็กหล่อ 28wt\%Cr ที่ไม่เติมและเติมหั่งสแตนจะเกิดการ ตกตะกอนของคาร์บิดทุติยภูมิชนิด $M_{23}C_6$ ในเมทริกซ์ของออสแตนในต์ที่เปลี่ยนเป็นมาร์เทนไซต์ และ มีออสแตนในต์ตกค้างบางส่วน เมื่อปริมาณหั่งสแตนเพิ่มขึ้นทำให้ขนาดและปริมาณของคาร์บิด ทุติยภูมิเพิ่มขึ้น การทำเหมเปอร์วิ่งส่งผลให้ปริมาณออสแตนในต์ตกค้างลดลงและมีการตกตะกอนของ คาร์บิดเพิ่มขึ้น

4. ความแข็งในสภาพหล่อมีแนวโน้มเพิ่มขึ้นตามปริมาณของหั่งสแตน เนื่องจากการเกิด คาร์บิดปูร์มูมิ M_7C_3 และคาร์บิดยูเทกติก M_6C มีปริมาณมากขึ้น หลังการอบดีสแตบิไลเซชันความ แข็งมีค่าเพิ่มขึ้น เนื่องจากมีการตกตะกอนของคาร์บิดทุติยภูมิในเมทริกซ์มาร์เทนไซต์ ส่วนการอบเพิ่ม เปลี่ยนทำให้ความแข็งเพิ่มขึ้นเทียบกับน้ำยาเท่านั้น

5. การเติมหั่งสแตนทำให้ความต้านทานการกัดกร่อนของเหล็กหล่อในสภาพหล่อลดลง ส่วน กระบวนการทางความร้อนส่งผลให้เกิดการกัดกร่อนที่รุนแรงขึ้นทั้งบริเวณรอบๆ คาร์บิดยูเทกติกและ คาร์บิดทุติยภูมิ

งานวิจัยต่ออยอด

จากการทดลองจะเห็นว่าการ์บิดที่ตกตะกอนในระหว่างกระบวนการทางความร้อนมีผล ต่อความแข็งและความต้านทานการกัดกร่อนของเหล็กหล่อโครงเมียมสูง ดังนี้ ควรมีการศึกษาชนิดของ คาร์บิดทุติยภูมิด้วยจุลทรรศนศาสตร์อิเล็กทรอนแบบส่องผ่าน (TEM) รวมทั้งการหาเชษส่วนโดยพื้นที่ ของคาร์บิดทุติยภูมิในแต่ละสภาวะ

เอกสารอ้างอิง

- [1] Pearce, J.T.H. และ บัญชา ธนาบุญสมบัติ (2542) เทคโนโลยีและโลหะวิทยาของเหล็กหล่อผสม, ศูนย์เทคโนโลยีโลหะและวัสดุเพื่อชาติ, พิมพ์ครั้งที่ 1, หน้า 10 - 14.
- [2] มนัส สกิรจินดา (2527) เหล็กหล่อ, วิศวกรรมสถานแห่งประเทศไทย, พิมพ์ครั้งที่ 1.
- [3] Wiengmoon, A., (2005) Microstructures of carbides in high chromium cast irons, Ph.D. Thesis..Chiang Mai University, Thailand.
- [4] Pearce, J.T.H., (1982) Wear of abrasion resisting materials, Ph.D thesis. Aston University, Birmingham, England.
- [5] Pearce, J. T. H. and Elwell, D. W. L., (1986) Duplex nature of eutectic carbides in heat treated 30% chromium cast iron, *J. Mat. Sci Lett.*, 5, 1063-1064.
- [6] Pearce, J.T.H., (1999) High-chromium irons-to-resist-wear, *Proceedings of the Sixth Asian Foundry Congress*, Jan 23-26, Calcutta India, 120-134.
- [7] Tabrett, C.P., Sare, I.R. and Ghoshalchi, M. R., (1996) Microstructure-property relationships in high chromium white iron alloys, *Int. Mater. Rev.*, 41, 59-82.
- [8] Durman, R.W. and Elwell, D.W.J., (1985) Morphology of eutectic carbides in high chromium white irons, *The British Foundryman*, 78, 371-375.
- [9] Thorpe, W.R. and Chicco, B., (1985) The Fe-rich corner of the metastable C-Cr-Fe liquidus surface, *Metall. Trans. A*, 16A, 1541-1549.
- [10] Chicco, B. and Thorpe, W.R., (1993) On the solidification of pure C-Cr-Fe alloys, *Cast Metals*, 5, 203-211.
- [11] Laird, G., Gundlach, R. and Rohrig, K., (2000) Abrasion-Resistant Cast Iron Handbook, American Foundry Society, USA, pp.222.
- [12] Wu, H.Q., Sasaguri, N., Matsubara, Y. and Hashimoto, M., (1996) Solidification of multi-alloyed white cast iron: Type and morphology of carbides, *AFS Trans*, 104, 103-108.
- [13] Pearce, J.T.H., (1984) Structure and wear performance of abrasion resistant chromium white cast irons, *AFS Trans.*, 92, 599-622.
- [14] Powell, G., (2002) Improved wear-resistant high-alloyed white irons-A historical perspective, International congress on abrasion wear resistance alloyed white cast iron for rolling and pulverizing mills, August 16-20, Fukuoka, Japan, 1-10.
- [15] Boyes, J.W., (1966) High-chromium cast irons for use at elevated temperature, *Iron and Steel*, 39, 102-109.
- [16] Wiengmoon, A., (2011) Carbide in High Chromium Cast Irons, *Naresuan University Engineering Journal*, 6(1), 64-71.

- [17] Imurai, S., Thanachayanont, C., Pearce, J.T.H., Tsuda, K., Chairuangsri, T., (2015) Effects of W on microstructure of as-cast 28 wt.%Cr-2.6 wt.%C-(0-10) wt.%W irons, Mater. Charact., 99, 52-60.
- [18] Heydari, D., Alipour Skandani A., Al Haik.M. (2012) Effect of carbon content on carbide morphology and mechanical properties of A.R. white cast iron with 10-12% tungsten, Mater. Sci. Eng. A, 542, 113-126.
- [19] Wiengmoon, A., Chairuangsri, T., Brown, A., Brydson, R., Edmonds, D.V., Pearce, J.T.H. (2005), Microstructural and crystallographical study of carbides in 30wt.%Cr cast irons, Acta Mater., 53, 4143-4154.
- [20] Wiengmoon, A., Pearce, J.T.H. and Chairuangsri, T., (2011) Relationship between Microstructure, Hardness and Corrosion Resistance in 20wt.%Cr, 27wt.%Cr and 36wt.%Cr-High-Chromium-Cast-Irons, Mat. Chem. Phys., 125, 739-748.
- [21] Mousavi Anijdan, S.H., Bahrami, A., Varahram, N., Davami, P., (2007) Effects of tungsten on erosion-corrosion behanior of high chromium white cast iron, Mater. Sci. Eng. A, 454-455, 623-628.
- [22] Carrillo, E., Bedolla-Jacuinde, A., Mejia, I., Zepeda, C.M., Zuno-Silva, J., Guerra-Lopez.F.V., (2017) Effects of tungsten on the microstructure and on the abrasive wear behavior of a high-chromium white iron, Wear, 376-377, 77-85.
- [23] Agunsoye, J.O., Ayeni, A.A., (2012) Effect of Heat Treatment on the Abrasive Wear Behavior of High Chromium Iron under Dry Sliding Condition, Tribology in Industry, 34, 82-91.
- [24] Yezhe, L., Yufu, S., Jingyu, Z., Guangwen, Y., Jingjie. S., Sumeng, H., (2012) Effect of tungsten on microstructure and properties of high chromium cast iron, Mat. Des., 39, 303-308.

ภาคผนวก

ผลงานตีพิมพ์

1. ผลงานตีพิมพ์ในวารสารระดับนานาชาติ

Sasitorn Yekew, Amporn Wiengmoon, Torranin Chairuangsri and John T.H. Pearce, Microstructure and Tempering Behaviour of 28Cr-2.5C-1W Cast Irons, Solid State Phenomena, 283 (2018) 116-123.

2. ผลงานตีพิมพ์ในวารสารระดับชาติ

ศศิธร ยีคิว และ อัมพร เวียงมูล, ผลของทั้งสแตนและการปรับสภาพด้วยความร้อนต่อโครงสร้างชุลภาคและความแข็งของเหล็กหล่อโครเมียมสูง 28wt%Cr, วารสารวิทยาศาสตร์บูรพา ปีที่ 22 (ฉบับพิเศษ) การประชุมวิชาการระดับชาติ “วิทยาศาสตร์วิจัย ครั้งที่ 9” (2017) หน้า 511-519.



Microstructure and Tempering Behaviour of 28Cr-2.5C-1W Cast Irons

Sasitorn Yeekeew^{1,a}, Amporn Wiengmoon^{1,b*}, Torranin Chairuangsri^{3,c}
and John T.H. Pearce^{4,d}

¹Department of Physics, Faculty of Science, Naresuan University, Phitsanulok, 65000, Thailand

²Department of Industrial Chemistry, Faculty of Science, Chiang Mai University, Chiang Mai,
50200, Thailand

³Panyapiwat Institute of Management, Nonthaburi, 11120, Thailand

^asasitorny59@nu.ac.th, ^bampornw@nu.ac.th, ^ctchairuangsri@gmail.com, ^djthp70@gmail.com

Keywords: High chromium iron; Heat treatment; Microstructure; Tungsten

Abstract. In this work, the effects of 1 wt.% tungsten addition and variation in tempering times on the microstructure and hardness of nominal 28 wt.%Cr high chromium irons were investigated. As-cast samples were destabilised at 1050 °C for 4 hours and then hardened by air cooling. Tempering after destabilisation was carried out at 450 °C for 2, 4 and 6 hours followed by air cooling. X-ray diffractometry, light microscopy and scanning electron microscopy were used to characterize the microstructures of the irons. The results show that the as-cast microstructure of the iron without W addition consisted of primary austenite dendrites with eutectic M₇C₃ and eutectic austenite partially transformed to martensite. The iron with 1 wt.%W addition contained primary M₇C₃ and eutectic M₇C₃ in an austenite matrix. Destabilisation treatment of the austenite matrix in both irons allowed precipitation of secondary carbides and transformation to martensite during air cooling. Phase transformation of eutectic M₇C₃ was also found in the iron with W addition. The formation of primary M₇C₃ in the 1 wt.%W iron increased the as-cast macro-hardness from 500 (no W) to 576 HV₃₀. Destabilisation increased the macro-hardness up to 736 (no W) and 780 HV₃₀ (1 wt.%W) since secondary carbide precipitation allowed austenite to transform to essentially martensitic matrices. At longer tempering times, the macro-hardness further increased up to about 820 HV₃₀.

Introduction

High chromium cast irons are widely used for wear-parts in the mining, mineral and cement industries, due to their high abrasion resistance, relative low cost and ease of production [1-3]. The high wear resistance of high chromium iron stems from the presence in the microstructure of hard alloy eutectic carbides supported by a suitably tough metallic matrix. As-cast microstructures consist of a matrix of primary and eutectic austenite surrounding the eutectic carbides. There is usually some transformation of the eutectic austenite to martensite adjacent to the carbides. The irons can be used as-cast since the austenite can transform to martensite at wear surfaces during service to form a self-replacing hardened layer [1]. Alternatively, after suitable heat treatment to destabilise the as-cast austenite matrix by precipitation of secondary carbides, the irons can be through hardened, even in relatively heavy sections, by air cooling and then tempering to provide hard, tough tempered martensitic matrices. These hard matrices give greater mechanical support than austenite and hence minimize sub-surface cracking of carbides during wear service [1]. A typical microstructure after destabilisation consists of secondary carbides surrounded by a matrix of martensite and some retained austenite [1-3]. Tempering after destabilisation is used to transform the retained austenite to martensite and carbides, or to ferrite and carbides *via* a bainite-type reaction, and hence to control the final hardness and toughness. Very fine tempered carbides form during tempering [1-3].

Additional carbide-forming elements, particularly Mo, W and V, may be added to high chromium cast irons to improve their properties. The aim of such alloy additions is usually to achieve some modification of the eutectic carbide structure by obtaining harder carbides and to increase the hardenability of the matrix. It has been reported that W additions to high chromium

cast irons can increase the eutectic carbide volume fraction and improve hardness and wear resistance [4-7]. Imurai et al. [7] found that W additions promoted the formation of W-rich M_7C_3 , M_6C and $M_{23}C_6$ carbides. However, the effects of W on destabilised, air-hardened and tempered microstructures and properties have not been investigated. The present work examines the effects of a 1 wt.%W addition and different tempering times on the microstructure and hardness of nominal 28 wt.%Cr high chromium irons.

Materials and Methods

Sample preparation and Heat treatment

Table 1 shows the chemical composition of the irons which were produced as dry sand cast test bars, each 300 mm in length x 25mm in diameter. The as-cast samples were destabilised at 1050 °C for 4 hours and then hardened by air cooling. Tempering after destabilisation was done at 450 °C for 2, 4 and 6 hours followed by air cooling.

Table 1 Chemical composition of the irons by spark emission spectrometry

Specimen code	Elements (wt.%)									
	C	Cr	W	Mo	Mn	Ni	Si	P	S	Fe
R	2.36	27.86	0.01	0.03	0.11	0.20	0.20	0.02	0.01	Bal.
W1	2.87	26.67	0.99	0.03	0.15	0.22	0.44	0.03	0.01	Bal.

Characterization and Hardness Testing

Specimens for light microscopy (LM) and scanning electron microscopy (SEM) were ground on silicon carbide papers and then polished with 6, 3 and 1 μm diamond paste. To reveal the general microstructure, the etchant used was 50 ml of HCl and 10 g of $\text{Na}_2\text{S}_2\text{O}_5$ in 100 ml distilled water. For deep etching to reveal the morphology of carbides, the etchant used was 10 vol.% HCl in methanol. The phases present and microstructures were analyzed by X-ray diffractometry (XRD), LM and energy dispersive X-ray spectrometry (EDS) in SEM.

Vickers macro-hardness testing was performed on un-etched specimens using 30 kgf load and 15 seconds indenting time. The mean values are based on ten different areas in each specimen.

Results and Discussion

XRD analysis

Figures 1 and 2 show XRD patterns of the 28 wt.%Cr (R) and the iron with 1 wt.%W addition (W1). XRD results confirmed the presence of austenite, M_7C_3 carbide and martensite in the as-cast condition of iron R and iron W1. After destabilisation and destabilisation+tempering, secondary carbides formed can be $M_{23}C_6$.

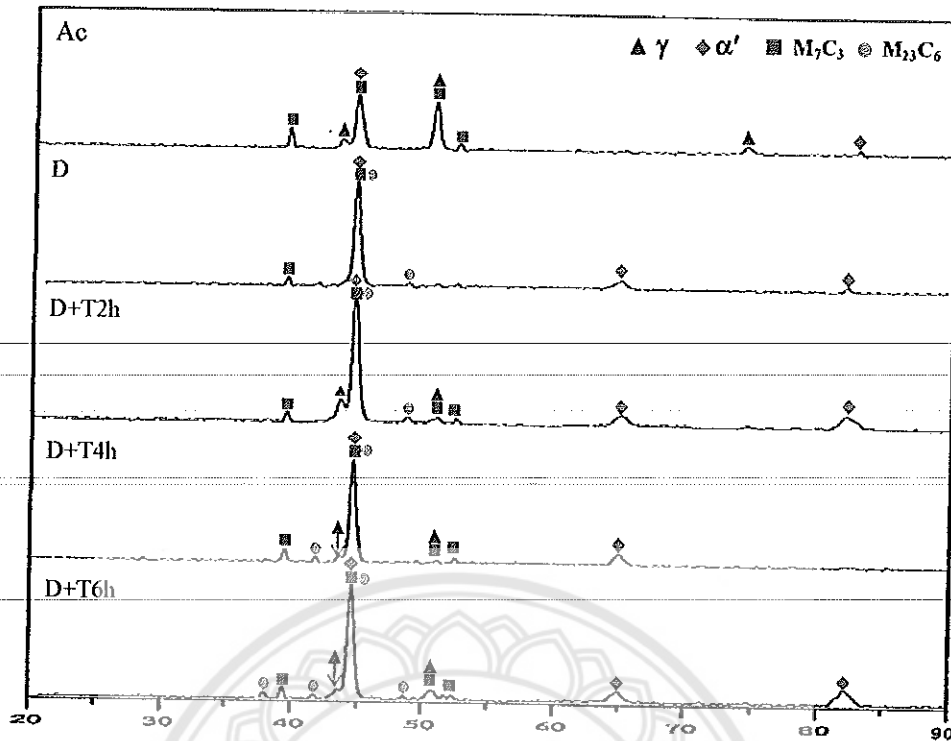


Figure 1 XRD traces of the as-cast, destabilised and destabilised+tempered (D+T) at different times obtained from 28 wt.%Cr (R) iron. Note that γ = austenite and α' = martensite, respectively.

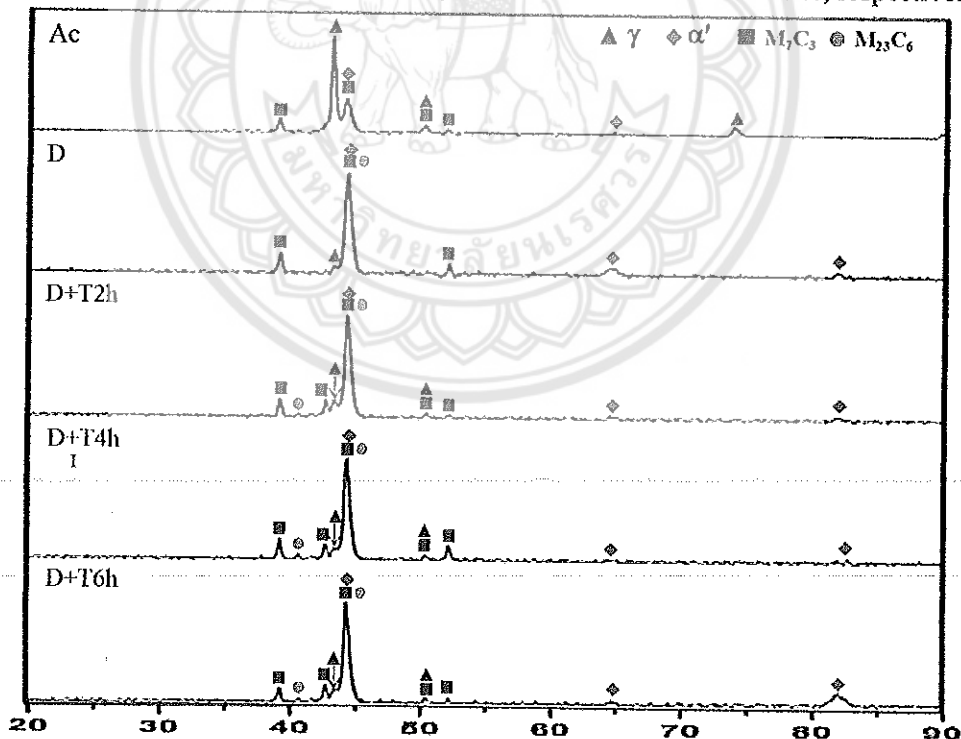


Figure 2 XRD traces of the as-cast, destabilised and destabilised+tempered (D+T) at different times obtained from 28 wt.%Cr-1 wt.%W (W1) iron. Note that γ = austenite and α' = martensite, respectively.

Microstructure

The as-cast microstructure of the reference iron (R), shown by LM in Figure 3(a), consisted of primary austenite (γ) dendrites with an interdendritic eutectic structure of M_7C_3 carbide + eutectic austenite, which had partially transformed to martensite (α') during cooling in the mold as shown by SEM in Figure 3(b). Addition of 1wt.%W to the 28wt.%Cr iron changed the microstructure from hypoeutectic to hypereutectic in nature to give primary M_7C_3 , primary austenite matrix and eutectic (γ + some α' + M_7C_3) as shown in Figure 3(c, d). As observed in another work [5], due to the tungsten addition, the eutectic carbides in iron W1 tend to be coarser compared with those in iron R. The presence of primary carbide in iron W1 is also encouraged by the higher %C content. From SEM-EDS analysis, tungsten was said to be present in the matrix and in eutectic M_7C_3 carbides [6-8].

After destabilisation, as seen in Figure 4, the matrix microstructures in both irons consisted of secondary carbides surrounded by martensite, some retained austenite is also likely to be present. After tempering, more secondary carbides were observed within the dendritic matrix as compared to the microstructure after destabilisation (R iron in Figure 5 and iron W1 in Figure 6). At longer tempering times, the sizes of secondary carbides increased and they tended to connect together to form a network. In other 27 wt.%Cr irons, secondary carbides precipitated during destabilisation have been previously observed to grow larger during tempering [8]. Furthermore, microstructural changes observed in the eutectic M_7C_3 after destabilisation/tempering of iron W1 are shown in Figure 7. In iron W1, the phase revealed in the brightest contrast was found from SEM-EDS analysis to show a higher W content than other phases. The Fe/Cr ratio of the eutectic M_7C_3 (area 2) and of the W-rich $M_{23}C_6$ with the brightest contrast (area 3) were 0.42 and 0.82, respectively. From a previous work [7], the Fe/Cr ratio of the M_7C_3 and W-rich $M_{23}C_6$ were 0.34 and 0.62, respectively, and eutectic M_7C_3 partially transformed to $M_{23}C_6$ forming a core-shell structure during destabilisation heat treatment of the 30 wt.%Cr iron [9-10].

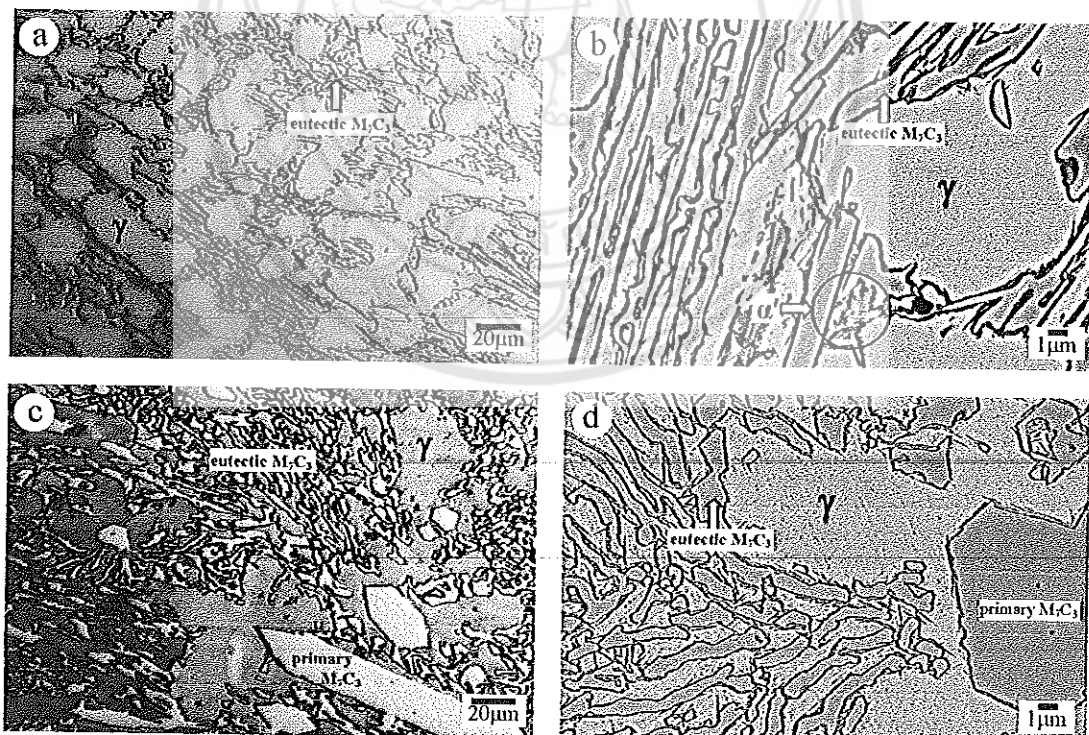


Figure 3 Light micrographs (a & c) and backscattered electron images in SEM (b & d) showing the as-cast microstructure of the irons (a-b) reference iron (R) and (c-d) 1 wt.%W addition (W1).

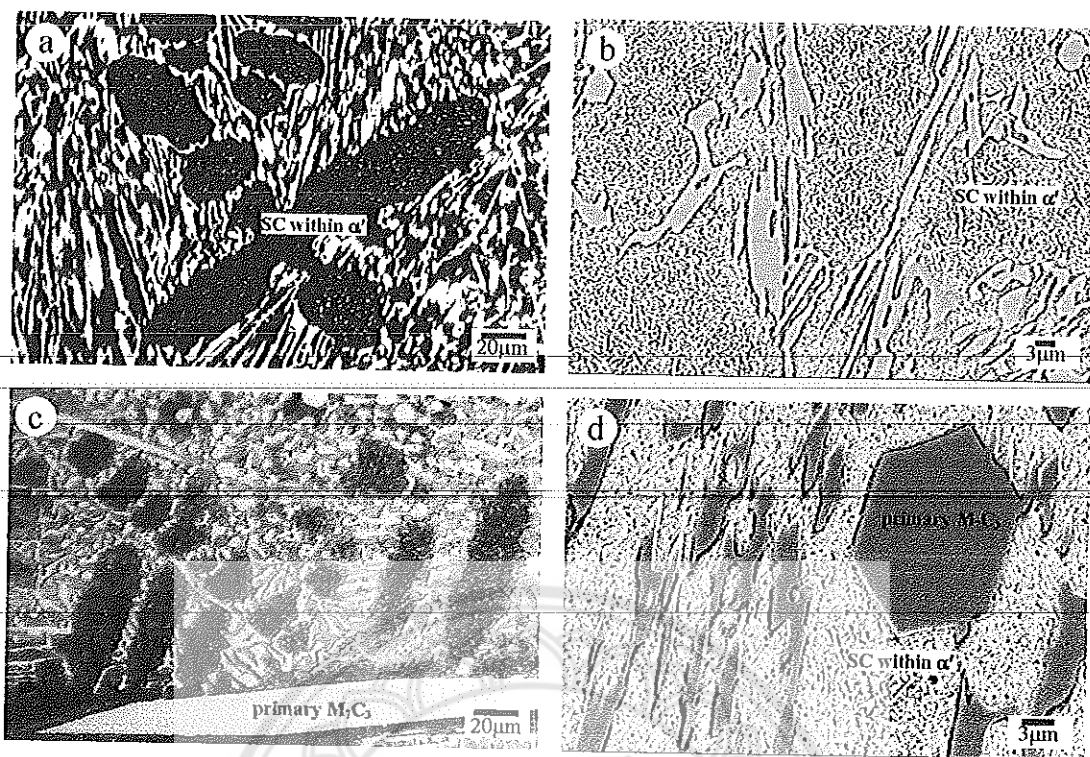


Figure 4 Light micrographs (a & c) and secondary electron images in SEM (b & d) comparing the secondary carbides (SC) within martensite matrices (α') after destabilisation in iron R (a-b) and iron W1 (c-d).

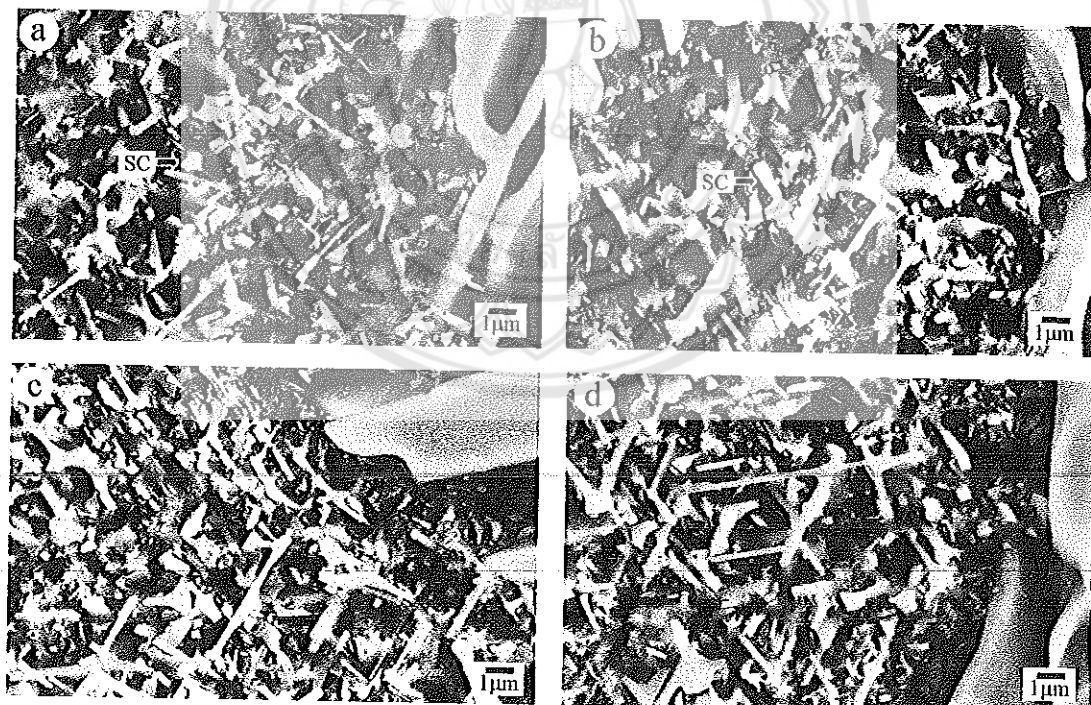


Figure 5 Secondary electron images in SEM comparing the amount and distribution of secondary carbide (SC) within martensite matrices of R iron after destabilisation (a) and destabilisation + tempering for different times (b) 2 h (c) 4 h (d) 6 h, respectively.

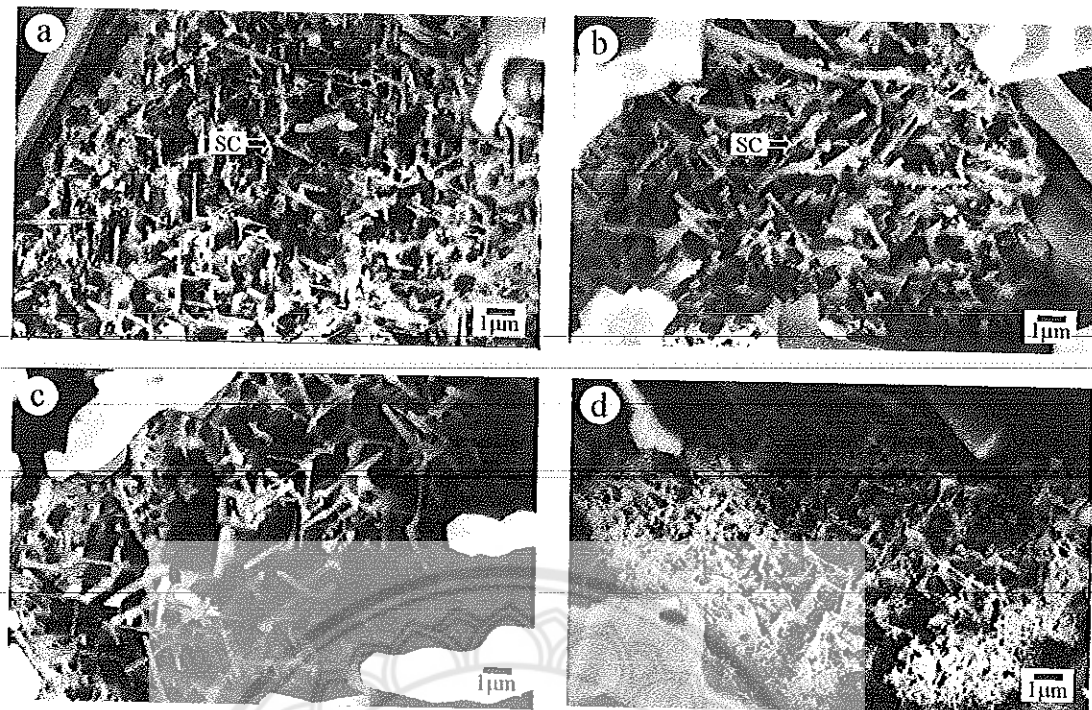


Figure 6 Secondary electron images in SEM comparing the amount and distribution of secondary carbides (SC) within martensite matrices of iron W1 after destabilisation (a) and destabilisation + tempering for different times (b) 2 h (c) 4 h (d) 6 h, respectively.

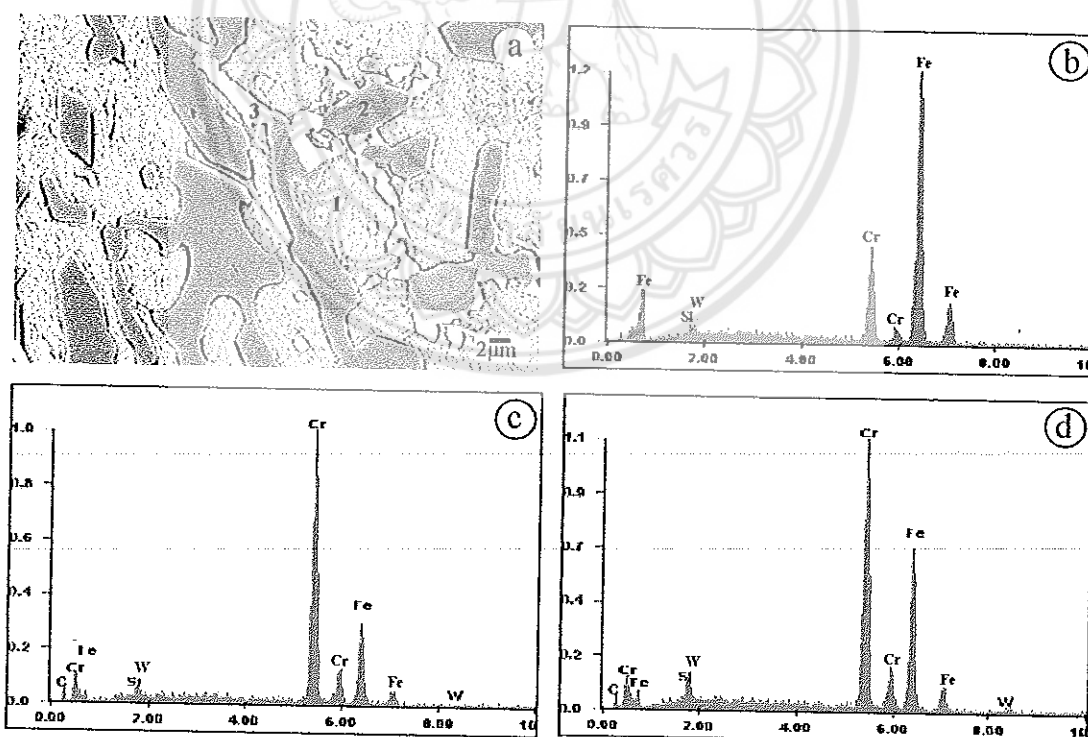


Figure 7 (a) Backscattered electron image in SEM shows eutectic carbide after destabilisation in iron W1 (b-d) EDS spectra from the matrix (1), eutectic M_7C_3 (2), and the brightest-contrast $M_{23}C_6$ (3), respectively.

Hardness

The effect of W and heat treatment on macro-hardness is shown in Figure 8. Tungsten addition increased the as-cast macro-hardness from 505 HV_{30} in iron R to about 570 HV_{30} in iron W1. This is due to the formation of primary carbide.

Destabilisation heat treatment increased the macro-hardness to 730 HV_{30} in iron R and to about 780 HV_{30} in iron W1, due to the precipitation of secondary carbides and the subsequent transformation of austenite matrix to martensite. Tempering after destabilisation further increased the macro-hardness up to 770 HV_{30} and 820 HV_{30} in the irons R and W1. At longer tempering times, the macro-hardness tended to increase. Tungsten addition gave a higher macro-hardness, this is due to a higher amount of martensite, secondary and tempered carbides.

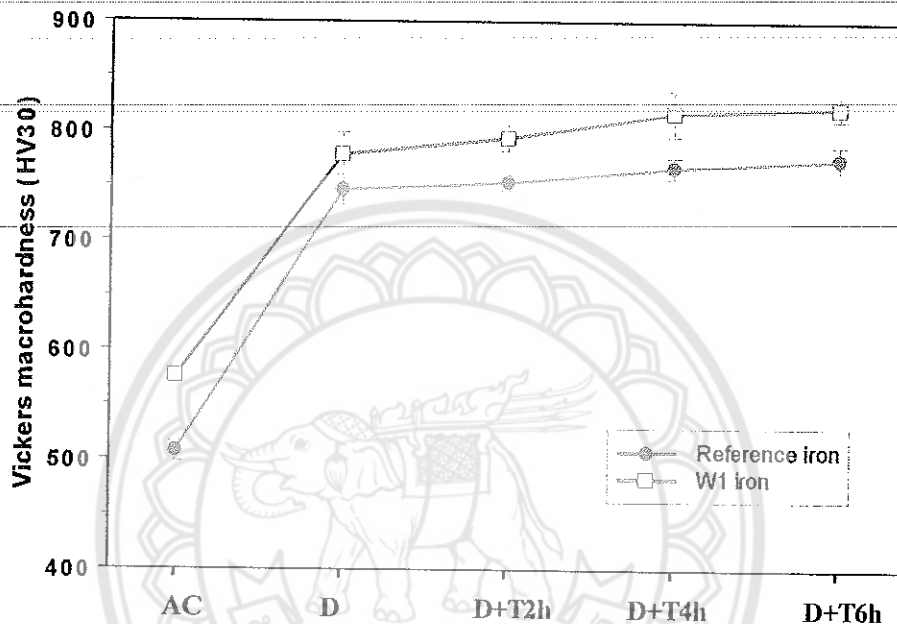


Figure 8 Effect of W and heat treatment on micro-hardness of irons R and W1. Note that AC = as-cast, D = destabilised and T = tempered, respectively.

Conclusion

In the as-cast 28 wt.%Cr-2.5 wt.%C, the microstructure consisted of primary austenite dendrite, eutectic M_7C_3 and martensite. The iron with 1 wt.%W addition was hypereutectic containing primary M_7C_3 , eutectic W-rich M_7C_3 and martensite. The as-cast macro-hardness in the iron with W addition was higher than the iron without W addition.

The microstructure after destabilisation heat treatment contained secondary carbides dispersed within a martensite matrix. The microstructure of eutectic M_7C_3 in the iron with W addition changed after heat treatment.

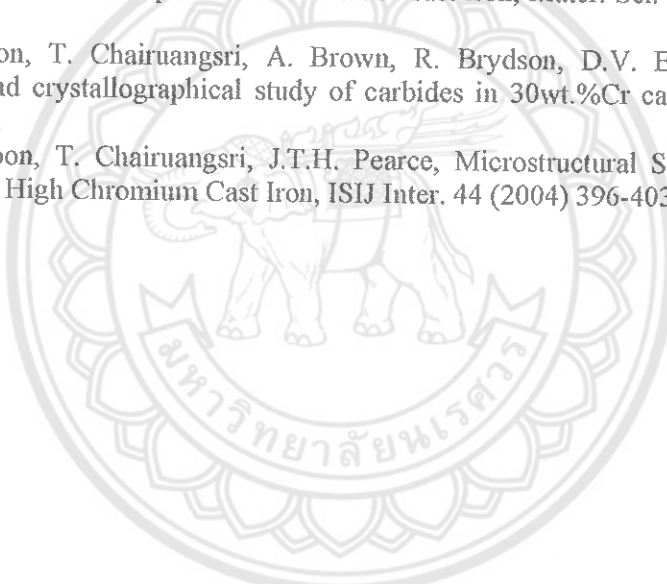
At longer tempering times, the volume fraction of secondary and tempered carbides within the dendritic and eutectic matrix regions increased, and also the macro-hardness of both irons.

Acknowledgements

Naresuan University is acknowledged for funding support of this work under Grant No. R2561B078. The authors are grateful for use of SEM facilities at the Science Lab Center, Faculty of Science, Naresuan University.

References

- [1] J.T.H. Pearce, High chromium cast irons to resist abrasive wear, *Foundryman*. 95 (2002) 156-166.
- [2] C.P. Tabrett, I.R. Sare, M. R. Ghomashchi, Microstructure-property relationships in high chromium white iron alloys, *Int. Mater. Rev.* 41 (1996) 59-82.
- [3] F. Maratray, A. Poulalion, Austenite retention in high chromium white irons, *AFS Trans.* 90 (1982) 82-87.
- [4] S.H.M. Anijdan, A. Bahrami, N. Varahram, P. Davami, Effects of tungsten on erosion-corrosion behavior of high chromium white cast iron, *Mater. Sci. Eng. A*. 454-455 (2007) 623-628.
- [5] Y. Lv, Y. Sun, J. Zhao, G. Yu, J. Shen, S. Hu, Effect of tungsten on microstructure and properties of high chromium cast iron, *Mater. Des.* 39 (2012) 303-308.
- [6] E. Carrillo, A. Bedolla, I. Mejia, C.M. Zepeda, J. Zuno, Effects of tungsten on the microstructure and on the abrasive wear behavior of a high-chromium white iron, *Wear*. 376-377 (2017) 77-85.
- [7] S. Imurai, C. Thanachayanont, J.T.H. Pearce, K. Tsuda, T. Chairuang Sri, Effects of W on microstructure of as-cast 28 wt.%Cr-2.6 wt.%C- (0-10) wt.%W irons, *Mater. Charact.* 99 (2015) 52-60.
- [8] A. Wiengmoon, T. Chairuang Sri, N. Poolthong, J.T.H. Pearce, Electron microscopy and hardness study of a semi-solid processed 27 wt%Cr cast iron, *Mater. Sci. Eng. A*. 480 (2008) 333-341.
- [9] A. Wiengmoon, T. Chairuang Sri, A. Brown, R. Brydson, D.V. Edmonds, J.T.H. Pearce, Microstructural and crystallographical study of carbides in 30wt.%Cr cast irons, *Acta Mater.* 53 (2005) 4143-4154.
- [10] A. Wiengmoon, T. Chairuang Sri, J.T.H. Pearce, Microstructural Study of Destabilised 30 wt%Cr-2.3 wt%C High Chromium Cast Iron, *ISIJ Inter.* 44 (2004) 396-403.



ผลของทั้งสแตนและกระบวนการทางความร้อนต่อโครงสร้างอุลภาค
และความแข็งของเหล็กหล่อโครเมียมสูง 28 wt.%Cr

Effects of Tungsten and Heat Treatment on Microstructure
and Hardness of 28 wt.%Cr High Chromium Cast Irons

ศศิธร ยีคิว และ อัมพร เวียงมูล*

Sasitorn Yeekew and Amporn Wiengmoon*

ภาควิชาฟิสิกส์ คณะวิทยาศาสตร์ มหาวิทยาลัยนเรศวร

Department of Physics, Faculty of Science, Naresuan University

Received : 12 June 2017

Accepted : 11 September 2017

Published online : 21 September 2017

บทคัดย่อ

งานวิจัยนี้ได้ศึกษาผลของทั้งสแตนและการร้อนต่อโครงสร้างอุลภาคและความแข็งของเหล็กหล่อโครเมียมสูง 28 wt.%Cr ที่เติมทั้งสแตน 1 wt.% โดยนำเหล็กที่ปั่นการหล่อไปปรับเสถียรภาพด้วยความร้อนที่อุณหภูมิ 1025°C เป็นเวลา 4 ชั่วโมง และอบคืนตัวที่อุณหภูมิ 450°C เป็นเวลา 4 ชั่วโมง จากผลการทดลองพบว่า เหล็กหล่อที่ไม่เติมทั้งสแตนมีโครงสร้างอุลภาคประกอบด้วยโครงสร้างเด่นไดร์ชองออยสแตนในเดปป์รูมภูมิและคาร์บีเดยูเทกติกชนิด M_7C_3 ส่วนเหล็กหล่อที่เติมทั้งสแตนประกอบด้วยเฟสคาร์บีเดป์ปูมภูมิและคาร์บีเดยูเทกติก M_7C_3 หลังการปรับเสถียรภาพด้วยความร้อนพบการเปลี่ยนผ่านของคาร์บีเดป์ปูมภูมิและคาร์บีเดยูเทกติก M_7C_3 หลังการปรับเสถียรภาพด้วยความร้อนความแข็งเพิ่มขึ้นเป็น 507 และ 576 HV30 หลังการอบคืนตัวมีค่าเท่ากับ 743 และ 805 HV30

คำสำคัญ : เหล็กหล่อโครเมียมสูง การปรับเสถียรภาพด้วยความร้อน การอบคืนตัว โครงสร้างอุลภาค ความแข็ง

Abstract

In this research, effect of tungsten and heat treatment on microstructure and hardness of 28 wt.%Cr high chromium iron with 1 wt.%W addition was studied. The as-cast samples were destabilised at 1025°C for 4 h and tempering at 450°C for 4 h. It was found that the as-cast microstructure of the iron without W addition consisted of primary austenite dendrite with eutectic M_7C_3 carbides. The iron with W addition consisted of primary and eutectic M_7C_3 carbides. After destabilisation, precipitation of secondary carbide within martensite matrix was occurred in both irons. Tempering increased the amount of secondary carbide. The as-cast hardness of the irons without and with W addition were 507 and 576 HV30. After destabilisation, the hardness increased up to 736 and 780 HV30. After tempering, the hardness were 743 และ 805 HV30.

Keywords : high chromium cast iron, destabilisation, tempering, microstructure, hardness

*Corresponding author. E-mail : ampornw@nu.ac.th

บทนำ

เหล็กหล่อโครงเมี่ยมสูงที่มีโครงเมี่ยม 25-30 wt.% และคาร์บอน 2-3 wt.% มักนำไปใช้งานในสภาวะที่ต้องการความทนทานต่อการซีกหรือและการกัดกร่อน เช่น บีบอุบสารขันเหลวในอุตสาหกรรมเหมืองแร่ โครงสร้างอุลกาคของชิ้นงานภายหลังจากการหล่อ (As-cast) ประกอบด้วยเดนไดร์ทของอสตเตนในต์ปูมนูนิ คาร์ไบเดย์เทกติกและยูเทกติก ออสตเตนในต์ มีความแข็ง 450-550 HV อย่างไรก็ตามโครงสร้างแบบօอสตเตนในต์จะมีความแข็งและความทนทานต่อการซีกหรือต่ำ ซึ่งสามารถปรับปรุงโดยการปรับเสถียรภาพด้วยความร้อน (Destabilisation) และการเติมธาตุ (Pearce, 1986; Tabrett, 1996)

การปรับเสถียรภาพด้วยความร้อน ที่อุณหภูมิ 950-1100°C ในระยะเวลาที่เหมาะสม แล้วปล่อยให้เย็นตัวในอากาศ จะทำให้คาร์บอนและโครงเมี่ยมในเม็ดพื้น (Matrix) รวมกันเป็นคาร์ไบเดทุติยภูมิ (Secondary carbide) และส่งผลให้ปริมาณคาร์บอนในเม็ดพื้น (Matrix) ของอสตเตนในต์ลดลง ทำให้ความสามารถในการชุบแข็ง (Hardenability) ของอสตเตนในต์เพิ่มขึ้นหรือเปลี่ยนเป็นมาრ์เกนไฮต์ได้ง่ายขึ้น หลังการปรับเสถียรภาพด้วยความร้อนโครงสร้างอุลกาคประกอบด้วยคาร์ไบเดทุติยภูมิที่แตกต่างในมาตรฐานมาร์เกนไฮต์และมีอสตเตนในต์ตกลง ทำให้ความสามารถในการชุบแข็ง (Hardenability) ของตัวน้ำหนักการซีกหรือเพิ่มขึ้น (Wiengmoon, 2005; Agunsoye, 2012) อย่างไรก็ตามอสตเตนในต์ตกลงมักจะเกิดการเปลี่ยนเฟสในระหว่างการใช้งานทำให้ซึ่งงานเกิดการแตกหัก จึงจำเป็นต้องทำการอบคืนตัว (Tempering) ที่อุณหภูมิ 450-650°C เพื่อให้อสตเตนในต์ตกลงเปลี่ยนเป็นมาร์เกนไฮต์ หรือเพริลีต หรือเฟอร์ไรท์+คาร์ไบเด $M_{23}C_6$ ทั้งนี้ขึ้นกับปริมาณของอสตเตนในต์ตกลง (Maraliray, 1982; Tabrett, 1996) จากงานวิจัยของ Wiengmoon (2005) ที่ได้ศึกษาการปรับเสถียรภาพด้วยความร้อนในเหล็กหล่อโครงเมี่ยมสูง 30 wt.%Cr ที่อุณหภูมิ 900-1100°C เป็นเวลา 2-8 ชั่วโมง พบว่าความแข็งมีค่าสูงสุดที่อุณหภูมิ 1025°C เป็นเวลา 4 ชั่วโมง จากงานวิจัยของ Agunsoye (2012) ได้ศึกษาการปรับเสถียรภาพด้วยความร้อนที่อุณหภูมิ 1000°C เป็นเวลา 4 ชั่วโมง และอบคืนตัวที่อุณหภูมิ 680°C เป็นเวลา 2 ชั่วโมง ในเหล็กหล่อ 22 wt.%Cr-2.93 wt.%C พบว่าเหล็กหล่อโครงเมี่ยมสูงหลังการหล่อมีความแข็ง 630 HV30 หลังการปรับเสถียรภาพด้วยความร้อนและอบคืนตัวความแข็งมีค่าเป็น 760 และ 660 HV30 ตามลำดับ

การเติมธาตุ เช่น ทังสเทน วานเดียน และโนบิเดนนิ โดยชาดุเหล่านี้จะรวมตัวกับคาร์บอนเป็นคาร์ไบเดที่มีความแข็งสูง ทำให้ความแข็งและความทนทานต่อการซีกหรือของเหล็กหล่อสูงขึ้น (Mousavi, 2007; Scandian, 2009; Ma, 2013; Imurai, 2014, 2015) การเติมทังสเทนในเหล็กหล่อโครงเมี่ยมสูง 25 wt.%Cr-4.5 wt.%C ทำให้ความแข็งของคาร์ไบเด M_2C_3 เพิ่มขึ้น (Yamamoto, 2014) และในปี 2015, Imurai และคณะ ได้ศึกษาผลของการเติมทังสเทนในเหล็กหล่อ 28 wt.%Cr พบคาร์ไบเดนลายชนิดและความแข็งหลังจากการหล่อเพิ่มขึ้นจาก 495 HV เป็น 671 HV เมื่อเติมทังสเทน 10 wt.% อย่างไรก็ตามในงานวิจัยดังกล่าวยังไม่ได้ศึกษาผลของกระบวนการทางความร้อน ดังนั้นงานวิจัยนี้จึงมีจุดประสงค์ เพื่อศึกษาผลของการเติมทังสเทน การปรับเสถียรภาพด้วยความร้อนและการอบคืนตัว ต่อโครงสร้างอุลกาคและความแข็งของเหล็กหล่อโครงเมี่ยมสูง 28 wt.%Cr

วิธีดำเนินการวิจัย

เหล็กหล่อโครงเมี่ยมสูงที่ใช้ในการทดสอบเครื่องหมายการนับต่อในแบบหล่อทราย มีผิวนพมหังเครมี ตั้งแสดงในตารางที่ 1 ซึ่งประกอบด้วยเหล็กหล่อที่ไม่เติมทังสเทน (R) และเติมทังสเทน 1 wt.% (W1) โดยนำเหล็กหล่อไปปรับเสถียรภาพด้วยความร้อนที่อุณหภูมิ 1025°C เป็นเวลา 4 ชั่วโมง แล้วนำออกจากเตาปั๊อยให้เย็นตัวอย่างรวดเร็วในอากาศ (Air cooling) จากนั้นนำไปอบคืนตัวที่อุณหภูมิ 450°C เป็นเวลา 4 ชั่วโมง และปล่อยให้เย็นตัวในอากาศ

ดังแสดงในภาพที่ 1 จากนั้นนำชิ้นงานไปขัดหยาบด้วยกระดาษทรายเมอร์ 180, 360, 600 และ 1000 ตามลำดับ นำไปขัดละเอียดด้วยผงขัดเพชรขนาด 6, 3 และ 1 ในครอง ตามลำดับ กัดตัวชิ้นงานด้วยสารละลายกรดไฮโดรคลอริก (HCl) 50 มิลลิลิตร ผสมกับโซเดียมเตาปูนโซเดียมฟอฟฟิค ($\text{Na}_2\text{S}_2\text{O}_8$) 10 กรัม ในน้ำเกลี้ยง 100 มิลลิลิตร จากนั้นนำชิ้นงานไปศึกษาด้วยไฟฟลูออโรสโคป (XRD) ศึกษาโครงสร้างจุลภาคด้วยกล้องจุลทรรศน์แบบแสง (OM) และกล้องจุลทรรศน์อิเล็กทรอนิกแบบฟ่องอากาศ (SEM) ทดสอบความแข็งแยงแบบวิกฤตโดยใช้น้ำหนักในการกด 30 กิโลกรัม (HV30) เป็นเวลา 15 วินาที (Dwell time) โดยทำการกด 8 จุดต่อชิ้นงาน และนำค่าที่ได้มาหาค่าเฉลี่ย ตามลำดับ

ตารางที่ 1 สาระสมนทางเคมีของเหล็กหล่อที่ใช้ในการทดลอง

เหล็กหล่อ	Element (wt.%)									
	Cr	C	W	Mo	Mn	Ni	S	Si	P	Fe
R	27.86	2.36	0.01	0.03	0.11	0.20	0.01	0.02	0.02	Bal.
W1	26.67	2.87	0.99	0.03	0.15	0.22	0.01	0.44	0.03	Bal.

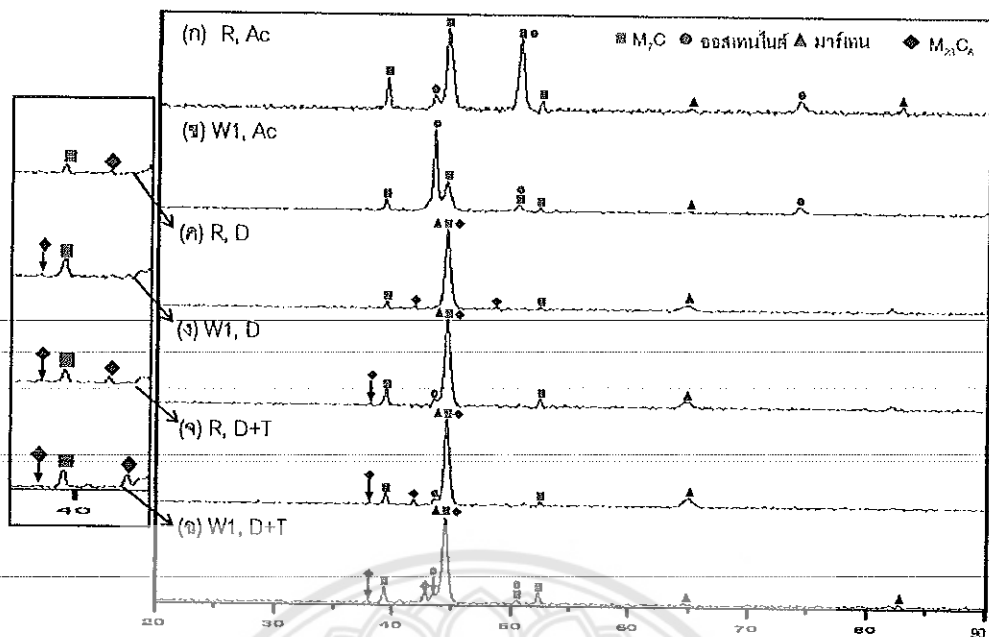


ภาพที่ 1 กระบวนการทางความร้อนของเหล็กหล่อที่เปลี่ยนสูตร 28 wt.% Cr ที่ใช้ในการทดลอง

ผลการวิจัยและวิจารณ์ผล

1. การศึกษาด้วยเทคนิค XRD

ภาพที่ 2 แสดงรูปแบบการเลี้ยวเบนของรังสีเอกซ์ของเหล็กหล่อที่เปลี่ยนสูตร 28 wt.% Cr จากการเปรียบเทียบกับฐานข้อมูลมาตรฐาน JCPDS พบว่าเหล็กหล่อที่ไม่เติมหั้งสเทน (R) และเติมหั้งสเทน (W1) ประกอบด้วยเฟล็อกสเทนในรูปแบบไบเตตและคาร์ไบเดตชนิด M_2C_3 ดังแสดงในภาพที่ 2(ก-ข) ซึ่งสอดคล้องกับงานวิจัยของ Imaurai (2015) หลังการปรับเพิ่มภาระด้วยความร้อนพบว่าเหล็กหล่อทั้งสองประกอบด้วยเฟล็อกสเทนไชร์ต คาร์ไบเดต M_2C_3 , M_{23}C_6 และออกซเทเนอไรต์ ตกตัวเป็นเส้นผ่านศูนย์กลาง ดังแสดงในภาพที่ 2(ค-ง) หลังการอบด้วยความร้อนเพื่อเปลี่ยนเดียว กับการปรับเพิ่มภาระด้วยความร้อนอย่างไว้ก็ตามพบว่ามีมาร์เทโนไชร์ตและคาร์ไบเดต M_{23}C_6 เพิ่มขึ้น ดังภาพที่ 2(จ-ฉ) เมื่อจากในระหว่างการอบด้วยความร้อนตัวจะเกิดการแตกหักของเฟล็อกสเทนไชร์ต รวมทั้งเฟล็อกสเทนไชร์ตที่แตกตัวจะเปลี่ยนเป็นมาร์เทโนไชร์ต โดยเฟล็อกสเทนไบเดต M_{23}C_6 น่าจะเป็นคาร์ไบเดตที่ถูกยึดหรือเหنمเป็นคาร์ไบเดตที่เกิดขึ้นในระหว่างการปรับเพิ่มภาระด้วยความร้อนหรือการอบด้วยตัวเอง (Maratray, 1982)

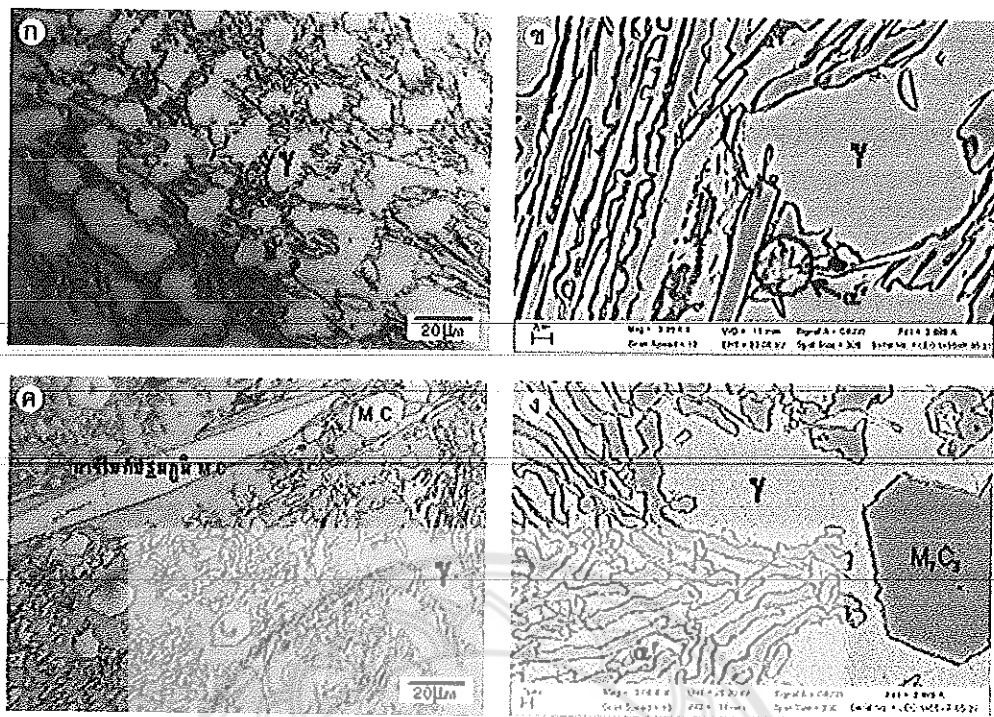


ภาพที่ 2 รูปแบบการเลี้ยวเบนของวัสดุเชิงเนื้อทึบหล่อโดยรีเมี่ยมสูง 28 wt.%Cr ที่ไม่เติมหั้งสแตน (R) และเติมหั้งสแตน, W1 (ก-ช) หลังการหล่อ, AC (ค-ง) หลังการปรับเสถียรภาพด้วยความร้อน, D (จ-ฉ) หลังการอบคืนตัว, D+T

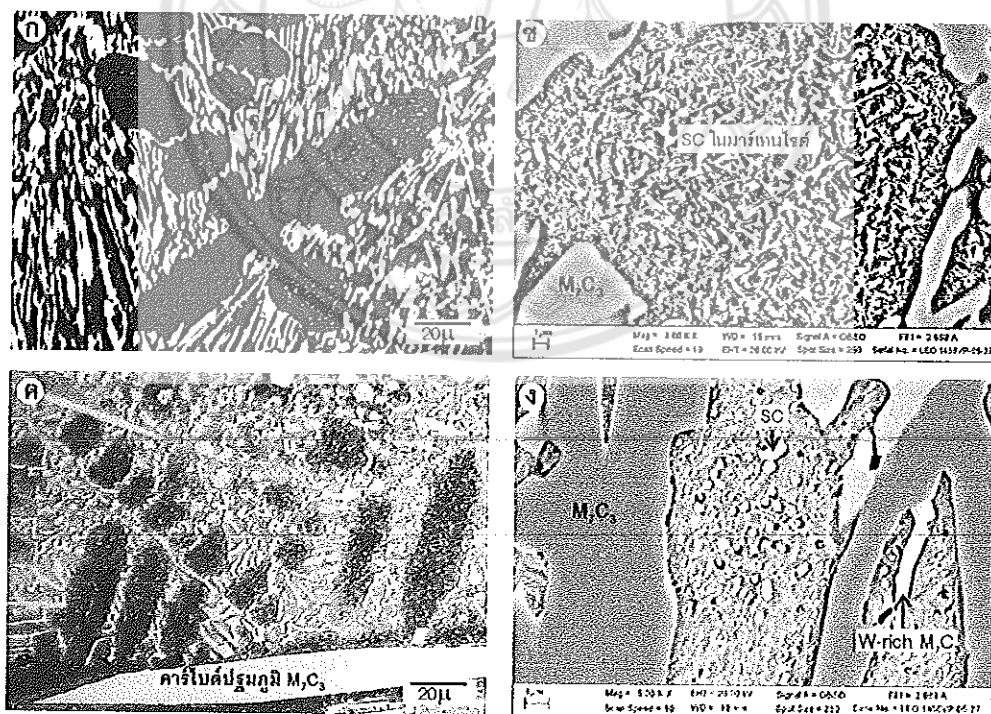
2. โครงสร้างอุลภา

จากการศึกษาโครงสร้างอุลภาคนั้นจากการหล่อห้อเหล็กหล่อโดยรีเมี่ยมสูงที่ไม่เติมหั้งสแตน (R) มีโครงสร้างแบบไฮเปอเยตเกติก (Hypoeutectic) ที่ประกอบด้วยเฟสเดียวไดร์ทซึ่งออกอสแตนในต์ปฐมภูมิ (γ) คาร์บิดเยตเกติก M_7C_3 และเยตเกติกอสแตนในต์ที่เปลี่ยนไปเป็นมาเรกโนไรด์ (α') ดังแสดงในภาพที่ 3(ก-ช) ส่วนเหล็กหล่อ W1 มีโครงสร้างแบบไฮเปอเรย์เทกติก (Hypereutectic) ที่ประกอบด้วยคาร์บิดปฐมภูมิ M_7C_3 ที่มีขนาดใหญ่ คาร์บิดเยตเกติกชนิด M_7C_3 และเยตเกติกอสแตนในต์ที่เปลี่ยนเป็นมาเรกโนไรด์ ดังแสดงในภาพที่ 3(ค-ง) ซึ่งสอดคล้องกับงานวิจัยของ Imurai (2015) การเติมหั้งสแตนทำให้โครงสร้างเปลี่ยนจากไฮเปอเยตเกติกไปเป็นไฮเปอเรย์เทกติกอาจเนื่องมาจากส่วนผสมทางเคมีของเหล็กหล่อเปลี่ยนไปอยู่ในช่วงของไฮเปอเรย์เทกติกซึ่งทำให้เกิดเฟสคาร์บิดปฐมภูมิ M_7C_3 โดยหั้งสแตนจะเข้าไปแทนที่อะตอมของเหล็กและโครงเมี่ยมในคาร์บิดเยตเกติกและในเนื้อหิน

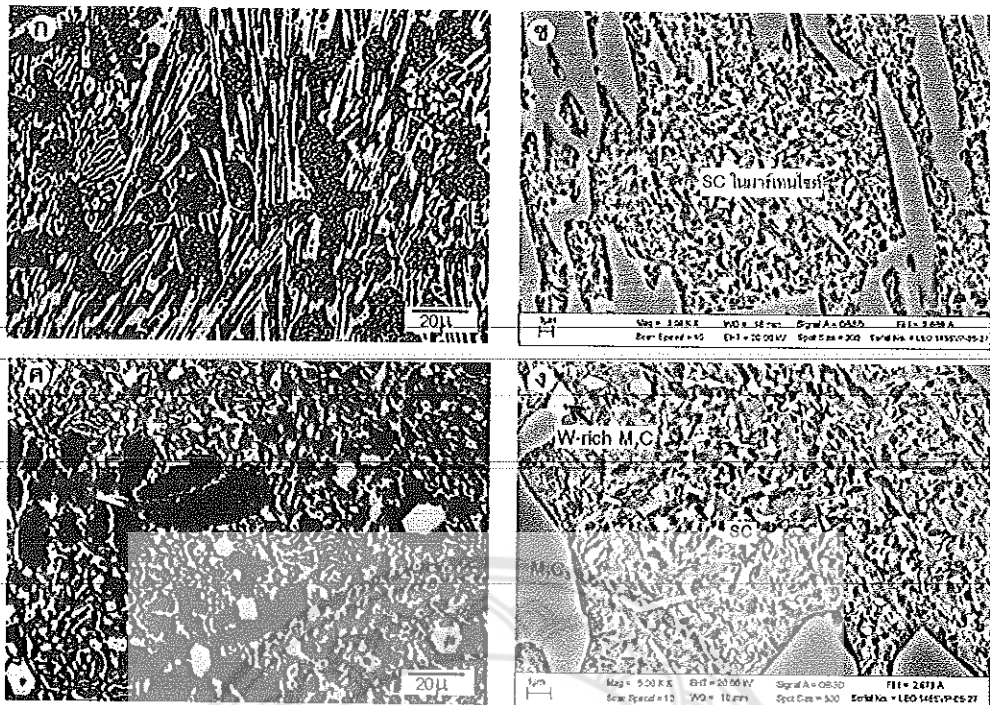
หลังการปรับเสถียรภาพด้วยความร้อนพบคาร์บิดทุติยภูมิ (SC) ตกตะกอนในเดินไดร์ทซึ่งออกอสแตนในต์ซึ่งเปลี่ยนเป็นมาเรกโนไรด์ขณะเย็นตัวในอากาศ ดังแสดงในภาพที่ 4 หลังการอบคืนตัวพบว่าในเหล็กหล่อหั้งสแตนจะมีคาร์บิดทุติยภูมิเพิ่มมากขึ้น ดังแสดงในภาพที่ 5 โดยคาร์บิดที่มีขนาดใหญ่จะเป็นคาร์บิดทุติยภูมิที่เกิดระหว่างการปรับเสถียรภาพด้วยความร้อนและต่อในระหว่างการอบคืนตัว ส่วนคาร์บิดที่มีขนาดเล็กกว่าจะเกิดขึ้นในระหว่างการอบคืนตัว (Temper carbide) โดยคาร์บิดทุติยภูมิและเหมเป็คาร์บิดเกิดจากคาร์บอนและโครงเมี่ยมในเนื้อหินรวมกันเกิดเป็นสารประกอนของคาร์บิด จากภาพถ่ายแบบ BEI ในภาพที่ 4(ง) และ 5(ง) จะเห็นบริเวณที่มีคุณทรัพ์ต่างกันจากการวิเคราะห์ด้วย EDS พบว่าบริเวณคาร์บิดเยตเกติกที่มีคุณทรัพ์ต่ำกว่า (W -rich M_7C_3) ในบริเวณที่ 1 จะมีปริมาณหั้งสแตนมากกว่าบริเวณที่ 2 ส่วนเมทริกซ์จะมีรัตเหล็กปริมาณสูง (บริเวณที่ 3) ดังแสดงในภาพที่ 6



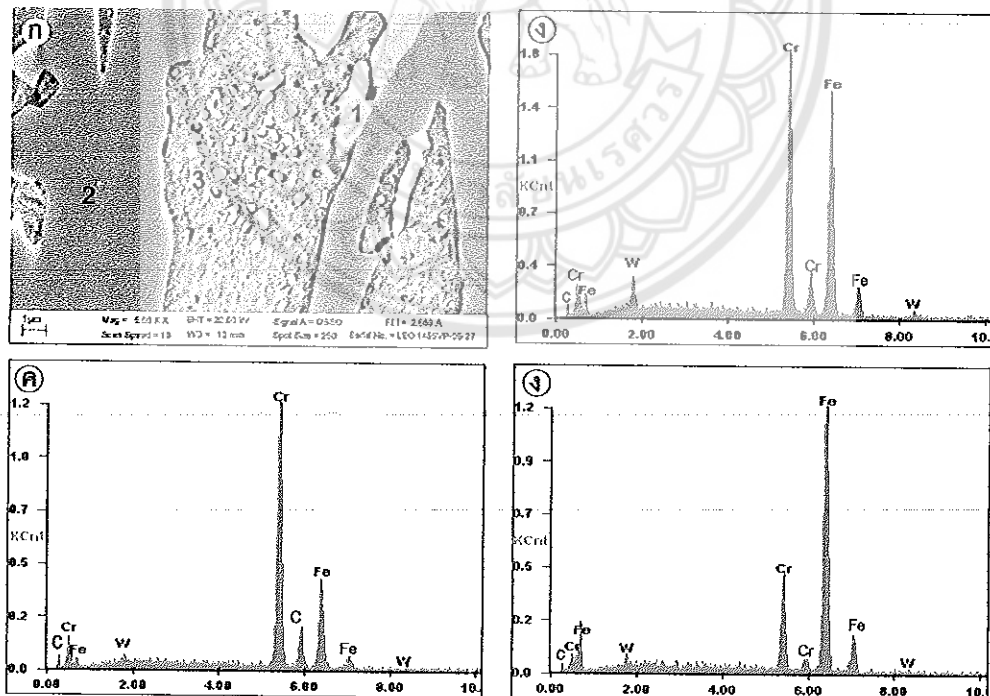
ภาพที่ 3 ภาพถ่ายจากกล้อง OM และกล้อง BEI-SEM แสดงโครงสร้างอุลกาคนองจากการหล่อ (ก-ข) เหล็กหล่อที่ไม่เติมหังสตeten (ค-ง) เหล็กหล่อที่เติมหังสตeten



ภาพที่ 4 ภาพถ่ายจากกล้อง OM และกล้อง BEI-SEM แสดงโครงสร้างอุลกาคนองการปั้นเสื่อมภาพด้วยความร้อน (ก-ข) เหล็กหล่อที่ไม่เติมหังสตeten (ค-ง) เหล็กหล่อที่เติมหังสตeten



ภาพที่ 5 ภาพถ่ายจากกล้อง OM และกล้อง BEI-SEM แสดงโครงสร้างจุลภาคหลังการอบคืนด้วย (ก-ข) เหล็กหล่อที่ไม่เติมหั้งสเทน (ก-ง) เหล็กหล่อที่เติมหั้งสเทน

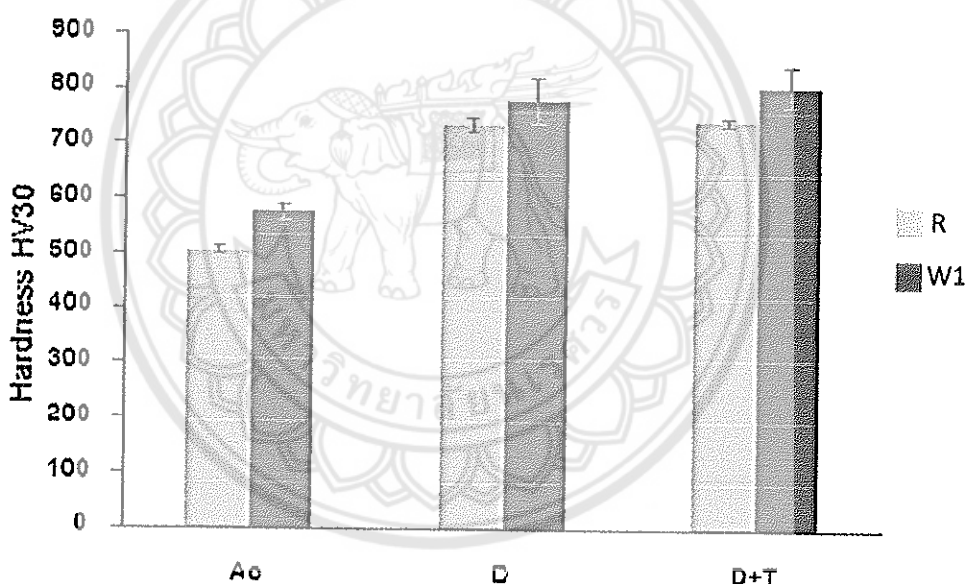


ภาพที่ 6 (ก) ภาพถ่าย BEI-SEM แสดงโครงสร้างจุลภาคของเหล็กหล่อที่เติมหั้งสเทนหลังการปรับเสถียรภาพด้วยความร้อน (ข-ง) ตัวอย่างของรูปแบบ EDS บริเวณ (1) W-rich M_7C_3 (2) คาร์ไบเดร์ยูเทกติก M_7C_3 (3) เมทิริกซ์

3. ผลของหั้งสแตนและกระบวนการทางความร้อนต่อความแข็ง

จากการวัดความแข็งของเหล็กหล่อໂຄຣເມີຍມູງໜັງຈາກກາຮນສ່ອ (AC) ພົບວ່າເຫັນກົດສ່ອທີ່ໄປເຕີມຫັ້ງສແດນ (R) ແລະ ເຫັນກົດສ່ອທີ່ເຕີມຫັ້ງສແດນ (W1) ມີຄວາມแข็งເຂົ້າໃຫຍ່ເທົ່າກັນ 507 ແລະ 576 HV30 ຕາມຄໍາດັບ ດັ່ງແສດງໃນພາຫີ່ 7 ກາຮນເຕີມຫັ້ງສແດນທຳໄໝຄວາມເຂົ້າໃຫຍ່ເພີ່ມຂຶ້ນ ເນື່ອຈາກມີຄາຣີໄປດໍປຸ່ມກຸມືແລະ ຄາຣີໄປດໍຢູ່ເທິກເພີ່ມຂຶ້ນ (Iemurai, 2015) ໂດຍອະດົມຂອງ ທັ້ງສັບເນະເຊົ້າໄປແຫັນທີ່ອະດົມຂອງເຫັນກົດໃນຄາຣີໄປດໍ (Fe,Cr,W),C₃ (Yamamoto, 2014)

หลังກາຮນເປັນເສດຖະກິດຄວາມຮ້ອນ (D) ຄວາມເຂົ້າໃຫຍ່ມີຄ່າເພີ່ມຂຶ້ນເປັນ 736 ແລະ 780 HV30 ຕາມຄໍາດັບ ສ່ວນໜັງ ກາຮນອບຄືນຕ້ວາ (D+T) ມີຄວາມເຂົ້າໃຫຍ່ເທົ່າກັນ 743-ແລະ-805-HV30 ກາຮນເປັນເສດຖະກິດຄວາມຮ້ອນທຳໄໝຄວາມເຂົ້າໃຫຍ່ມີຄ່າເພີ່ມຂຶ້ນໜັງຈາກກາຮນສ່ອ ເນື່ອຈາກມີກາຮນທຳກະກອນຂອງຄາຣີໄປດໍທຸດິກຸມືແລະ ເມີນທິກົງຂອງອອົຫເປົນໃນດົກປ່ອມເປົ້າມາຮ່າງເທິງ (Inthidech, 2010) ອໝາງໄກ້ຕາມຈະເຫັນວ່າ ຄວາມເຂົ້າໃຫຍ່ມີຄ່າເພີ່ມຂຶ້ນໄມ້ມາກເນັກ ທັ້ນນີ້ຈະເນື່ອມາຈາກປົມານຂອງອອົຫເປົນໃນດົກຕ້າງມີປົມານດ້າ ທີ່ອະຍະເວລາໃນກາຮນ ຂັບຄືນຕ້າງສັ້ນເກີນໄປທຳໄໝຄວາມທຳກະກອນຂອງຄາຣີໄປດໍທຸດິກຸມືແລະ ເມີນທິກົງຂອງອອົຫເປົນໃນປົມບູກຄົງ



ພາຫີ່ 7 ຜົດຂອງທັ້ງສັບເນະເຊົ້າໄປທຳໄໝຄວາມທຳກະກອນຂອງຫັ້ງສັບເນະເຊົ້າໄປດໍ ທັ້ງສັບເນະເຊົ້າ (R) ແລະ ເຕີມທັ້ງສັບເນະເຊົ້າ (W1) ລັດຈາກກາຮນສ່ອ (AC) ລັດກາຮນເປັນເສດຖະກິດຄວາມຮ້ອນ (D) ແລະ ກາຮນອບຄືນຕ້ວາ (D+T)

สรุปผลการวิจัย

- โครงสร้างอุดลักษณ์จากการหล่อของเหล็กน้ำดีโครเมียมสูง 28 wt.%Cr ที่ไม่เติมหั้งสแตนประกอบด้วย เต็นไธร์ของออกซเทนในตัวปูร์มภูมิ คาร์บิดที่เป็นตัวยุทธศึกษา M_2C_3 และยูเทกติกออกซเทนในตัวที่เปลี่ยนเป็นมาრ์เทนไซต์ เมื่อเติมหั้งสแตน 1 wt.% จะพบคาร์บิดปูร์มภูมิ M_2C_3
- โครงสร้างอุดลักษณ์ก้านปรับเสถียรภาพด้วยความร้อนของเหล็กน้ำดีโครเมียมสูงที่ไม่เติมและเติมหั้งสแตน ประกอบด้วยคาร์บิดที่ตัดตะกอนในมาร์เทนไซต์ และเฟลอกอสเทนในตัวตักด่าง
- การอบคืนตัวหลังการปรับเสถียรภาพด้วยความร้อนทำให้ไฟฟ้าออกซเทนในตัวตักด่างเปลี่ยนเป็นมาร์เทนไซต์ส่งผลให้ เทมนเปอร์คาร์บิดและคาร์บิดที่ตัดที่มีปริมาณเพิ่มขึ้น
- การเติมหั้งสแตนและการปรับเสถียรภาพด้วยความร้อนทำให้ความแข็งเพิ่มขึ้น การอบคืนตัวทำให้ความแข็งเพิ่มขึ้น เพียงเล็กน้อยเท่านั้น

กิตติกรรมประกาศ

ผู้จัดข้อมูลคุณ ทุนอุดหนุนการวิจัยจากงบประมาณแผ่นดิน มหาวิทยาลัยแม่โจว

เอกสารอ้างอิง

- Agunsoye, J.O. and Ayeni, A.A. (2012). Effect of heat treatment on the abrasive wear behavior of high chromium iron under dry sliding condition, *Tribology in Industry*, 34(2), 82-91.
- Inthidech, S., Boonmak, K., Sricharoenchai, P., Sasaguri, N. and Matsubara, Y. (2010). Effect of repeated tempering on hardness and retained austenite of high chromium cast iron containing molybdenum, *Materials Transactions*, 51(7), 1264-1271.
- Imurai, S., Thanachayanont, C., Pearce, J.T.H., Tsuda, K., and Chairuangsri, T. (2014). Effect of Mo on microstructure of as-cast 28 wt.%Cr-2.6 wt.%C-(0-10) wt.%Mo irons, *Materials Characterization*, 90, 99-112.
- Imurai, S., Thanachayanont, C., Pearce, J.T.H., Tsuda, K. and Chairuangsri, T. (2015). Effect of W on microstructure of as-cast 28 wt.%Cr-2.6 wt.%C-(0-10) wt.%W iron, *Materials Characterization*, 99, 52-60.
- Ma, Y., Li, X., Liu, Y., Zhou, S. and Dang, X. (2013). Microstructure and properties of Ti-Nb-V-Mo-alloyed high chromium cast iron, *Bulletin of Materials Science*, 36(5), 839–844.
- Maratray, F. and Poulalion, A. (1982). Austenite retention in high-chromium white irons, *AFS Transactions*, 90, 795-804.
- Mosavi Anijden, S.H., Bahrami, A., Varahram, N., and Davamic, P. (2007). Effect of tungsten on erosion-corrosion behavior of high chromium white cast iron, *Materials Science and Engineering*, 454-455, 623-628.

- Pearce, J.T.H. and Elwell, D.W.L. (1986). Duplex nature of eutectic carbides in heat treated 30% chromium cast iron, *Journal of Materials Science Letters*, 5, 1063-1064.
- Scandian, C., Boher, C., Mellor de, J.D.B. and Rézaï-Ariab, F. (2009). Effect of molybdenum and chromium contents in sliding wear of high-chromium white cast iron: The relationship between microstructure and wear, *Wear*, 267, 401-408.
- Tabrett, C.P., Sare, I.R. and Ghomashchi, M.R. (1996). Microstructure–property relationships in high chromium-cast-iron-alloys, *International Materials Reviews*, 41, 59-82.
- Wiengmoon, A., Chairuangsrı, T., Brown, A., Brydson, R., Edmonds, D.V., and Pearce, J.T.H. (2005). Microstructural and crystallographical study of carbides in 30 wt.%Cr cast irons, *Acta Materialia*, 53, 4143-4154.
- Yamamoto, K., Inthidech, S., Sasaguri, N. and Matsubara, Y. (2014). Influence of Mo and W on high temperature hardness of M_7C_3 -carbide in high-chromium white cast iron, *Materials Transactions*, 55 (4), 684-689.

